

- orientierbar, 95
- Orientierung, 96
- meromorph, 56
- Normaleneinheitsvektor, 80
- nullhomotop, 15
- offen, 3
- Ordnung, 33
- Ordnung des Pols, 45
- Parameterdarstellung, 67
  - äquivalent, 68
- Poincare-Identität, 112
- Polstelle, 45
- potential, 76
- Produkt, 110
- projizierbar, 81
- Puisseux-Reihen, 41
- punktweise konvergent, 5
- Randpunkt, 92
- Residuum, 50
- Riemannsche Fläche, 33
- Rotation, 76
- Satz von Green, 87
- Skalarfeld, 76
- Stammfunktion, 12
- Standardabschätzung, 75
- Standardbereich, 81
- stetig, 4
- Tangenteneinheitsvektor, 68
- Tangentialebene, 79
- Tangentialraum, 94
- Umlaufszahl, 48
- Vektorfeld, 75
  - Divergenz, 75
  - Gradient, 76
  - Gradientenfeld, 76
  - Potential, 76
  - Rotation, 76
  - Skalarfeld, 76

Priv.-Doz. Dr. Peter H. Lesky, Universität Stuttgart

## Analysis 3

Vorlesungsmitschrieb

Stuttgart, Wintersemester 2012 / 2013

Revision: 2. Januar 2014

Für Hinweise auf Druckfehler und Kommentare jeder Art bin ich dankbar.<sup>1</sup>


---

<sup>1</sup>Henri Menke, phy86901@stud.uni-stuttgart.de

## INDEX

- Dieses Werk ist unter einer Creative Commons Lizenz vom Typ Namensnennung - Nicht-kommerziell - Weitergabe unter gleichen Bedingungen 3.0 Deutschland zugänglich. Um eine Kopie dieser Lizenz einzusehen, konsultieren Sie <http://creativecommons.org/licenses/by-nc-sa/3.0/de/> oder wenden Sie sich brieflich an Creative Commons, 444 Castro Street, Suite 900, Mountain View, California, 94041, USA.
- 0-dimensionale Mannigfaltigkeit, 91
  - $C^1$ -homotop, 15
  - $k$ -Grundform, 108
  - $k$ -inhalt, 103
  - $k$ -dimensionale Mannigfaltigkeit
    - mit Rand, 92
  - $k$ -dimensionale differenzierbare Mannigfaltigkeit, 91
    - abgeschlossen, 3
    - Ableitung, 9, 110
    - Ableitungsfunktion, 9
    - Abschluss, 4
    - absolut konvergent, 5
    - Abstand, 99
    - analytisch, 18
    - analytisch fortsetzbar, 60
    - analytische Fortsetzung, 60, 62
    - Arbeit, 106
    - Argument, 2
    - Atlas, 91
      - kompatibel, 96
      - orientiert, 95
      - verträglich orientiert, 97
    - berandet, 55
    - Betrag, 2
    - bewerteter Körper, 2
    - Bogenlängendarstellung, 73
    - Cauchy-Formel für Laurent-Koeffizienten, 44
    - Cauchy-Riemannschen Differentialgleichungen, 18
    - Differentialform, 107
    - differenzierbar, 9
    - Divergenz, 75
    - einfach zusammenhängend, 64
    - Erweiterte Cauchy'sche Integralformel, 24
    - Fläche im  $\mathbb{R}^3$ , 79
  - Flächeninhalt der Fläche  $F$ , 80
  - Fluss, 106
  - ganze Funktion, 25
  - Gebiet, 31
  - geschlossen, 10
  - gleichmäßig konvergent, 5
  - Gradient, 76
  - Gradientenfeld, 76
  - Greenscher Bereich, 87
  - hebbare Singularität, 45
  - holomorph, 18
  - Innere, 4
  - Integral, 80
  - Integral von  $f$ , 10
  - isolierte Singularität, 45
  - Jordan-Kurve, 67
  - Karte, 91
    - gleich orientiert, 95
    - Kompatibilität, 95
  - Klasse  $m$ , 91
  - komplexen Zahlen, 1
    - konjugiert komplexe Zahl, 2
    - konvergiert, 3
  - Kreiskette, 60
  - Kurve, 67
    - Bogenlänge, 69
    - glatt, 69
    - rektifizierbar, 69
    - stückweise glatt, 69
  - Kurvenintegral von  $f$  über  $K$ , 74
  - Länge, 13
  - längs, 60
  - Laurent-Entwicklung, 44
  - Laurent-Reihe, 44
  - Mannigfaltigkeit, 91
  - 0-dimensional, 91
  - kompakt, 104

## INHALTSVERZEICHNIS

<b>1 Funktionentheorie</b>	<b>1</b>
1.1 Grundlagen	1
1.2 Holomorphie und Analytizität	17
1.3 Nullstellen	33
1.4 Integrale längs geschlossener Kurven	43
1.5 Analytische Fortsetzung	59
<b>2 Vektoranalysis</b>	<b>67</b>
2.1 Kurvenintegrale	67
2.2 Flächenintegrale im $\mathbb{R}^3$	79
2.3 Volumenintegrale und Integralsätze	81
2.4 Mannigfaltigkeiten	91
2.5 Zerlegung der Eins	99
2.6 Integration auf Mannigfaltigkeiten	103
2.7 Differentialformen	106
2.8 Rechnen mit Differentialformen	110
<b>3 Gewöhnliche Differentialgleichungen</b>	<b>117</b>
3.1 Funktionalanalysis	117
3.2 Beispiele	118
3.3 Existenz und Eindeutigkeit	124
3.4 Lineare Differentialgleichungen	128
<b>Index</b>	<b>135</b>

1.) Löse zunächst das homogene System. Der Ansatz  $y = x^\alpha$  liefert ein Lösung

$$y_1(x) = \frac{1}{x}$$

für  $x \in I$ . Der Ansatz von d'Alembert:

$$y(x) = c(x) \frac{1}{x}$$

führt zu

$$y_2(x) = \frac{e^{-2x}}{x}$$

auf  $I$ . Es ergibt sich

$$W(x) = \det \begin{pmatrix} \frac{1}{x} & \frac{e^{-2x}}{x^2} \\ -\frac{1}{x^2} & \frac{-2xe^{-2x}}{x^2} \end{pmatrix} = \frac{-2e^{-2x}}{x^2} \neq 0 \quad (\text{auf } I)$$

und

$$B^{-1} = \begin{pmatrix} x + \frac{1}{2} & \frac{x}{2} \\ -\frac{e^{2x}}{2} & \frac{xe^{2x}}{2} \end{pmatrix}$$

Variation der Konstanten:

$$\begin{pmatrix} c'_1 \\ c'_2 \end{pmatrix} = B^{-1} \begin{pmatrix} 0 \\ \frac{1-e^{-2x}}{x} \end{pmatrix} = \frac{1}{2} \begin{pmatrix} 1-e^{-2x} \\ 1-e^{2x} \end{pmatrix}$$

berechne  $c_1, c_2$ :

$$c_1 = \frac{1}{2}(x + \frac{e^{-2x}}{2}) \quad c_2 = \frac{1}{2}(x - \frac{e^{2x}}{2})$$

für  $y_{\text{part}}(x)$  muss gelten

$$\begin{aligned} y_{\text{part}}(x) &= \frac{1}{2}(x + \frac{e^{-2x}}{2}) \frac{1}{x} + \frac{1}{2}(x - \frac{e^{2x}}{2}) \frac{e^{-2x}}{x} \\ &= \frac{1}{2} + \frac{e^{-2x}}{4x} + \frac{e^{-2x}}{2} - \frac{1}{4x} \end{aligned}$$

Wähle  $y_{\text{part}} = \frac{1}{2} + \frac{e^{-2x}}{2}$  und damit

$$y_{\text{inhom}} = \frac{1}{2} + \frac{e^{-2x}}{2} + c_1 \frac{1}{x} + c_2 \frac{e^{-2x}}{x} \quad c_1, c_2 \in \mathbb{R}$$



ist ein Vektorraum-Isomorphismus. Eine Basis von  $\mathcal{L}_{hom}$  heißt Fundamental-System.

**b.)** Für  $y_1, \dots, y_n \in \mathcal{L}_{hom}$  sind äquivalent

i.)  $\{y_1, \dots, y_n\}$  ist Fundamentalsystem

ii.)

$$\forall x \in I : W(x) = \det \begin{pmatrix} y_1(x) & \cdots & y_n(x) \\ \vdots & \ddots & \vdots \\ y_1^{(n-1)}(x) & \cdots & y_n^{(n-1)}(x) \end{pmatrix} \neq 0$$

(Wronski-Determinante)

iii.)  $\exists x_0 \in I : W(x) \neq 0$

2.) Im inhomogenen Fall ( $\mathcal{G} \neq 0$ ):

a.)

$$\mathcal{L}_{inhom} = \mathcal{Y}_{part} + \mathcal{L}_{hom}$$

wobei  $\mathcal{Y}_{part} \in \mathcal{L}_{inhom}$  beliebig aber fest gewählt.

**b.) Variation der Konstanten:** Ist  $\{y_1, \dots, y_n\}$  ein Fundamentalsystem, so ist

$$y(x) := c_1(x)y_1(x) + \dots + c_n(x)y_n(x)$$

genau dann Lösung der DGL, falls

$$\begin{aligned} c'_1 \begin{pmatrix} y_1 \\ y'_1 \\ \vdots \\ y_{1(n-1)} \end{pmatrix} + c'_2 \begin{pmatrix} y_1 \\ y'_1 \\ \vdots \\ y_{1(n-1)} \end{pmatrix} + \dots + c'_n \begin{pmatrix} y_1 \\ y'_1 \\ \vdots \\ y_{1(n-1)} \end{pmatrix} &= \begin{pmatrix} 0 \\ 0 \\ \vdots \\ g \end{pmatrix} \\ \Leftrightarrow \begin{pmatrix} c'_1 \\ \vdots \\ c'_n \end{pmatrix} &= \underbrace{\begin{pmatrix} y_1(x) & \cdots & y_n(x) \\ \vdots & \ddots & \vdots \\ y_1^{(n-1)}(x) & \cdots & y_n^{(n-1)} \end{pmatrix}^{-1}}_{\det(\dots) = W(x) \neq 0} \begin{pmatrix} 0 \\ \vdots \\ 0 \end{pmatrix} \end{aligned}$$

☒

4.7 ► Beispiel Gegeben sei

$$xy'' + 2(x+1)y' + 2y = 1 - e^{-2x}$$

Forme in passende Form um:

$$y'' + 2(1 + \frac{1}{x})y' + \frac{2}{x}y = \frac{1 - e^{-2x}}{x}$$

Die Lösung existiert auf  $I = (0, \infty)$  oder auf  $I' = (-\infty, 0)$

# FUNKTIONENTHEORIE

## 1.1 Grundlagen

1.1 Definition Die komplexen Zahlen werden definiert durch

$$\mathbb{C} := \{(x, y) : x, y \in \mathbb{R}\}$$

mit den Verknüpfungen

$$(x_1, y_1) + (x_2, y_2) := (x_1 + x_2, y_1 + y_2),$$

$$(x_1, y_1) \cdot (x_2, y_2) := (x_1 x_2 - y_1 y_2, x_1 y_2 + y_1 x_2).$$

☒

1.2 Bemerkung: 1.)  $(\mathbb{C}, +, \cdot)$  ist ein Körper mit Nullelement  $(0, 0)$  und Einselement  $(1, 0)$ .

2.)  $\varphi : \mathbb{R} \rightarrow \mathbb{C} : x \mapsto (x, 0)$  ist ein injektiver Körpherhomomorphismus, insbesondere gilt

$$\varphi(x_1 + x_2) = \varphi(x_1) + \varphi(x_2),$$

$$\varphi(x_1 \cdot x_2) = \varphi(x_1) \cdot \varphi(x_2).$$

Identifiziere  $\mathbb{R}$  mit  $\varphi(\mathbb{R}) = \{(x, 0) : x \in \mathbb{R}\}$ . Schreibe  $(x, 0) =: x \in \mathbb{R}$

$$\begin{aligned} 3.) \text{ Imaginäre Einheit } i &:= (0, 1) \\ i^2 &= (0, 1) \cdot (0, 1) = (-1, 0) = -1 \\ \Rightarrow (x, y) &= (x, 0) + (0, y) = (x, 0) + y \cdot i = x + iy \end{aligned}$$

Rechnen in  $\mathbb{C}$

$$\begin{aligned} (x_1, y_1) \cdot (x_2, y_2) &= (x_1 + iy_1) \cdot (x_2 + iy_2) \\ &= x_1 x_2 + ix_1 y_2 + ix_2 y_1 + (i)^2 y_1 y_2 \\ &= x_1 x_2 - y_1 y_2 + i(x_1 y_2 + x_2 y_1) \end{aligned}$$

$$\begin{aligned} \frac{1}{x + iy} &= \frac{1}{x + iy} \frac{x - iy}{x - iy} = \frac{x - iy}{x^2 - (iy)^2} = \frac{1}{x^2 + y^2} (x - iy) \\ &= \frac{x}{x^2 + y^2} + i \frac{-y}{x^2 + y^2} = \left( \frac{x}{x^2 + y^2}, \frac{-y}{x^2 + y^2} \right) \end{aligned}$$

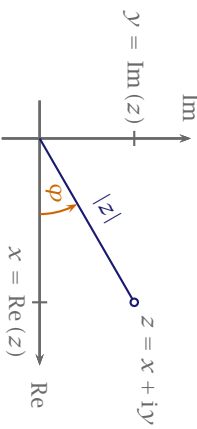
Der Realteil einer komplexen Zahl ist definiert als

$$\operatorname{Re}(x, y) = \operatorname{Re}(x + iy) = x,$$

der Imaginärteil ist definiert als

$$\operatorname{Im}(x, y) = \operatorname{Im}(x + iy) = y.$$

Gaußsche Zahlenebene



1.3 **Definition** 1.)  $z = x + iy \Rightarrow \bar{z} = x - iy$  heißt **konjugiert komplexe Zahl** zu  $z$ .

2.)  $|z| = \sqrt{x^2 + y^2} = \sqrt{z \cdot \bar{z}}$  heißt **Betrag** von  $z$ .

3.) **Polarendarstellung:** Sei  $z = x + iy = |z|(\cos \varphi + i \sin \varphi)$ , wobei  $\varphi = \arg(z)$  (Argument von  $z$ ) eindeutig gegeben ist durch

$$-\pi \leq \varphi < \pi, \quad \cos \varphi = \frac{x}{\sqrt{x^2 + y^2}}, \quad \sin \varphi = \frac{y}{\sqrt{x^2 + y^2}}.$$

Rechnen mit Polarendarstellung:

$$\begin{aligned} z_1 \cdot z_2 &= |z_1| \cdot |z_2| (\cos(\varphi_1 + \varphi_2) + i \sin(\varphi_1 + \varphi_2)) \\ z^n &= |z|^n (\cos n\varphi + i \sin n\varphi) \end{aligned}$$

Die Lösung von  $z^n = r(\cos \varphi + i \sin \varphi)$  ist gegeben durch

$$|z| = r^{1/n},$$

$$\varphi = \frac{\psi}{n} + \frac{2\pi k}{n}, \quad k = 0, 1, \dots, n-1.$$

Die Lösung von  $z^n = r(\cos \varphi + i \sin \varphi)$  ist gegeben durch

$$|z| = r^{1/n},$$

$$\varphi = \frac{\psi}{n} + \frac{2\pi k}{n}, \quad k = 0, 1, \dots, n-1.$$

1.4 **Satz**  $(\mathbb{C}, +, \cdot, |\cdot|)$  ist ein bewerteter Körper, das heißt für  $|\cdot| : \mathbb{C} \rightarrow \mathbb{R}$  gelten:

- 1.)  $|z| \geq 0 \wedge (|z| = 0 \iff z = 0)$
- 2.)  $|z_1 \cdot z_2| = |z_1| \cdot |z_2|$
- 3.)  $|z_1 + z_2| \leq |z_1| + |z_2|$  ( $\Delta$ -Ungleichung)

Außerdem gilt die » $\Delta$ -Ungleichung nach unten«:

$$|z_1 \pm z_2| \geq |z_1| - |z_2|$$

b.) Setze  $y(x) = c_1(x)y_1(x) + \dots + c_n(x)y_n(x)$  in die DGL ein:

$$\begin{aligned} y' &= \sum_{j=1}^n (c_j y_j + c_j y'_j) \stackrel{!}{=} A(x) \left( \sum_{j=1}^n c_j y_j \right) + g \\ &\Leftrightarrow \sum_{j=1}^n c_j y'_j + \sum_{j=1}^n c_j y'_j = \sum_{j=1}^n c_j A(x) y_j + g \end{aligned}$$

$$\Leftrightarrow \sum_{j=1}^n c_j y'_j = g$$

■

4.4 **Definition** Sei  $I \subset \mathbb{R}$  ein Intervall und  $a_0, \dots, a_{n-1}, g \in C(I \rightarrow \mathbb{R})$ . Dann heißt

$$y^{(n)} + a_{n-1}y^{(n-1)} + \dots + a_1y' + a_0y = g$$

für die unbekannte  $y \in C^n(I \rightarrow \mathbb{R})$  lineare Differentialgleichung  $n$ -ter Ordnung. Für  $g = 0$  nennen wir sie homogen, sonst inhomogen.

4.5 **Bemerkung:** 1.) Sei  $y \in C^n(I \rightarrow \mathbb{R})$  eine Lösung von obiger DGL,  $u_1 := y, u_2 :=$

$$y', \dots, u_n := y^{(n-1)}, \text{ dann ist}$$

$$\begin{aligned} u' &= \begin{pmatrix} y' \\ y'' \\ \vdots \\ y^{(n-1)} \end{pmatrix} = \begin{pmatrix} u_2 \\ u_3 \\ \vdots \\ u_n \end{pmatrix} \\ &= \begin{pmatrix} 0 & 1 & \dots & 0 \\ \vdots & \ddots & \ddots & 0 \\ 0 & 0 & 0 & 1 \\ -a_0 & -a_1 & \dots & -a_{n-1} \end{pmatrix} + \begin{pmatrix} 0 \\ 0 \\ \vdots \\ 0 \end{pmatrix} \end{aligned}$$

2.) Ist umgekehrt  $u \in C^1(I \rightarrow \mathbb{R}^n)$  Lösung von obigem System und  $y := u_1$ , dann löst  $y \in C^n(I \rightarrow \mathbb{R})$  die ursprünglich lineare DGL  $n$ -ter Ordnung.

4.6 **Korollar: Folgerung** 1.)  $\operatorname{Im} \mathcal{G} = 0$ :

a.) Die Menge der Lösungen

$$\mathcal{L}_{hom} = \{y \in C^n(I \rightarrow \mathbb{R}) : \dots\}$$

bildet einen linearen Unterraumvektor von  $C^n(I \rightarrow \mathbb{R})$  der Dimension  $n$ . Die Abbildung

$$P_{x_0} : \mathcal{L}_{hom} \rightarrow \mathbb{R}^n : y \mapsto P_{x_0}(y) := \begin{pmatrix} y(x_0) \\ y'(x_1) \\ \vdots \\ y^{(n-1)}(x_0) \end{pmatrix}$$

■

2.) Inhomogener Fall ( $\mathcal{G} \neq 0$ ):

- a.) Die Menge der Lösungen  $\mathcal{L}_{\text{inhom}}$  bildet einen affinen Unterraum von  $C^1(I \rightarrow \mathbb{R}^n)$

$$\mathcal{L}_{\text{inhom}} = \{y' \in C^1(I \rightarrow \mathbb{R}^n) : y' = A(x)y + g(x)\}$$

Ist  $\mathcal{Y}_{\text{part}} \in \mathcal{L}_{\text{inhom}}$  eine beliebige, aber fest gewählte (partikuläre Lösung), so gilt

$$\mathcal{L}_{\text{inhom}} = \mathcal{Y}_{\text{part}} + \mathcal{L}_{\text{hom}}$$

- b.) Nutze Variatiton der Konstanten: Ist  $\{y_1, \dots, y_n\}$  ein Fundamentalsystem, so ist

$$y(x) = c_1(x)y_1(x) + \dots + c_n(x)y_n(x)$$

genau dann Lösung von  $y' = A(x)y + g(x)$ , wenn

$$c'_1 y_1 + \dots + c'_n y_n = \mathcal{G} \quad \Leftrightarrow \quad \underbrace{\begin{pmatrix} y_1 & \dots & y_n \end{pmatrix}}_{\det(\cdot) = W(x) \neq 0} \begin{pmatrix} c'_1 \\ \vdots \\ c'_n \end{pmatrix} = \mathcal{G}$$

$$\Leftrightarrow \quad \begin{pmatrix} c'_1 \\ \vdots \\ c'_n \end{pmatrix} = \begin{pmatrix} y_1 & \dots & y_n \end{pmatrix}^{-1} \mathcal{G}$$

**BEWEIS** 1.) a.) Nach 4.1 ist  $\mathcal{L}_{\text{hom}} \neq \emptyset$ . Seien  $y, \tilde{y}$  Lösungen von  $y' = A(x)y$  und  $\alpha, \beta \in \mathbb{R}$ , dann ist für  $u = \alpha y + \beta \tilde{y}$

$$u' = \alpha y' + \beta \tilde{y}' = \alpha A y + \beta A \tilde{y} = Au$$

und damit  $u \in \mathcal{L}_{\text{hom}}$ . Damit ist  $\mathcal{L}_{\text{hom}}$  Untervektorraum. Die Abbildung  $P_{x_0}$  ist linear und wohldefiniert, da die Lösung der DGL eindeutig.

- b.)  $P_{x_0}$  ist ein Vektorraum-Isomorphismus, da

$$\{y_1, \dots, y_n\} \text{ lin. unabhängig} \Leftrightarrow \{P_{x_0}y_1, \dots, P_{x_0}y_n\} \text{ lin. unabhängig}$$

$$\Leftrightarrow \det(y_1(x_0) \dots y_n(x_0)) = W(x_0) \neq 0$$

- 2.) a.) Zeige  $\mathcal{Y}_{\text{part}} + \mathcal{L}_{\text{hom}} \subset \mathcal{L}_{\text{inhom}}$ . Sei  $y \in \mathcal{L}_{\text{hom}}$ ,  $u := y + \mathcal{Y}_{\text{part}}$ , dann ist

$$u' = y' + \mathcal{Y}'_{\text{part}} = Ay + A\mathcal{Y}_{\text{part}} + \mathcal{G} = Au + \mathcal{G}$$

also  $u \in \mathcal{L}_{\text{inhom}}$ .

Zeige  $\mathcal{L}_{\text{inhom}} \subset \mathcal{Y}_{\text{part}} + \mathcal{L}_{\text{hom}}$ . Sei  $u \in \mathcal{L}_{\text{inhom}}$ ,  $y := u - \mathcal{Y}_{\text{part}}$ , dann ist

$$y' = Au + \mathcal{G} - (Ay_{\text{part}} + \mathcal{G}) = Ay$$

also  $y \in \mathcal{L}_{\text{hom}}$  und damit  $u = \mathcal{Y}_{\text{part}} + y \in \mathcal{Y}_{\text{part}} + \mathcal{L}_{\text{hom}}$ .

1.5 Definition Eine Folge  $(z_n)$  in  $\mathbb{C}$  konvergiert gegen  $z \in \mathbb{C}$ , falls

$$\forall \varepsilon > 0 \exists N_\varepsilon \in \mathbb{N} \forall n > N_\varepsilon : |z_n - z| < \varepsilon.$$

Man schreibt  $z = \lim_{n \rightarrow \infty} z_n$  oder  $z_n \rightarrow z$  ( $n \rightarrow \infty$ ).  $\times$

1.6 Satz Es gelte  $z_n \rightarrow z$  und  $w_n \rightarrow w$  in  $\mathbb{C}$ . Dann gelten

- 1.)  $z_n \pm w_n \rightarrow z \pm w$ ,

$$\lim_{n \rightarrow \infty} (z_n + w_n) = \lim_{n \rightarrow \infty} z_n + \lim_{n \rightarrow \infty} w_n.$$

- 2.)  $z_n \cdot w_n \rightarrow z \cdot w$ ,

- 3.) Falls  $w \neq 0$  und

$$w'_n := \begin{cases} 1 & \text{falls } w_n = 0 \\ w_n & \text{sonst} \end{cases},$$

dann

$$\frac{z_n}{w_n} \rightarrow \frac{z}{w}.$$

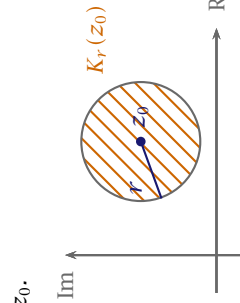
- 4.)  $z_n \rightarrow z \iff \operatorname{Re} z_n \rightarrow \operatorname{Re} z \wedge \operatorname{Im} z_n \rightarrow \operatorname{Im} z$ .  $\times$

$\times$

1.7 Definition 1.) Seien  $r > 0$ ,  $z_0 \in \mathbb{C}$ . Dann heißt

$$K_r(z_0) := \{z \in \mathbb{C} : |z - z_0| < r\}$$

offene Kreisscheibe um  $z_0$ .

2.) Eine Teilmenge  $O \subseteq \mathbb{C}$  heißt offen, falls

$$\forall z \in O \exists r_z > 0 : K_{r_z}(z) \subseteq O$$

$A \subseteq \mathbb{C}$  heißt abgeschlossen, falls  $\mathbb{C} \setminus A$  offen.

Beliebige Vereinigungen und endliche Schnitte offener Mengen sind offen. Beliebige Schnitte und endliche Vereinigungen abgeschlossener Mengen sind abgeschlossen.

Für eine beliebige Teilmenge  $M \subseteq \mathbb{C}$  ist

$$\hat{M} := \bigcup_{O \in \{O \subseteq \mathbb{C} : O \text{ offen} \wedge O \subseteq M\}} O \quad (\text{ist offen})$$

das **Innere** von  $M$  (die größte offene Menge  $O \subseteq M$ )

$$\overline{M} := \bigcap_{A \in \{A \subseteq \mathbb{C} : A \text{ abgeschlossen} \wedge M \subseteq A\}} A \quad (\text{ist abgeschlossen})$$

für  $x \in K \subset I$  mit  $K$  kompakt.

Der Satz liefert also eine lokale Lösung  $\phi := y \in C^1([x_0 - r, x_0 + r] \rightarrow \mathbb{R}^n)$ . Erneute Anwendung mit Anfangsbedingung  $y(x_0 + r) = \phi(x_0 + r)$  liefert die Lösung

$$\psi := y \in C^1([x_0 + r - \tilde{r}, x_0 + r + \tilde{r}] \rightarrow \mathbb{R}^n)$$

Zusammenkleben der Lösungen liefert

$$y(x) = \begin{cases} \phi(x) & x_0 - r \leq x \leq x_0 + r \\ \psi(x) & x_0 + r \leq x \leq x_0 + r + \tilde{r} \end{cases}$$

Dieses  $y$  ist stetig auf  $[x_0 - r, x_0 + r + \tilde{r}]$ . Weiter ist  $y'$  stetig auf dem selben Intervall, da

$$\begin{aligned} \phi'(x_0 + r) &= A(x_0 + r)\phi(x_0 + r) + g(x_0 + r) \\ &= A(x_0 + r)\psi(x_0 + r) + g(x_0 + r) \\ &= \psi'(x_0 + r) \end{aligned}$$

Als ist dieses  $y' \in C^1([x_0 - r, x_0 + r + \tilde{r}] \rightarrow \mathbb{R}^n)$  eine Lösung von

$$y' = A(x)y + g(x) \quad \wedge \quad y(x_0) = y_0$$

Die Fortsetzung ist so lange möglich, bis  $y' \in C^1(I \rightarrow \mathbb{R}^n)$  (ohne Beweis).

#### 4.3 Satz 1.) Homogener Fall ( $g = 0$ ):

a.) Die Menge der Lösungen

$$\mathcal{L}_{hom} = \{y \in C^1(I \rightarrow \mathbb{R}^n : y' = A(x)y)\}$$

bildet einen Untervektorraum von  $C^1(I \rightarrow \mathbb{R}^n)$  der Dimension  $n$ . Für festes  $x_0 \in I$  ist

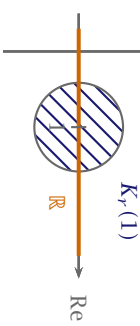
$$P_{x_0} : \mathcal{L}_{hom} \rightarrow \mathbb{R}^n : y \mapsto P_{x_0}y := y(x_0)$$

ein Vektorraum-Isomorphismus. Eine Basis von  $\mathcal{L}_{hom}$  heißt Fundamentalsystem (auch im Fall  $g \neq 0$ ).



►

Ist  $\mathbb{R} \subseteq \mathbb{C}$  abgeschlossen? Ja.  $\iff$  Ist  $\mathbb{C} \setminus \mathbb{R}$  offen? Ja.



Für  $z_0 \in \mathbb{R}$  ist für beliebig kleines  $r > 0$  stets

- 1.)  $K_r(z_0) \cap \mathbb{C} \setminus \mathbb{R} \neq \emptyset$ .
- 2.)  $K_r(z_0)$  ist offen.
- 3.)  $\mathbb{R}$  ist nicht offen in  $\mathbb{C}$ .

**Bsp 1.1**  $\emptyset, \mathbb{C}$  sind offen und abgeschlossen. Alle anderen Teilmengen von  $\mathbb{C}$

sind entweder offen, abgeschlossen oder keins von beidem (beispielweise halboffene Intervalle).

$$\overline{K_r(z_0)} = \{z \in \mathbb{C} : |z - z_0| \leq r\}$$

**Bsp 1.2**  $K_r(z_0)$  ist offen.

Für  $z_0 \in \mathbb{R}$  ist für beliebig kleines  $r > 0$  stets

$$K_r(z_0) \cap \mathbb{C} \setminus \mathbb{R} \neq \emptyset.$$

**Bsp 1.3**  $\mathbb{R}$  ist nicht offen in  $\mathbb{C}$ .

Für  $z_0 \in \mathbb{R}$  ist für beliebig kleines  $r > 0$  stets

$$K_r(z_0) \cap \mathbb{C} \setminus \mathbb{R} \neq \emptyset.$$

**Def 1.9** Sei  $O \subseteq \mathbb{C}$  offen,  $f : O \rightarrow \mathbb{C}$ . Dann heißt  $f$  **stetig** in  $z_0 \in O$ , falls

$\forall \varepsilon > 0 \exists \delta_\varepsilon \forall z \in O : |z - z_0| < \delta \Rightarrow |f(z) - f(z_0)| < \varepsilon$

oder

$\forall (z_n)$  Folge in  $O : z_n \rightarrow z_0 \Rightarrow f(z_n) \rightarrow f(z_0)$ .

$f$  heißt stetig, falls  $f$  in jedem  $z_0 \in O$  stetig ist.



►

- 1.10 **Satz 1.)** Seien  $f, g : O \rightarrow \mathbb{C}, z_0 \in O, f, g$  stetig in  $z$ . Dann sind
- i.)  $f \pm g, f \cdot g, \frac{f}{g}$  falls  $g(z_0) \neq 0$
  - ii.)  $\forall x \in I : W(x) := \det(y_1(x) \dots y_n(x)) \neq 0$  (Wronski-Determinante)
  - iii.)  $\exists x_0 \in I : W(x_0) \neq 0$ .

a.)  $F(\gamma)$  ist stetig und

$$\|F(\gamma(x)) - \gamma_0\| \stackrel{3.4}{\leq} \left| \int_{x_0}^x \|f(\xi, \gamma(\xi))\| d\xi \right| \leq M \cdot |x - x_0| \leq M \cdot \delta \stackrel{\text{def. } \delta}{\leq} R$$

Also  $F(\tilde{D}) \subseteq \tilde{D}$ .

b.) Außerdem ist  $\tilde{D} \neq \emptyset$ , denn  $\phi \in \tilde{D}$  für  $\phi(x) := \gamma_0$ .

c.)  $F$  ist eine Kontraktion.

$$\begin{aligned} \|F(\gamma) - F(\tilde{\gamma})\|_\infty &= \sup_{x_0 - \delta \leq x \leq x_0 + \delta} \left\| \int_{x_0}^x (f(\xi, \gamma(\xi)) - f(\xi, \tilde{\gamma}(\xi))) d\xi \right\| \\ &= \sup_{x_0 - \delta \leq x \leq x_0 + \delta} \left\| \int_{x_0}^x \|f(\xi, \gamma(\xi)) - f(\xi, \tilde{\gamma}(\xi))\| d\xi \right\| \\ &\leq L \|\gamma - \tilde{\gamma}\|_\infty \cdot \underbrace{|x - x_0|}_{\leq \delta} \end{aligned}$$

$$\stackrel{L\delta \leq \frac{1}{2}}{\leq} \underbrace{\frac{1}{2} \|\gamma - \tilde{\gamma}\|_\infty}_q$$

Der Banachsche Fixpunktsatz besagt jetzt

$$\exists \gamma \in \tilde{B} : F(\gamma) = \gamma$$

also  $\gamma \in C([x_0 - \delta, x_0 + \delta] \rightarrow B)$  und aus  $F(\gamma) = \gamma$  ergibt sich

$$\gamma_0 + \int_{x_0}^x f(\xi, \gamma(\xi)) d\xi = \gamma(x)$$

Die Äquivalenz zur ursprünglichen DGL liefert somit den Beweis dafür, dass die Lösung eindeutig ist. ■

2.) Sei  $f : O \rightarrow \tilde{O} \subseteq \mathbb{C}$  stetig in  $z_0 \in O$  und  $g : \tilde{O} \rightarrow \mathbb{C}$  stetig in  $f(z_0)$ .

Dann ist  $g \circ f$  stetig in  $z_0$ . Beweis über Folgen.

1.11 Bemerkung: Stetigkeit genauso für  $f : M \rightarrow \mathbb{C}$  mit beliebiger Menge  $M \subseteq \mathbb{C}$ . ↷

1.12 Funktionenfolgen Sei  $M \subseteq \mathbb{C}, f_n, f : M \rightarrow \mathbb{C}$

1.)  $(f_n)$  heißt punktweise konvergent gegen  $f$  auf  $M$ , falls

$$\forall z \in M \ \forall \varepsilon > 0 \ \exists N_{\varepsilon, z} \in \mathbb{N} \ \forall n > N_{\varepsilon, z} : |f_n(z) - f(z)| < \varepsilon.$$

2.)  $(f_n)$  heißt gleichmäßig konvergent gegen  $f$  auf  $M$ , falls

$$\forall \varepsilon > 0 \ \exists N_\varepsilon \in \mathbb{N} \ \forall n > N_\varepsilon \ \forall z \in M : |f_n(z) - f(z)| < \varepsilon.$$

1.13 Satz Seien  $f_n : M \rightarrow \mathbb{C}$  stetig,  $(f_n)$  gleichmäßig konvergent auf  $M$  gegen  $f$ . Dann ist  $f$  auch stetig auf  $M$ .

BEWEIS Seien  $z_0 \in M, \varepsilon > 0$  fest und

$$|f(z) - f(z_0)| \leq |f(z) - f_n(z)| + |f_n(z) - f_n(z_0)| + |f_n(z_0) - f(z_0)|.$$

1. Schritt: Wähle ein  $N_\varepsilon$  so, dass  $|f(z) - f_n(z)| < \varepsilon/3$  für  $n > N_\varepsilon$  und beliebige  $z$  (gleichmäßige Konvergenz von  $f_n$ ), also

$$|f(z) - f(z_0)| \leq \underbrace{|f(z) - f_n(z)|}_{< \varepsilon/3} + \underbrace{|f_n(z) - f_n(z_0)|}_{< \varepsilon/3} + \underbrace{|f_n(z_0) - f(z_0)|}_{< \varepsilon/3}.$$

2. Schritt: Setze  $n := N_\varepsilon + 1$  und nutze die Stetigkeit von  $f_n$ . Für  $|z - z_0| < \delta$  gilt, dann

$$\begin{aligned} |f(z) - f(z_0)| &\leq \underbrace{|f(z) - f_n(z)|}_{< \varepsilon/3} + \underbrace{|f_n(z) - f_n(z_0)|}_{< \varepsilon/3} + \underbrace{|f_n(z_0) - f(z_0)|}_{< \varepsilon/3} \\ &\leq \frac{\varepsilon}{3} + \frac{\varepsilon}{3} + \frac{\varepsilon}{3} = \varepsilon. \end{aligned}$$

■

### 3.4 Lineare Differentialgleichungen

4.1 Definition Sei  $I \subset \mathbb{R}$  ein Intervall,  $A \in C(I \rightarrow \mathbb{R}^{n^2}), g \in C(I \rightarrow \mathbb{R}^n)$ . Die Differentialgleichung

$$y' = \underbrace{A(x)y + g(x)}_{= R(y)}$$

für die Unbekannte  $y \in C^1(I \rightarrow \mathbb{R})$  heißt lineares System 1. Ordnung. Für  $g = 0$  nennen wir es homogen, sonst inhomogen. ✗

1.14 Definition Eine Reihe  $\sum_{n=0}^{\infty} a_n$  heißt absolut konvergent, falls  $\sum_{n=0}^{\infty} |a_n|$  konvergent ist. ↗

1.15 Weierstraß-Kriterium Ist  $\sum_{n=0}^{\infty} a_n$  mit  $a_n \geq 0$  konvergent und gilt  $f_n : M \rightarrow \mathbb{C}, |f_n(z)| \leq$   
 $a_n$  auf  $M \subseteq \mathbb{C}$ , so ist die Reihe  $\sum_{n=0}^{\infty} f_n(z)$  gleichmäßig konvergent auf  $M$  und absolut konvergent für  $z \in M$ .

**1.16 ▶ Beispiel** Seien  $M := \overline{K_2(0)} \subseteq \mathbb{C}$ ,  $f_n(z) := \frac{z^n}{(n+1)^{2n}}$ . Wähle  $r] \subset \mathbb{R}$  ein Intervall und  $D := \{y \in B : \|y - y_0\| \leq R\}$  für ein  $R \in \mathbb{R}$ . Sei  $f \in C(I \times D \rightarrow B)$  mit

$$a_n := \frac{1}{(n+1)^2} \Rightarrow \begin{cases} \sum_{n=0}^{\infty} \frac{1}{(n+1)^2} < \infty, & \text{d.h. konvergent} \\ |f_n(z)| \leq a_n \end{cases}$$

$$\Rightarrow g(z) := \sum_{n=0}^{\infty} f_n(z) \text{ ist stetig auf } \overline{K_2(0)}$$

◀

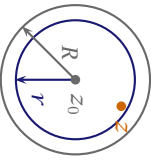
**1.17 Potenzreihen** Sei  $(a_n)$  eine Folge in  $\mathbb{C}$ ,

$$R := \limsup_{n \rightarrow \infty} \sqrt[n]{|a_n|}, \quad \text{mit } \frac{1}{0} := \infty, \frac{1}{\infty} := 0.$$

Dann konvergiert die Potenzreihe

$$f(z) := \sum_{n=0}^{\infty} a_n (z - z_0)^n$$

für  $|z - z_0| < R$  und divergiert für  $|z - z_0| > R$ . Sie konvergiert gleichmäßig auf jedem Kreis  $\overline{K_r(z_0)}$  mit  $0 < r < R$ . Insbesondere ist  $f$  stetig auf  $K_R(z_0)$ .



**BEWEIS** 1.) Formuliere eine äquivalente Integralgleichung.  $y$  ist genau dann eine Lösung von (3.1), wenn

$$y' \in C([x_0 - \delta, x_0 + \delta] \rightarrow B) \quad \wedge \quad y'(x) = y_0 + \int_{x_0}^x f(\xi, y(\xi)) d\xi \quad (3.4)$$

mit  $\int_{x_0}^x \dots = \int_x^{x_0} \dots$  falls  $x < x_0$ .

**BEWEIS** (3.1)  $\Rightarrow$  (3.4)

Integriere die Differentialgleichung in (3.1):

$$\int_{x_0}^x y'(\xi) d\xi = \int_{x_0}^x f(\xi, y(\xi)) d\xi - \underbrace{y(x_0)}_{=y_0} = \int_{x_0}^x f(\xi, y(\xi)) d\xi$$

konvergent ist, gilt

$$R = \frac{1}{\lim_{n \rightarrow \infty} \left| \frac{a_{n+1}}{a_n} \right|}.$$

☒

**1.18 Definition**

$$e^z := \sum_{n=0}^{\infty} \frac{z^n}{n!}, \quad \text{für } z \in \mathbb{C}$$

$$\cos z := \sum_{n=0}^{\infty} (-1)^n \frac{z^{2n}}{(2n)!}, \quad \text{für } z \in \mathbb{C}$$

$$\sin z := \sum_{n=0}^{\infty} (-1)^n \frac{z^{2n+1}}{(2n+1)!}, \quad \text{für } z \in \mathbb{C}$$

☒

(3.4)  $\Rightarrow$  (3.1)

$f(\xi, y(\xi))$  ist stetig in  $\xi$ . Nach dem Hauptsatz ist  $y' = 0 + f(x, y(x))$  mit  $y'$  stetig. Für  $x = x_0$  in der Integralgleichung:  $y(x_0) = y_0 + 0$ . ■

2.) Zeige, dass (3.4) eine eindeutige Lösung besitzt.

**BEWEIS** Sei  $(\tilde{B}, \|\cdot\|^\sim) := (C([x_0 - \delta, x_0 + \delta] \rightarrow B), \|\cdot\|_\infty)$  ein Banachraum und

$$\tilde{D} := C([x_0 - \delta, x_0 + \delta] \rightarrow D)$$

(abgeschlossene Teilmenge in  $\tilde{B}$ ) Definiere  $T: \tilde{D} \rightarrow \tilde{B}; y \mapsto F(y)$  durch

$$F(y)(x) := y_0 + \int_{x_0}^x f(\xi, y(\xi)) d\xi$$

☒

**3.7 Satz: Picard-Lindelöf** Sei  $(B, \|\cdot\|)$  ein Banachraum,  $(x_0, y_0) \in \mathbb{R} \times B$ ,  $I = [x_0 - r, x_0 + r] \subset \mathbb{R}$  ein Intervall und  $D := \{y \in B : \|y - y_0\| \leq R\}$  für ein  $R \in \mathbb{R}$ . Sei  $f \in C(I \times D \rightarrow B)$  d.h.  $f$  erfüllt eine Lipschitz-Bedingung bezüglich zwei Variablen. Weiter seien

$$M := \sup_{I \times D} \|f(x, y)\| < \infty \quad \delta := \min \left\{ \frac{1}{2L}, \frac{R}{M}, r \right\}$$

Dann existiert eine eindeutige Lösung  $y$  von

$$y' \in C^1([x_0 - \delta, x_0 + \delta] \rightarrow B) \quad (3.1)$$

$$\wedge \quad y'(x) = f(x, y(x)) \quad x_0 - \delta \leq x \leq x_0 + \delta \quad (3.2)$$

$$\wedge \quad y(x_0) = y_0 \quad (3.3)$$

**BEWEIS** Schreibe

$$\begin{aligned} \left\| \int_a^b f(x) dx \right\| &= \lim_{\delta(Z) \rightarrow 0} \|S_Z(f)\| \\ &= \lim_{\delta(Z) \rightarrow 0} \left\| \sum_{j=1}^{N(Z)} f(\xi_j) (\chi_j \chi_{j-1}) \right\| \\ &= \limsup_{\delta(Z) \rightarrow 0} \sum_{j=1}^{N(Z)} \underbrace{\|f(\xi_j)\| (\chi_j - \chi_{j-1})}_{= S_Z(\|f\|) - \frac{1}{a} \|f(x)\| dx} \\ &= \int_a^b \|f(x)\| dx \end{aligned}$$

**3.5 Satz: Hauptsatz** Sei  $f : [a, b] \rightarrow B$  stetig und  $F(x) := \int_a^x f(\xi) d\xi$  ( $a \leq x \leq b$ ).

Dann ist  $F$  differenzierbar und

$$F'(x) = f(x) \quad a \leq x \leq b$$

**BEWEIS** Für  $h > 0$  betrachte

$$\begin{aligned} \left\| \frac{1}{h} \underbrace{\int_x^{x+h} f(\xi) d\xi}_{= \int_x^{x+h} f(\xi) d\xi \text{ (Additivität Integral)}} - \overbrace{f(x)}^{\text{für } |\xi - x| \leq h < \delta \text{ da } f \text{ stetig in } x} \right\| &= \left\| \frac{1}{h} \int_x^{x+h} (f(\xi) - f(x)) d\xi \right\| \\ &\leq \frac{1}{h} \int_x^{x+h} \underbrace{\|f(\xi) - f(x)\|}_{< \varepsilon \text{ für } |\xi - x| \leq h < \delta} d\xi \end{aligned}$$

$$\begin{aligned} &\leq \frac{1}{h} \int_x^{x+h} \varepsilon d\xi = \varepsilon \end{aligned}$$

für  $h < \delta$ .

**3.6 Korollar: Folgerung** Falls  $G \in C^1([a, b] \rightarrow B)$  und  $G' = f$  (G Stammfunktion von  $f$ ), dann ist

$$(G - F)' = 0$$

Also (ohne Beweis)  $G = F + c$  mit  $c \in B$ . Damit ist das Integral

$$\begin{aligned} \int_a^b f(x) dx &= F(b) - F(a) \\ &= G(b) - c - (G(a) - c) \\ &= G(b) - G(a) \end{aligned}$$

unabhängig von der Wahl der Stammfunktion.

☒

**BEMERKUNG:** Exemplarisch für  $\epsilon^2$ :

$$\left| \frac{a_{n+1}}{a_n} \right| = \frac{\frac{1}{(n+1)!}}{\frac{1}{n!}} = \frac{1}{n+1} \rightarrow 0$$

$\Rightarrow R = \infty$ , die Potenzreihe ist konvergent auf ganz  $\mathbb{C}$ .

**1.19 Cauchy-Produkt von Reihen** Ist  $\sum_{n=0}^{\infty} a_n$  absolut konvergent und  $\sum_{n=0}^{\infty} b_n$  konvergent in  $\mathbb{C}$ , so gilt

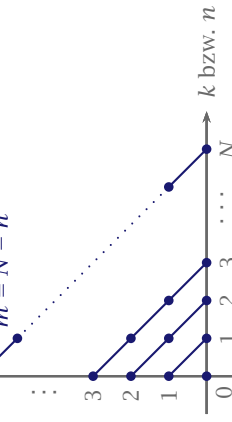
$$\left( \sum_{n=0}^{\infty} a_n \right) \left( \sum_{n=0}^{\infty} b_n \right) = \sum_{n=0}^{\infty} \left( \sum_{k=0}^n a_k b_{n-k} \right)$$

**BEWEIS** Seien

$$A := \sum_{n=0}^{\infty} a_n, \quad B := \sum_{n=0}^{\infty} b_n, \quad B_\ell := \sum_{n=0}^{\ell} b_n$$

$$\sum_{n=0}^N \sum_{k=0}^n a_k b_{n-k} = \sum_{n=0}^N \sum_{m=0}^{N-n} a_n b_m = \sum_{n=0}^N a_n \sum_{m=0}^{N-n} b_m$$

$$\sum_{m=0}^{N-n} \sum_{k=0}^m a_k b_{n-k} = \sum_{m=0}^{N-n} a_m b_{N-m} = \sum_{m=0}^{N-n} a_m \sum_{k=0}^{N-m} b_k$$



$$\begin{aligned} l &= N-n \\ n &= N-\ell \quad \ell=0,1,\dots,N \\ &\quad \underbrace{\sum_{\ell=0}^N a_{N-\ell}(B_\ell - B) + \sum_{n=0}^N a_n B}_{\text{(*) Z.Z. } -0} \\ &\quad \underbrace{\sum_{\ell=0}^N a_{N-\ell}(B_\ell - B) + \sum_{\ell=N+\ell+1}^N a_{N-\ell}(B_\ell - B)}_{\text{--A.B.}} \end{aligned}$$

$$(*) = \sum_{\ell=0}^{N_\ell} a_{N-\ell}(B_\ell - B) + \sum_{\ell=N_\ell+1}^N a_{N-\ell}(B_\ell - B)$$

**1. Schritt:** Wähle ein passendes  $N_\varepsilon$

$$\begin{aligned} \left| \sum_{\ell=N_\varepsilon+1}^N a_{N-\ell}(B_\ell - B) \right| &\leq \sup_{\ell \geq N_\varepsilon+1} |B_\ell - B| \sum_{\ell=N_\varepsilon+1}^N |a_{N-\ell}| \\ &\leq \sup_{\ell \geq N_\varepsilon+1} |B_\ell - B| \sum_{n=0}^\infty |a_n| \\ &\leq \frac{\varepsilon}{2}, \quad \text{da } B_\ell \rightarrow B. \end{aligned}$$

**2. Schritt:** Abschätzen liefert

$$\begin{aligned} \left| \sum_{\ell=0}^{N_\varepsilon} a_{N-\ell}(B_\ell - B) \right| &\leq \max_{0 \leq \ell \leq N_\varepsilon} |B_\ell - B| \sum_{n=N-N_\varepsilon}^\infty |a_n| \\ &\leq \frac{\varepsilon}{2}, \quad \text{für } N - N_\varepsilon > \tilde{N}_\varepsilon \text{ da } \sum_{n=0}^\infty |a_n| \text{ konvergent.} \end{aligned}$$

$$\Rightarrow |(*)| < \varepsilon \text{ für } N - N_\varepsilon > \tilde{N}_\varepsilon \text{ bzw. für } N > \tilde{N}_\varepsilon + N_\varepsilon.$$

■

1.20 Folgerung

$$e^{z+w} = e^z e^w \quad \text{für } z, w \in \mathbb{C}.$$

**BEWEIS** Wir verwenden die Reihendarstellung der Exponentialfunktion.

$$e^z e^w = \left( \sum_{n=0}^\infty \underbrace{\frac{z^n}{n!}}_{a_n} \right) \left( \sum_{n=0}^\infty \underbrace{\frac{w^n}{n!}}_{b_n} \right)$$

beide Reihen sind absolut konvergent

$$\begin{aligned} &= \sum_{n=0}^\infty \sum_{k=0}^n \frac{z^k}{k!} \frac{w^{n-k}}{(n-k)!} \\ &= \sum_{n=0}^\infty \frac{1}{n!} \sum_{k=0}^n \frac{z^k}{k!} \frac{w^{n-k}}{(n-k)!} n! \\ &= \sum_{n=0}^\infty \frac{1}{n!} (z+w)^n \quad \text{Binomischer Lehrsatz} \\ &= \sum_{n=0}^\infty \frac{1}{n!} (z+w)^n = e^{z+w} \end{aligned}$$

■

Verfahren analog für den anderen Teil, dann ergibt sich

$$\|f(\xi_{J(j)}) - f(\xi_j'')\| < \frac{\varepsilon}{2(b-a)} \quad \text{für } \delta(Z) < \delta$$

$$\begin{aligned} &\leq \sum_{j=1}^{N(Z'')} \|f(\xi_{J(j)}) - f(\underbrace{\xi_j''}_{\in [x_{J(j)-1}, x_{J(j)}]})\| (x_j'' - x_{j-1}'') \\ &\leq \frac{\varepsilon}{2(b-a)} \sum_{j=1}^{N(Z'')} (x_j'' - x_{j-1}'') = \frac{\varepsilon}{2} \end{aligned}$$

Dabei ist  $J(j)$  so definiert, dass  $[x_j'', x_j'] \subset [x_{J(j)-1}, x_{J(j)}]$ , d.h.

$$J(j) := \min \{k \in \mathbb{N} : x_j'' \leq x_k\}$$

Sei  $\varepsilon > 0$  vorgegeben und  $Z, Z'$  zwei Zerlegungen. Definiere

$$Z'' = ((x_0'', \dots, x_{N(Z'')}'), (\xi_1'', \dots, \xi_{N(Z)}''))$$

durch

$$\{x_0'', \dots, x_{N(Z'')}'\} := \{x_0, \dots, x_{N(Z)}\} \cup \{x_0', \dots, x_{N(Z)}'\} \quad \xi_j'' \in [x_{j-1}'', x_j''] \text{ beliebig}$$

Benutze

$$\|S_Z(f) - S_{Z'}(f)\| \leq \|S_Z(f) - S_{Z''}(f)\| + \|S_{Z''}(f) - S_{Z'}(f)\|$$

1.21 **Bemerkung:** Mit der Taylorreihe folgt, dass  $e^z \Big|_{z=x \in \mathbb{R}}$ ,  $\cos z \Big|_{z=x \in \mathbb{R}}$  und  $\sin z \Big|_{z=x \in \mathbb{R}}$  die selben Funktionen sind, wie die aus der Schule bekannten.

3.4 Satz Wenn  $f : [a, b] \rightarrow B$  stetig ist, dann gilt

$$\left\| \int_a^b f(x) dx \right\| \leq \int_a^b \|f(x)\| dx$$

### 3.3 Existenz und Eindeutigkeit

**3.1 Definition** Sei  $B$  ein Banachraum.

1.) Sei  $f : \mathbb{R} \supset D \rightarrow B$  mit Häufungspunkt  $x$  in  $D$ .  $f$  heißt differenzierbar in  $x$ , falls

$$\exists f'(x) \in B : \left\| \frac{f(x+h) - f(x)}{h} - f'(x) \right\| \rightarrow 0 \quad h \rightarrow 0, x + h \in D$$

2.) Für  $-\infty < a < b < \infty$  heißt

$$Z([a, b]) = ((x_0, \dots, x_{N(Z)}), (\xi_1, \dots, \xi_{N(Z)}))$$

mit  $a = x_0 < x_1 < \dots < x_{N(Z)} = b$  und  $\xi_j \in [x_{j-1}, x_j]$  eine Zerlegung von  $[a, b]$ . Weiter heißt

$$S_Z(f) := \sum_{j=1}^{N(Z)} f(\xi_j)(x_j - x_{j-1})$$

Riemann-Summe. Definiere die Feinheit von  $Z$  als

$$\delta(Z) := \max_{1 \leq j \leq N(Z)} (x_j - x_{j-1})$$

$f : [a, b] \rightarrow B$  heißt Riemann-integrierbar, falls

$$\exists I \in B : \|S_Z(f) - I\| \rightarrow 0 \quad \delta(Z) \rightarrow 0$$

schreibe

$$I := \int_a^b f(x) dx$$

3.2 Korollar: Folgerung Für  $a < c < b$  gilt

$$\int_a^c f(x) dx + \int_c^b f(x) dx = \int_a^b f(x) dx$$

3.3 Satz Wenn  $f : [a, b] \rightarrow B$  stetig ist, dann ist  $f$  Riemann-integrierbar.

**Beweis** Zeige: falls  $\delta(Z), \delta(Z') < \delta$ , dann ist  $\|S_Z(f) - S_{Z'}(f)\| < \varepsilon$ . Für jede Folge  $Z_n$  von Zerlegungen mit  $\delta(Z_n) \rightarrow 0$  ( $n \rightarrow \infty$ ) gilt dann.

1.)  $(S_{Z_n}(f))$  ist Cauchy-Folge in  $B$ , also konvergent.

2.)  $I := \lim_{n \rightarrow \infty} S_{Z_n}(f)$  ist unabhängig von der Folge  $(Z_n)$ .

1.22 Folgerung 1.)  $e^{iz} = \cos z + i \sin z$  für  $z \in \mathbb{C}$  (Eulersche Formel),

$$e^{iz} = \sum_{n=0}^{\infty} \frac{(iz)^n}{n!} = \sum_{n=0}^{\infty} (-1)^n \frac{z^{2n}}{(2n)!} + i \sum_{n=0}^{\infty} (-1)^n \frac{z^{2n+1}}{(2n+1)!}.$$

2.) Mit der Polardarstellung:  $z = r(\cos \varphi + i \sin \varphi)$  gilt

$$z^n = r^n e^{in\varphi}$$

$$z_1 z_2 = r_1 r_2 e^{i(\varphi_1 + \varphi_2)}$$

$$\frac{z_1}{z_2} = \frac{r_1}{r_2} e^{i(\varphi_1 - \varphi_2)}$$

1.23 Definition 1.)  $f : O \rightarrow \mathbb{C}$  heißt differenzierbar in  $z_0 \in O$ , falls

$$f'(z_0) := \lim_{z \rightarrow z_0, z \neq z_0} \frac{f(z) - f(z_0)}{z - z_0}$$

existiert;  $f'(z_0)$  heißt Ableitung von  $f$  in  $z_0$ .

2.)  $f$  heißt differenzierbar, falls  $f$  in jedem  $z_0 \in \mathbb{C}$  differenzierbar ist.  $f' : O \rightarrow \mathbb{C}$  heißt Ableitungsfunktion von  $f$ .

1.24 ▶ Beispiel 1.) Für  $f : \mathbb{C} \rightarrow \mathbb{C} : z \mapsto c$  ist  $f'(z) = 0$ .

2.) Für  $f : \mathbb{C} \rightarrow \mathbb{C} : z \mapsto z$  ist  $f'(z) = 1$ .

3.) Für  $f : \mathbb{C} \rightarrow \mathbb{C} : z \mapsto z^n$  ist  $f'(z) = n z^{n-1}$ .

4.)  $f : \mathbb{C} \rightarrow \mathbb{C} : z \mapsto |z|^2$  ist in  $z_0 \neq 0$  nicht differenzierbar.

Sei  $z_0 = x_0 + iy_0 \neq 0$ :

$$\begin{aligned} z_h &= x_0 + h + iy_0 \quad \Rightarrow \quad \frac{|z_h|^2 - |z_0|^2}{z_h - z_0} = \frac{2hx_0 + h^2}{h} \rightarrow 2x_0 \quad (h \rightarrow 0), \\ z_h &= x_0 + i(y_0 + h) \quad \Rightarrow \quad \frac{|z_h|^2 - |z_0|^2}{z_h - z_0} = \frac{2hy_0 + h^2}{ih} \rightarrow -i2x_0 \quad (h \rightarrow 0). \end{aligned}$$

1.25 Satz Sei  $O \subseteq \mathbb{C}$  offen und  $f : O \rightarrow \mathbb{C}$ ,  $z_0 \in \mathbb{C}$ . Dann sind äquivalent:

i.)  $f$  ist differenzierbar in  $z_0$  mit Ableitung  $f'(z_0)$ .

ii.)  $\exists f'(z_0) \in \mathbb{C} : f(z) = f(z_0) + f'(z_0)(z - z_0) + \mathcal{O}(|z - z_0|)$ .

**BEWEIS**

i.)  $\frac{f(z) - f(z_0)}{z - z_0} - f'(z_0) \rightarrow 0$  für  $z \rightarrow z_0$ .

ii.)  $\frac{f(z)}{z - z_0} = \frac{f(z) - f(z_0) - (z - z_0)f'(z_0)}{z - z_0} \rightarrow 0$  für  $z \rightarrow z_0$ .

1.26 Satz 1.)  $f$  differenzierbar in  $z_0 \Rightarrow f$  stetig in  $z_0$ .

2.)  $(f + g)' = f' + g'$ .

3.)  $(fg)' = f'g + fg'$ .

$$4.) \left(\frac{f}{g}\right)' = \frac{f'g - fg'}{g^2} \quad \text{falls } g(z_0) \neq 0.$$

$$5.) (f \circ g)'(z_0) = f'(g(z_0)) \cdot g'(z_0).$$

1.27 ▶ **Beispiel** 1.) Polynomfunktionen sind differenzierbar auf  $\mathbb{C}$  (folgt aus 1.24, 3.) und 1.26, 2.).

2.) Gebrochen rationale Funktionen sind auf ihrem Definitionsbereich differenzierbar.



1.28 **Definition** 1.) Sei  $y \in C^1([a, b] \rightarrow \mathbb{C})$  (also auch  $\operatorname{Re} y, \operatorname{Im} y \in C^1$ ). Dann heißt  $y$  **Weg** von  $z_1 = y(a)$  nach  $z_2 = y(b)$ . Falls  $z_1 = z_2$ , heißt  $y$  **geschlossen**.

2.) Sei  $y$  ein Weg und  $f \in C(\operatorname{Bild}(y) \rightarrow \mathbb{C})$ . Dann heißt

$$\begin{aligned} \int_y f(z) dz &:= \int_a^b f(y(t)) y'(t) dt \\ &= \int_a^b [\operatorname{Re}(f(y(t))) \operatorname{Re}(y'(t)) - \operatorname{Im}(f(y(t))) \operatorname{Im}(y'(t))] dt \\ &\quad + i \int_a^b [\operatorname{Im}(f(y(t))) \operatorname{Re}(y'(t)) + \operatorname{Re}(f(y(t))) \operatorname{Im}(y'(t))] dt \end{aligned}$$

des **Integral** von  $f$  längs  $y$ .



1.29 **Bemerkung:** 1.) Ist  $\tilde{y}$  eine andere Parametrisierung des Weges  $y$ , sodass folgende Eigenschaften gelten

$$\begin{aligned} \tilde{y}(s) &= (y \circ \varphi)(s) \quad \text{für } a' \leq s \leq b', \\ \varphi \in C^1([a', b'] \rightarrow [a, b]), \quad \varphi(a') &= a, \quad \varphi(b') = b. \end{aligned}$$

Dann folgt aus der Substitutionsregel für reelle Integration

$$\begin{aligned} \int_y f(z) dz &= \int_a^b f(y(t)) y'(t) dt, \quad \left(t = \varphi(s), \frac{dt}{ds} = \varphi'(s)\right) \\ &= \int_{\tilde{y}}^{b'} \underbrace{f(y(\varphi(s)))}_{a' \leq \tilde{y}(s) \leq b'} \underbrace{y'(\varphi(s))}_{\frac{dt}{ds} \tilde{y}'(s) = \frac{dt}{ds} (y \circ \varphi)'(s)} \underbrace{\varphi'(s)}_{ds} ds \\ &= \int_{\tilde{y}}^{b'} f(z) dz \end{aligned}$$

Die Lösungen sind gegeben durch (gehe Blockweise von unten nach oben vor und nutze die umgekehrte Produktregel):

$$u_3 = c_3 e^{\lambda_1 t}$$

$$u_2 = c_2 e^{\lambda_1 t} + c_3 t e^{\lambda_1 t}$$

$$u_1 = c_1 e^{\lambda_1 t} + c_2 t e^{\lambda_1 t} + c_3 \frac{t^2}{2} e^{\lambda_1 t}$$

Rücktransformation ergibt dann

$$y(t) := Tu(t)$$

### 3.2.4 Differentialgleichungen höherer Ordnung

Seien  $a_0, \dots, a_{n-1}$  gegeben, gesucht ist  $y \in C^n(\mathbb{R} \rightarrow \mathbb{R})$  mit

$$y^n = a_{n-1} y^{n-1} + \dots + a_1 y' + a_0 y$$

Setze dazu

$$u_1 := y \quad u_2 := y' \quad \dots \quad u_n := y^{(n-1)}$$

Es ergibt sich im Beispiel für die DGL

$$y''' = y'$$

$$u_1' = \quad u_2 \quad \quad \quad u_2' = \quad u_3 \quad \quad \quad u_3' = y''' = y' = u_2$$

Löse dieses System und setze dann

$$y(t) := u_1(t)$$

Die Eindeutigkeit ist durch die Anfangsbedingungen

$$y(t_0) = y_0, \quad y'(t_0) = y_1, \quad y''(t_0) = y_2$$

gegeben.

damit gilt

$$\sum_{j=1}^n c_j \underbrace{e^{\lambda_j t_0}}_{=: d_j} v_j = \gamma_0$$

Die  $d_j$  existieren und sind eindeutig, da  $\{v_1, \dots, v_n\}$  Basis ist. Also existieren auch die

$$c_j = e^{-\lambda_j t_0} d_j$$

und sind eindeutig.

**Beobachtungen** ▶ Es existiert immer eine globale Lösung.

- ▶ Die Lösungsgesamtheit ist durch  $n$  skalierbare Gleichungen gegeben mit Parametern  $c_j$ .
- ▶ Die Eindeutigkeit ist stets durch die Anfangsbedingung gewährleistet.

- ▶ Für festes  $t \in \mathbb{R}$  hängt  $\gamma(t)$  stetig von  $(t_0, \gamma_0)$  ab.

- ▶ Der Lösungsraum ist ein reeller linearer Raum mit Basis

$$\{t \rightarrow e^{\lambda_1 t} v_1, \dots, t \rightarrow e^{\lambda_n t} v_n\}$$

**Fall 2: sonst** Bilde die Jordan-Normalform

$$J = T^{-1} A T$$

beispielsweise

$$J = \begin{pmatrix} \lambda_1 & 1 & 0 \\ 0 & \lambda_1 & 1 \\ 0 & 0 & \lambda_1 \end{pmatrix}$$

Setze  $u(t) := T^{-1} \gamma(t)$  für eine Lösung  $\gamma(t)$ . Dann ist

$$u'(t) = T^{-1} \gamma'(t) = T^{-1} A \gamma(t) = T^{-1} A T u(t)$$

Also

$$\gamma' = A \gamma \quad \Leftrightarrow \quad u' = J u$$

Wir können also statt  $y' = A y$  das System  $u' = J u$  berechnen und anschließend zurücktransformieren. In unserem Beispiel:

$$\begin{aligned} u'_1 &= \lambda_1 u_1 + u_2 \\ u'_2 &= \quad + \lambda_1 u_2 + u_3 \\ u'_3 &= \quad + \lambda_1 u_3 \end{aligned}$$

2.)  $-\gamma$  ist der zu  $\gamma$  entgegengesetzt orientierte Weg.

$$-\gamma(t) := \gamma(a + b - t), \quad a \leq t \leq b.$$

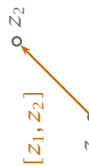
Es gilt

$$\int_{-\gamma} f(z) dz = - \int_{\gamma} f(z) dz.$$

3.) Jede Kurve kann so umparametrisiert werden, dass  $a = 0$  und  $b = 1$  gilt.

4.) Verbindungsstrecke:  $\gamma = [z_1, z_2]$

$$\Leftrightarrow \gamma(t) = z_1 + t(z_2 - z_1), \quad 0 \leq t \leq 1$$



5.) Verallgemeinerung: Ein Weg kann auch nur stückweise  $C^1$  sein.

$$\gamma \in C([a, b] \rightarrow \mathbb{C})$$

Es existieren  $t_0 = a < t_1 < t_2 < \dots < t_n = b$ , sodass

$$\gamma_j := \gamma|_{[t_{j-1}, t_j]} \in C^1([t_{j-1}, t_j] \rightarrow \mathbb{C}).$$

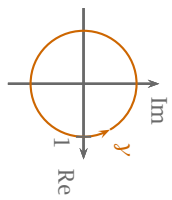
(das heißt, die Ableitung darf endlich viele Sprünge haben). Dann

$$\int_{\gamma} f(z) dz := \sum_{j=1}^n \int_{\gamma_j} f(z) dz.$$

1.30 ► **Beispiel** 1.)  $f(z) := z^3, \gamma = [0, 1+i]$

$$\begin{aligned} \int_{[0,1+i]} z^3 dz &= \int_0^1 (t(1+i))^3 (1+i) dt \\ &= (1+i)^4 \int_0^1 t^3 dt \\ &= \frac{(1+i)^4}{4} \end{aligned}$$

2.)  $f(z) := \frac{1}{z}$ ,  $y(t) = e^{it}$ ,  $0 \leq t \leq 2\pi$ . Da  $y(0) = y(2\pi)$  ist der Weg geschlossen.



$$\int_y \frac{1}{z} dz = \int_0^{2\pi} \frac{1}{e^{it}} ie^{it} dt = 2\pi i \neq 0$$

■

1.31 **Satz** Sei  $O \subseteq \mathbb{C}$  offen,  $F : O \rightarrow \mathbb{C}$  differenzierbar,  $f := F'$  in  $O$  (das heißt,  $F$  ist eine Stammfunktion von  $f$ ). Ist  $y$  ein Weg in  $O$ , so gilt

$$\int_y f(z) dz = F(y(b)) - F(y(a)).$$

**BEWEIS** Wegen

$$\begin{aligned} \frac{d}{dt} F(y(t)) &= \lim_{s \rightarrow t, s \neq t} \frac{F(y(s)) - F(y(t))}{y(s) - y(t)} y'(s) - y'(t) \\ &= F'(y(t)) y'(t) = f(y(t)) y'(t) \end{aligned}$$

können wir die Kettenregel verwenden und es ergibt sich

$$\begin{aligned} \int_y f(z) dz &= \int_a^b f(y(t)) y'(t) dt \\ &= \int_a^b \frac{d}{dt} F(y(t)) dt \\ &= \int_a^b \left[ \frac{d}{dt} \operatorname{Re} F(y(t)) + i \frac{d}{dt} \operatorname{Im} F(y(t)) \right] dt. \end{aligned}$$

Nach dem Hauptsatz der Integral- und Differentialrechnung im Reellen gilt

$$\begin{aligned} &= (\operatorname{Re} F(y(b)) + i \operatorname{Im} F(y(b))) - (\operatorname{Re} F(y(a)) + i \operatorname{Im} F(y(a))) \\ &= F(y(b)) - F(y(a)). \end{aligned}$$

■

**Beobachtungen** Für  $y_0 \neq 0$  geht durch jeden Punkt genau eine Lösung (jetzt exemplarisch für  $y_0 > 0$ ):

$$y(x) = \frac{1}{27}(x+c)^3 \quad c = 3y_0^{\frac{1}{3}} - x_0$$

Dies ist wegen der Bedingung  $x > -c$  keine globale Lösung (*lokale Lösung*).

Setzt man diese Lösung fest zu einer globalen Lösung, geht die Eindeutigkeit verloren. Man kann beispielsweise den unteren Ast an einer beliebigen Stelle  $r \leq 0$  ansetzen:

$$y_r(x) = \begin{cases} \frac{1}{27}x^3 & x > 0 \\ 0 & r \leq x \leq 0 \\ \frac{1}{27}(x-r)^3 & x < r \end{cases} \quad \forall r \leq 0$$

Insbesondere gehen durch  $(x_0, 0)$  beliebig viele Lösungen.

»

### 3.2.3 Systeme von Differentialgleichungen

Sei  $A \in \mathbb{R}^{n \times n}$  gegeben. Gesucht ist  $y \in C^1(\mathbb{R} \rightarrow \mathbb{R}^n)$  mit

$$y' = Ay$$

ausgeschrieben ergeben sich

$$y'_1 = a_{11}y_1 + a_{12}y_2 + \dots + a_{1n}y_n$$

$$\vdots = \vdots$$

$$y'_n = a_{n1}y_1 + a_{n2}y_2 + \dots + a_{nn}y_n$$

also  $n$  gekoppelte Differentialgleichungen.

**Fall 1:**  $v_1, \dots, v_n$  bildet eine Basis aus Eigenvektoren:  $Av_j = \lambda_j v_j$  Dann ergibt sich die Lösung als

$$y(t) := \sum_{j=1}^n c_j e^{\lambda_j t} v_j \quad c_1, \dots, c_n \in \mathbb{R}$$

denn

$$y' = \sum_{j=1}^n c_j \lambda_j e^{\lambda_j t} v_j = \sum_{j=1}^n c_j e^{\lambda_j t} Av_j = Ay(t)$$

Die Eindeutigkeit ist durch Anfangsbedingungen gegeben:

$$y(t_0) = y_0 \quad t_0 \in \mathbb{R}, y_0 \in \mathbb{R}^n$$

1.32 **Folgerung** 1.) Besitzt  $f$  eine Stammfunktion und ist  $y$  geschlossen, so folgt

$$\int_y f(z) dz = 0.$$

b.) Für  $y \neq (n + \frac{1}{2})\pi$  ergibt sich nach der Merkregel

$$\int \frac{dy}{\cos^2 y} = \int \cos x dx$$

$$\begin{aligned} \Leftrightarrow \tan y &= \sin x + c \\ \Leftrightarrow y &= \arctan(\sin x + c) + n\pi \end{aligned}$$

Die Lösungen sind demnach alle Funktionen der Form

$$y(x) = \arctan(\sin x + c) + n\pi \quad c \in \mathbb{R}, n \in \mathbb{Z}$$

**Beobachtungen** ▶ Durch jeden Punkt  $(x_0, y_0)$  geht genau eine Lösung.

$$y(x) = \arctan(\sin x + \underbrace{\tan y_0 - \sin x_0}_{=c})$$

$$\text{falls } -\frac{\pi}{2} < y_0 < \frac{\pi}{2}.$$

◀ Jede Lösung ist auf ganz  $\mathbb{R}$  definiert: *globale* Lösung.

◀ Für festes  $x_1 \in \mathbb{R}$  hängt  $y(x_1)$  stetig von  $(x_0, y_0)$  ab.

◀ Die Lösungsvielfalt ist durch die Parameter  $c$  und  $n$  beschrieben.

◀ Die Lösung ist eindeutig durch die *Anfangsbedingung*

$$y(x_0) = y_0$$

vorgegeben (für gegebenes  $x_0, y_0$ ).

$$y(x) = 0$$

b.) Für  $y > 0$  oder  $y < 0$  ergibt sich nach der Merkregel

$$y' = (y^2)^{\frac{1}{3}}$$

a.) Die konstante Lösung ergibt sich als

$$y(x) = 0$$

b.) Für  $y > 0$  oder  $y < 0$  ergibt sich nach der Merkregel

$$3y^{\frac{1}{3}} = \int \frac{dy}{y^{\frac{2}{3}}} = \int dx = x + c$$

für  $x > -c$  im Fall  $y > 0$ , und für  $x < -c$  im Fall  $y < 0$ . Es ergibt sich dann

$$y(x) = \frac{1}{27}(x + c)^3$$

2.)  $f : \mathbb{C} \setminus \{0\} \rightarrow \mathbb{C} : z \mapsto \frac{1}{z}$  besitzt keine Stammfunktion (siehe 1.30, 2.).

1.33 **Satz** Sei  $y$  ein Weg,  $f \in C(\text{Bild}(y) \rightarrow \mathbb{C})$ . Dann

$$\begin{aligned} \left| \int_y f(z) dz \right| &\leq \int_a^b |f(y(t))| |y'(t)| dt \\ &\leq \max_{a \leq t \leq b} |f(y(t))| \int_a^b |y'(t)| dt. \end{aligned}$$

**BEWEIS** Es gilt

$$\left| \int_y f(z) dz \right| = e^{i\varphi} \int_y f(z) dz$$

$$\text{mit } \varphi = -\arg \left( \int_y f(z) dz \right)$$

$$\begin{aligned} &= \int_a^b e^{i\varphi} f(Y(t)) Y'(t) dt \\ &= \int_a^b \operatorname{Re}(e^{i\varphi} f(Y(t)) Y'(t)) dt + i \int_a^b \operatorname{Im}(e^{i\varphi} f(Y(t)) Y'(t)) dt \\ &\leq \int_a^b |\operatorname{Re}(e^{i\varphi} f(Y(t)) Y'(t))| dt \end{aligned}$$

$$\begin{aligned} &\leq \int_a^b |\operatorname{e}^{i\varphi} f(Y(t)) Y'(t)| dt \\ &\leq \int_a^b |\operatorname{e}^{i\varphi}| |f(Y(t))| |Y'(t)| dt. \end{aligned}$$

Genau so, falls  $y$  nur stückweise  $C^1$ .

1.34 **Definition**

$$L(y) := \int_a^b |y'(t)| dt$$

heißt **Länge** von  $y$ . Damit wird 1.33 zu

|Integral von  $f$  über  $y| \leq (\text{Länge von } y) (\max |f| \text{ auf } y)$ . ☒

1.35 ▶ **Beispiel** 1.)  $y = [z_1, z_2]$ ,  $y(t) = z_1 + t(z_2 - z_1)$

$$L(y') = \int_0^1 |z_2 - z_1| dt = |z_2 - z_1|$$

2.)  $y' := e^{it}$ ,  $0 \leq t \leq 2\pi$

a.)

$$|2\pi i| = \left| \int_Y \frac{1}{z} dz \right| \leq \max_{z=e^{it}, 0 \leq t \leq 2\pi} \left| \frac{1}{z} \right| \int_0^{2\pi} |\mathrm{i} e^{it}| dt = 2\pi$$

b.)

$$|0| = \left| \int_Y z dz \right| \leq \max_{z=e^{it}} |z| 2\pi = 2\pi$$

1.36 **Satz** Sei  $(a_n)$  eine Folge in  $\mathbb{C}$ ,  $R = \limsup_{n \rightarrow \infty} \frac{1}{\sqrt[n]{|a_n|}} > 0$ . Dann ist

$$f(z) = \sum_{n=0}^{\infty} a_n z^n, \quad \text{für } |z| < R$$

auf dem offenen Konvergenzkreis  $\tilde{K}_R(0)$  beliebig oft differenzierbar mit

$$f'(z) = \sum_{n=1}^{\infty} a_n n z^{n-1}, \quad f''(z) = \sum_{n=2}^{\infty} a_n n(n-1) z^{n-2}, \quad \dots$$

**BEWEIS** Seien

$$g(z) := \sum_{n=1}^{\infty} a_n n z^{n-1}, \quad R' := \limsup_{n \rightarrow \infty} \sqrt[n]{|a_n n|}$$

dann gilt

1.)  $R' = R$  wegen  $\lim_{n \rightarrow \infty} \sqrt[n]{n} = 1$ . Das heißt:  $g$  ist auf demselben  $K_R(0)$  definiert wie  $f$ .

2.)  $g = f'$ . Seien  $w \in K_R(0)$ ,  $z \in K_R(0) \setminus \{w\}$ , so folgt

$$\frac{f(z) - f(w)}{z - w} - g(w) = \sum_{n=1}^{\infty} a_n \underbrace{\left( \frac{z^n - w^n}{z - w} - n w^{n-1} \right)}_{(*)}$$

$$\begin{aligned} (*) &= \left| \frac{1}{z-w} \int_{[w,z]} (n u^{n-1} - n w^{n-1}) du \right| \\ &\leq \frac{1}{|z-w|} L([w,z]) n |z^{n-1} - w^{n-1}| \\ &\stackrel{(*)}{\rightarrow} 0, \quad \text{für } z \rightarrow w \\ \Rightarrow & \begin{cases} |a_n(\dots)| \leq n |z|^{n-1} + n |w|^{n-1} \end{cases} \end{aligned}$$

### 3.2.2 Separierbare Differentialgleichungen

Seien  $I_f, I_g \subset \mathbb{R}$  Intervalle und  $f \in C(I_f \rightarrow \mathbb{R}), g \in C(I_g \rightarrow \mathbb{R})$ . Gesucht ist ein Intervall  $I \subset \mathbb{R}$  und  $y \in C^1(I \rightarrow \mathbb{R})$ , sodass

$$y' = f(x)g(y)$$

Die Variablen sind also separierbar.

a.) Falls  $g(y)$  in  $y_0$  eine Nullstelle hat, dann existiert die konstante Lösung:

$$y(x) = y_0$$

Alle Nullstellen von  $g(y)$  repräsentieren also konstante Lösungen.

b.) Sei  $y \in C^1(I \rightarrow \mathbb{R})$  eine Lösung mit  $g(y(x)) \neq 0$  für  $x \in I$ . Forme  $y'(x) = f(x)g(y(x))$  um und betrachte die Stammfunktionen:

$$\begin{aligned} \frac{y'(x)}{g(y(x))} &= f(x) \\ \Leftrightarrow G(y(x)) + c_1 &:= \int \frac{1}{g(y)} dy = \int \frac{y'(x)}{g(y(x))} dx = \int f(x) dx =: F(x) + c_2 \\ G(y(x)) &= F(x) + c \end{aligned}$$

da  $G' = \frac{1}{g} \neq 0$  ist  $G$  injektiv und lokal umkehrbar.

$\Leftrightarrow$

$$y'(x) = G^{-1}(F(x) + c)$$

Merkregel

$$\frac{dy}{dx} = f(x)g(y)$$

Alle  $y$  nach links,  $x$  nach rechts und Integral davor:

$$\int \frac{dy}{g(y)} = \int f(x) dx$$

2.2 ▶ **Beispiel** Sei folgende Differentialgleichung gegeben:

$$y' = \cos^2 y \cos x$$

a.) Die konstante Lösung ergibt sich für  $\cos^2 y = 0$ , also sind alle Funktionen der Form

$$y(x) = (n + \frac{1}{2})\pi \quad n \in \mathbb{Z}$$

konstante Lösungen.

2.) Ist  $x_0 \in D$  und  $x_n := F(x_{n-1})$  für  $n \in \mathbb{N}$ , so gilt

$$x_n \rightarrow x \quad n \rightarrow \infty$$

mit der Fehlerabschätzung

$$\|x_n - x\| \leq \frac{q^n}{1-q} \|x_1 - x_0\|$$

**BEWEIS** 1.) Eindeutigkeit: Seien  $x, y$  zwei Fixpunkte, dann ist

$$\|x - y\| = \|F(x) - F(y)\| \leq q \|x - y\|$$

wegen  $q < 1$  folgt  $\|x - y\| = 0$ , also  $x = y$ .

2.) Wegen  $F(D) \subset D$  ist  $x_n$  für  $n \in \mathbb{N}_0$  wohldefiniert.

Zeige zunächst

$$\|x_{n+1} - x_n\| \leq q^n \|x_1 - x_0\|$$

induktiv.

Für den Rest (1.4) siehe Numerik (wurde dort schöner bewiesen). ■

1.4 *Bemerkung:* Es lässt sich ebenfalls zeigen:

$$\|x_n - x\| \leq \frac{1}{1-q} \|x_{n+1} - x_n\|$$

Probe:

$y'(t) = -K(y(t) - y_A)$

Die Lösung lautet

$$y(t) = y_A + c e^{-Kt} \quad t \in \mathbb{R}, c \in \mathbb{R}$$

Die Lösung ist erst eindeutig, wenn z.B.  $y(t_0) = y_0$  vorgegeben wird (Anfangsbedingung).

Probe:

$$y' = c(-K)e^{-Kt} = -K(c e^{-Kt}) = -K(y(t) - y_A)$$

Die Lösung ist erst eindeutig, wenn z.B.  $y(t_0) = y_0$  vorgegeben wird (Anfangsbedingung).

2.1 **Definition: nicht-formale Beschreibung** Eine Differentialgleichung ist eine Gleichung für eine gesuchte Funktion  $y$ , in der auch die Ableitung(en) von  $y$  auftreten. Sie heißt gewöhnlich, falls keine partiellen Ableitungen auftreten, sonst partiell

Die Reihe konvergiert also gleichmäßig in  $K_r(0)$  für jedes  $r < R$ . Der Grenzwert von  $z \rightarrow w$  und die Reihe sind vertauschbar, also

$$\frac{f(z) - f(w)}{z - w} - g(w) \rightarrow 0.$$

1.37 ► Beispiel 1.)

$$e^z = \sum_{n=0}^{\infty} \frac{z^n}{n!}, \quad z \in \mathbb{C}$$

$$(e^z)' = \sum_{n=1}^{\infty} \frac{n z^{n-1}}{n!} \stackrel{k=n-1}{=} \sum_{k=0}^{\infty} \frac{z^k}{k!}$$

2.)

$$\begin{aligned} (\cos z)' &= \left( \sum_{n=0}^{\infty} (-1)^n \frac{z^{2n}}{(2n)!} \right)' \\ &= - \sum_{n=1}^{\infty} (-1)^{n-1} \frac{z^{2n-1}}{(2n-1)!} \\ &\stackrel{k=n-1}{=} \sum_{n=k+12n=2k+2}^{\infty} (-1)^k \frac{z^{2k+1}}{(2k+1)!} \\ &= -\sin z, \quad \text{für } z \in \mathbb{C} \end{aligned}$$

3.) Genauso für  $(\sin z)' = \cos z$ . ■

1.38 **Definition** Sei  $O \subseteq \mathbb{C}$  offen,  $\gamma_1, \gamma_2 \in C^1([0,1] \rightarrow O)$ . Dann heißen  $\gamma_1, \gamma_2$   $C^1$ -homotop in  $O$ , falls es eine Abbildung  $\Phi \in C^1([0,1] \times [0,1] \rightarrow O)$  gibt, sodass

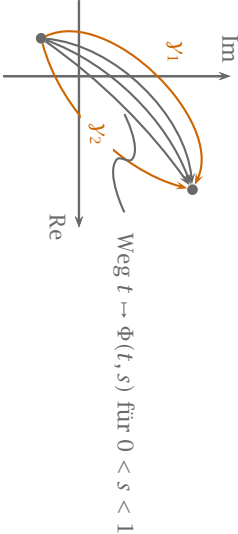
$$\Phi(\cdot, 0) = \gamma_1, \quad \Phi(\cdot, 1) = \gamma_2$$

und eine der folgenden Bedingungen

- i.)  $\Phi(0, s) = \gamma_1(0), \Phi(1, s) = \gamma_1(1)$  für  $0 \leq s \leq 1$ . Insbesondere folgt daraus, dass  $\gamma_1(0) = \gamma_2(0)$  und  $\gamma_1(1) = \gamma_2(1)$ . Die Kurven stimmen also in den Anfangs- und Endpunkten überein.
- ii.)  $\Phi(0, s) = \Phi(1, s)$  für  $0 \leq s \leq 1$ .  $\gamma_1$  und  $\gamma_2$  sind also geschlossen, ebenso die Wege  $\beta_s := \Phi(\cdot, s)$ .

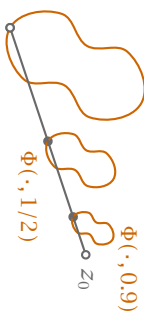
Wir schreiben  $\gamma_1 \sim \gamma_2$  ( $\sim$  ist eine Äquivalenzrelation).  $\Phi$  heißt Homotopie zwischen  $\gamma_1$  und  $\gamma_2$ . Ein geschlossener Weg  $\gamma$  heißt **nullhomotop**, falls  $\gamma$  homotop zu einem konstanten Weg ist.

- 1.39 **Beispiel** 1.) a.)  $O = \mathbb{C}$ . Sind  $y_1, y_2 \in C^1([0,1] \rightarrow \mathbb{C})$  mit  $y_1(0) = y_2(0)$  und  $y_1(1) = y_2(1)$ , dann gilt  $y_1 \sim y_2$ :
- $$\Phi(t,s) := y_1(t) + s \underbrace{(y_2(t) - y_1(t))}_{=0 \text{ für } t=0, t=1}$$



- b.) Jeder geschlossene Weg  $y \in C^1([0,1] \rightarrow \mathbb{C})$  ist in  $O \subseteq \mathbb{C}$  nullhomotop: Sei  $y_2(t) := z_0 \in \mathbb{C}$  fest.

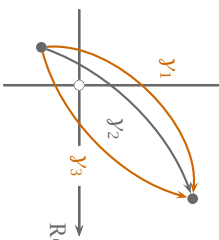
$$\Phi(t,s) := y(t) + s(z_0 - y(t))$$



- 2.)  $O = \mathbb{C} \setminus \{0\}$   
a.)

Im

Re



Offensichtlich:  $y_1 \sim y_2$ , aber nicht  $y_1 \sim y_3$  und auch nicht  $y_2 \sim y_3$ , weil wir über die 0 hinüber müssten.

Anschaulich: Zwei Wege sind homotop, wenn »dazwischen« nur Elemente aus  $O$  liegen.

# 3 GEWÖHNLICHE DIFFERENTIALGLEICHUNGEN

## 3.1 Funktionalanalysis

- 1.1 **Definition** Sei  $(B, +, \cdot)$  ein linearer Raum (d.h. ein Vektorraum) und  $\|\cdot\| : B \rightarrow \mathbb{R}$  eine Norm (d.h.  $\|u\| \geq 0$ ,  $\|u\| = 0 \iff u = 0$ ,  $\|u+v\| \leq \|u\| + \|v\|$  und  $\|\alpha u\| = |\alpha| \|u\|$ ). Ist  $B$  vollständig, d.h. jede Cauchy-Folge  $(a_k)_{k \in \mathbb{N}} \in B$  konvergiert gegen einen Grenzwert in  $B$ , so nennt man  $B$  mit der Norm  $\|\cdot\|$  Banachraum.  $\times$

- 1.2 **Beispiel** 1.) Die komplexen Zahlen mit der  $p$ -Norm

$$B := \mathbb{C}^n, \quad \|u\| := (\|u_1\|^p + \dots + \|u_n\|^p)^{\frac{1}{p}} \quad 1 \leq p < \infty$$

- 2.) Sei  $B = C([a,b] \rightarrow \mathbb{C})$  mit der Norm

$$\|f\|_\infty = \max_{a \leq x \leq b} |f(x)|$$

z.B.  $\|f\|_2^2 = \int_a^b |f(x)|^2 dx$ , dann ist  $B$  kein Banach-Raum (Der Raum ist zwar normiert, aber nicht vollständig; ohne Beispiel).

- 3.) Definiere

$$L^p(I) := \left\{ f : I \rightarrow \mathbb{C} : f \text{ messbar} \wedge \int_I |f|^p d\mu < \infty \right\}$$

für ein Intervall  $I \subset \mathbb{R}$ . Dann bildet  $L^p(I)$  mit der Norm

$$\|f\|_p := \left( \int_I |f|^p d\mu \right)^{\frac{1}{p}}$$

(Identifiziere  $f, \tilde{f}$ , falls  $\int_I |f - \tilde{f}| d\mu = 0$ ) einen Banachraum.  $\blacktriangleleft$

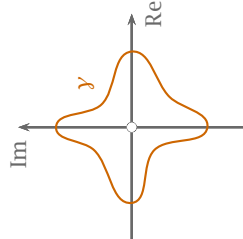
- 1.3 **Satz: Banachscher Fixpunktsatz** Sei  $B$  ein Banachraum,  $\emptyset \neq D \subset B$  mit  $D$  abgeschlossen und  $F : D \rightarrow B$  eine Kontraktion, d.h.

$$\exists q \in [0,1] \forall x, y \in D : \|F(x) - F(y)\| \leq q \|x - y\|$$

mit  $F(D) \subset D$ . Dann gilt

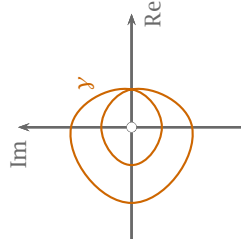
- 1.) Es existiert  $x \in D$  mit  $F(x) = x$ , d.h. die Abbildung  $F$  hat genau einen Fixpunkt  $x \in D$ .

b.)



$\gamma$  ist nicht nullhomotop, aber  $\gamma \sim \tilde{\gamma} : t \mapsto e^{i\pi t}, 0 \leq t \leq 1$

c.)



►

$\gamma \sim \tilde{\gamma} : t \mapsto e^{i4\pi t}, 0 \leq t \leq 1$ . Zweimal durchlaufener Kreis.

## 1.2 Holomorphie und Analytizität

2.1 **Vereinbarung** Zu  $f : O \rightarrow \mathbb{C}$  setzen wir

$$\begin{aligned}\tilde{O} &:= \{(x, y) \in \mathbb{R}^2 : x + iy \in O\}, \\ \begin{pmatrix} u \\ v \end{pmatrix} : \tilde{O} &\rightarrow \mathbb{R}^2 : (x, y) \mapsto \begin{pmatrix} u(x, y) \\ v(x, y) \end{pmatrix} := \begin{pmatrix} \operatorname{Re} f(x + iy) \\ \operatorname{Im} f(x + iy) \end{pmatrix}.\end{aligned}$$

$f$  wird interpretiert als Abbildung von  $\mathbb{R}^2$  nach  $\mathbb{R}^2$ .

☒

2.2 **Satz**  $O \subseteq \mathbb{C}$  offen,  $f : O \rightarrow \mathbb{C}$ . Dann sind äquivalent:

- i.)  $f$  ist differenzierbar (in  $O$ ).
- ii.)  $f$  stetig (in  $O$ ) und für alle Wege  $\gamma_1, \gamma_2 \in C^1([0, 1] \rightarrow O)$  gilt

$$\gamma_1 \sim \gamma_2 \implies \int_{\gamma_1} f(z) dz = \int_{\gamma_2} f(z) dz.$$

iii.)  $f$  stetig und für alle  $y \in C^1([0,1] \rightarrow O)$  gilt

$$y \text{ nullhomotop} \Rightarrow \int_y f(z) dz = 0.$$

iv.) Für jedes  $z_0 \in O$  existiert  $R > 0$ ,  $(a_n)$  Folge in  $\mathbb{C}$ , sodass

$$f(z) = \sum_{n=0}^{\infty} a_n (z - z_0)^n, \quad \text{für } |z - z_0| < R.$$

v.)  $f$  ist in  $O$  beliebig oft differenzierbar.

vi.)  $u, v \in C^1(\tilde{O} \rightarrow \mathbb{R})$  und  $u, v$  erfüllen die Cauchy-Riemannschen Differentialgleichungen:

$$u_x = v_y \quad \text{und} \quad u_y = -v_x, \quad \text{in } \tilde{O}.$$

✉

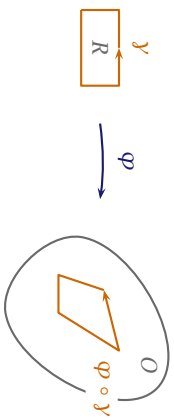
2.3 Definition Sei  $O \subseteq \mathbb{C}$  offen,  $f : O \rightarrow \mathbb{C}$ . Erfüllt  $f$  eine (und damit alle) Bedingungen aus

2.2., so heißt  $f$  holomorph (dies betont die beliebige Differenzierbarkeit) oder analytisch (dies bedeutet iv.).

✉

2.4 Cauchy'scher Integralsatz für die Bilder von Rechtecken Sei  $O \subseteq \mathbb{C}$  offen,  $f : O \rightarrow \mathbb{C}$  differenzierbar,  $R := [a, b] \times [c, d]$ ,  $\varphi \in C^1(R \rightarrow O)$ ,  $y$  die geschlossene Randkurve von  $R$  (stückweise  $C^1$ ). Dann

$$\int_{\varphi \circ y} f(z) dz = 0.$$



Beweis 1.)  $\varphi \in C^1(R \rightarrow O) \Rightarrow \varphi \circ y$  ist stückweise  $C^1$ , also ein Weg in  $O$ .

2.) Da  $R$  kompakt und  $\partial_1 \varphi$  und  $\partial_2 \varphi$  stetig auf  $R$ :

$$|\nabla \varphi| = \left| \begin{pmatrix} \partial_1 \varphi \\ \partial_2 \varphi \end{pmatrix} \right| \leq c \quad (\leq \infty) \quad \text{auf } R.$$

3.) Konstruiere eine Folge  $(R_n)$  von Rechtecken mit Randkurven  $y_n$ :

$$R_0 := R, \quad y_0 = y.$$

Integriere jetzt partiell und beachte:  $(\psi_j a) \circ \varphi = 0$  für  $y_l = \pm \sqrt{1 - |y^{(l)}|^2}$

$$\text{supp } \psi_j \leq U_j. \text{ Außerdem } \sum_{l=1}^{k+1} (-1)^{l+1} \partial y_l (\det(\dots)) = 0 \text{ (Nachrechnen).}$$

$$= \int_0^0 \int_{U_j} \psi_j \omega^{\tilde{U}_j = \tilde{\phi}_j(K_1^{(k)}(0))} (-1)^{i+1} \int_{y^{(i)} \in K_1^{(k)}(0)} (\psi_j a) \circ \phi_j(0, y^{(1)}) \det(\frac{\partial y^{(l)}}{\partial y^{(1)}}) dy^{(1)} \blacksquare$$

8.8 Bemerkung: 1.) Im Fall  $k = 0$ ,  $\omega = a(x), S = \phi([\alpha, \beta]), \partial S = \{\phi(\alpha), \phi(\beta)\}$ . Nach 8.4:

2.) Satz von Stokes gilt auch für  $S = \underline{O}$ , d.h.  $S \subset O$  nicht notwendig.

3.) Folgerungen

a.) Der Satz von Gauß-Ostrogradski: Sei  $f \in C^1(O \rightarrow \mathbb{R}^n)$ .

$$\int_S \nabla \cdot f dV^{(n)} = \int_{\partial S} \langle f, n_0 \rangle dV^{(n-1)}$$

Setze dazu  $\omega := \sum_{j=1}^n (f_j dx_1 \wedge \dots \wedge dx_{j-1} \wedge dx_{j+1} \wedge \dots \wedge dx_n)$

b.) Klassischer Satz von Stokes: Sei  $S \subset \mathbb{R}^3$  eine Mannigfaltigkeit der Dimension 2 und  $f \in C^1(S \rightarrow \mathbb{R}^3)$ , dann gilt

$$\int_S (\nabla \times f) dV^{(2)} = \int_{\partial S} \langle f, t_0 \rangle dV^{(1)}$$

Setze dazu  $\omega := f_1 dx_1 + f_2 dx_2 + f_3 dx_3$ .

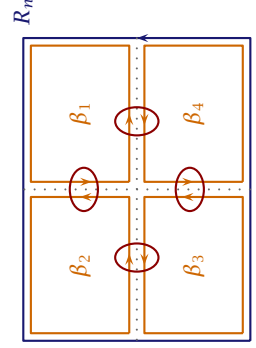
✉

2.) Lokalisierung: Sei  $A(S)$  orientierter Atlas, sortiert wie in 8.6.

Teile  $R_n$  durch Seitenhalbierung in vier Rechtecke. Wähle als  $R_{n+1}$  dasjenige der vier, für das

$$\int_S d\omega = \sum_{j=1}^N \int_{U_j} \psi_j d\omega$$

am größten ist.



$$= \sum_{j=1}^N \int_{U_j} d(\psi_j \omega)$$

Wir zeigen jetzt

$$\int_{U_j} d(\psi_j \omega) = \begin{cases} \int_{\tilde{U}_j \cap \partial S} \psi_j \omega & 1 \leq j \leq L \\ 0 & L+1 \leq j \leq N \end{cases}$$

Dann gilt, da  $\{\psi_1, \dots, \psi_L\}$  eine Zerlegung der Eins ist für  $\partial S$  mit Altas  $\{(\tilde{\phi}_j, \tilde{U}_j), 1 \leq j \leq L\}$

$$\int_S d\omega = \sum_{j=1}^L \int_{\tilde{U}_j} \psi_j \omega = \int_{\partial S} \omega$$

3.) Sei  $j = \{1, \dots, N\}$  fest,  $\phi_j = (\varrho_1, \dots, \varrho_n)$ ,  $D = K_1^{(k+1)}(0)$  falls  $1 \leq j \leq L$ ,  $D = K_1^{(k+1)}(0)$  sonst. Also

$$\int_{U_j} d(\psi_j \omega) = \sum_{i=1}^n \int_{y \in D} \partial_{x_i}(\psi_j a)(\phi_j(y)) \det\left(\frac{\partial(g_{ij}, g_{il})}{\partial y}\right) dy$$

Entwickeln der Determinante nach der ersten Zeile ergibt

$$\begin{aligned} &= \sum_{i=1}^{k+1} \sum_{l=1}^{k+1} (-1)^{l+1} \int_{y \in D} \partial_{x_i}((\psi_j a) \circ \phi_j)(y) \det(\dots) dy \\ &= \sum_{l=1}^{k+1} (-1)^{l+1} \int_{y \in D} \partial_{y_l}((\psi_j a) \circ \phi_j)(y) \det(\dots) dy \\ &= \sum_{l=1}^{k+1} (-1)^{l+1} \int_{y^{(l)} \in K_1^{(k)}} \int_{y^{(l)} = -\sqrt{1-|y^{(l)}|^2}}^{y^{(l)} = \sqrt{1-|y^{(l)}|^2}} \dots dy_l dy^{(l)} \end{aligned}$$

4.) Sei  $x_n$  der Mittelpunkt von  $R_n$ , dann gilt

$$\forall x \in R_n : |x - x_n| < L(y_n) \leq \frac{1}{2^n} L(y_0).$$

Für  $m \geq n$  folgt dann

$$|x_m - x_n| < \frac{1}{2^n} L(y_0), \quad \text{da } R_m \subseteq R_n.$$

Also ist  $(x_n)$  Cauchy:  $x_m \rightarrow y \in R_0$ .

Für  $m \geq n$  gilt  $x_m \in R_n$ , daraus folgt

$$|x_n - y| \leq \frac{1}{2^n} L(y_0).$$

5.) Aus  $x_n \rightarrow y' \in R_0$  folgt mit der Stetigkeit von  $\varphi$

$$\varphi(x_n) - \varphi(y') =: z_0 \in O$$

Sei nun  $z = \varphi(x)$  mit  $x \in R^n$ , dann folgt

$$|\operatorname{Re}(z - z_0)| = |\operatorname{Re}\varphi(x) - \operatorname{Re}\varphi(y')|$$

und mit dem Mittelwertsatz

$$\begin{aligned} &= |\nabla(\operatorname{Re}\varphi)(\xi)(x - y')| \\ &\leq c|x - y'| \leq c \frac{1}{2^n} L(y_0). \end{aligned}$$

Genauso für  $\operatorname{Im} z$

$$|z - z_0| \leq \sqrt{2}c \frac{1}{2^n} L(y_0).$$

6.) Sei  $\varepsilon > 0$  vorgegeben.

$$f(z) = f(z_0) + f'(z_0)(z - z_0) + r(z, z_0)$$

mit

$$\frac{|r(z, z_0)|}{|z - z_0|} < \varepsilon \quad \text{für } |z - z_0| < \delta$$

Für  $n \geq N_\delta$  und gilt

$$|z - z_0| < \delta \quad \forall z \in \varphi(R_n)$$

Bemerkung:  $|z_n - z_0| < \frac{\delta}{2}$  für  $n \geq N_\delta$

$$|z - z_n| = |\varphi(y) - \varphi(x_n)| \stackrel{5}{\leq} c|y - x_n| \stackrel{4}{<} \frac{\delta}{2} \quad \text{für } n > N_\delta$$

und somit

$$|r(z, z_0)| < \varepsilon|z - z_0| \stackrel{5}{\leq} \sqrt{2}c \frac{\varepsilon}{2^n} L(y_0), \quad z, z_0 \in \varphi(R_n)$$

dies gilt offensichtlich nach Definition, denn

$$d(dx_j) = d(1 \cdot dx_j) \stackrel{\text{Def.}}{=} \sum_{i=1}^n (\delta_{x_i} 1) dx_i \wedge dx_j$$

Nochmaliges Anwenden der Produktregel unter Betrachtung von Fall a) und Vorherigen führt zu:

$$d^2\omega = \underbrace{\overbrace{d^2a_j}^{=0 \text{ fall a)}} \wedge dx_j + (-1)^j da_j \wedge \underbrace{d^2x_j}_{=0 \text{ fall a)}} = 0 \quad \blacksquare$$

8.6 Definition Sei  $S$   $k$ -dimensionale  $C^1$ -Mannigfaltigkeit ( $k \geq 2$ ) mit Rand und orientiertem Atlas  $A(S) = \{(\phi_1, U_1), \dots, (\phi_N, U_N)\}$ . Im Unterschied zu 4.4 sollen als Definitionsbereiche für die  $\phi_j$  zugelassen sein:  $K_1^{(k)}(0)$  oder  $K_1^{(k)-}(0) := \{y \in K_1^{(k)}(0) : y_1 \leq 0\}$ . Sei  $A(S)$  so sortiert, dass  $\phi_1, \dots, \phi_L$  auf  $K_1^{(k-1)}(0)$  definiert sind und  $\phi_{L+1}, \dots, \phi_N$  auf  $K_1^{(k)}(0)$ . Dann ist

$$A(\delta S) := \{(\tilde{\phi}_1, \tilde{U}_1), \dots, (\tilde{\phi}_L, \tilde{U}_L)\}$$

mit  $\tilde{\phi}_j(Y_1, \dots, Y_{n-1}) := \phi_j(0, \phi_1, \dots, \phi_{j-1})$  und  $\tilde{U}_j := U_j \cap \delta S = \tilde{\phi}_j(K_1^{(k-1)}(0))$  ein orientierter Atlas von  $\delta S$ . Die so definierte Orientierung heißt **verträglich** zur Orientierung von  $S$ . Ist  $\{\psi_1, \dots, \psi_N\}$  Zerlegung der Eins passend zu  $A(S)$ , so  $\{\psi_1, \dots, \psi_L\}$  Zerlegung der Eins zu  $A(\delta S)$  und es gilt  $\int_{\delta S} \omega = \sum_{j=1}^L \int_{\tilde{U}_j} \psi_j \cdot \omega$  für jede  $(k-1)$ -Form  $\omega$ .  $\times$

8.7 Satz von Stokes Sei  $O \subset \mathbb{R}^n$  offen,  $k \in \{0, \dots, n-1\}$ ,  $\omega$  eine  $k$ -Form der Klasse  $C^1$  in  $O$ ,  $S \subset O$  kompakte orientierte  $C^2$ -Mannigfaltigkeit der Dimension  $k+1$ . Dann gilt:

$$\int_{\delta S} \omega = \int_S d\omega$$

falls  $S, \delta S$  verträglich orientiert wird.

**BEWEIS** 1.) Es gelte o.B.d.A

$\times$

$$\omega = a(x) dx_j \quad J \in \mathcal{G}^{(k)}$$

- 2.) Sei  $\omega_1$  eine  $k$ -Form und  $\omega_2$  eine  $l$ -Form, jeweils der Klasse  $C^1$ . Dann gilt die Produktrule:
- $$d(\omega_1 \wedge \omega_2) = d\omega_1 \wedge \omega_2 + (-1)^k \omega_1 \wedge d\omega_2$$

3.) Ist  $\omega$  von der Klasse  $C^2$ , so gilt die Poincare-Identität:

$$d^2\omega = d(d\omega) = 0$$

**BEWEIS** 1.) Nachrechnen

- 2.) Sei  $\omega_1 = a(x)dx_I$ ,  $\omega_2 = b(x)dx_J$ , also  $\omega_1 \wedge \omega_2 = (a(x)b(x))dx_I \wedge dx_J$ , mit  $I \in \mathcal{G}^{(k)}$  und  $J \in \mathcal{G}^{(l)}$ .

3.) Daraus folgt:

$$\begin{aligned} d(\omega_1 \wedge \omega_2) &= d(a(x)b(x)) \wedge dx_J \wedge dx_I \\ &= \sum_{i=1}^n (\delta_{x_i}(a \cdot b)) dx_i \wedge dx_J \wedge dx_I \wedge d_J \\ &= b \sum_{i=1}^n (\delta_{x_i} a) dx_i \wedge dx_J \wedge dx_J + a \sum_{i=1}^n (\delta_{x_i} b) \underbrace{dx_i \wedge dx_J}_{=(-1)^k dx_J \wedge dx_i} \wedge dx_J \\ &\stackrel{\text{Def./i-Punkt}}{=} (\sum_{i=1}^n (\delta_{x_i} b) dx_i \wedge dx_J) \wedge b dx_J + (-1)^k a dx_J \wedge (\sum_{i=1}^n (\delta_{x_i} b) dx_i \wedge dx_J) \\ &= d\omega_1 \wedge \omega_2 + (-1)^k \omega_1 \wedge d\omega_2 \end{aligned}$$

- 4.) a.) Fall:  $\omega = f \in C^2(O \rightarrow \mathbb{R})$  ist  $O$ -Form. Dann folgt  $d\omega = \sum_{i=1}^n (\delta_{x_i} f) dx_i$

$$\begin{aligned} d(d\omega) &= \sum_{i=1}^n (\delta_{x_i} (\delta_{x_i} f)) \wedge dx_i \\ &= \sum_{i=1}^n \sum_{j=1}^n \underbrace{\delta_{x_j} (\delta_{x_i} f)}_{=\delta_{x_i} (\delta_{x_j} f)} dx_j \wedge dx_i = 0 \end{aligned}$$

Hierbei kommt jeder Summand ein Mal mit plus und ein Mal mit minus vor.  
Beachte, dass

$$dx_j \wedge dx_i = \begin{cases} 0 & \text{falls } i = j \\ -dx_i \wedge dx_j & \text{falls } i \neq j \end{cases}$$

- b.) Fall: O.B.d.A.  $\omega = a_J dx_J, J \in G^{(k)}$   $\Rightarrow \omega = a_j \wedge dx_j$  dann folgt mit der Produktregel

$$d\omega = da_J \wedge dx_J + (-1)^0 a_J \underbrace{d(dx_J)}_{=0}$$

7.)

$$\begin{aligned} \left| \int_{\varphi \circ \gamma_n} f(z) dz \right| &\leq \underbrace{\left| \int_{\varphi \circ \gamma_n} (f(z_0) + f'(z_0)(z - z_0)) dz \right|}_{\substack{\text{Besitzt Stammfunktion} \\ =0 \text{ da } \varphi \circ \gamma_n \text{ geschlossen}}} + \left| \int_{\varphi \circ \gamma_n} r(z, z_0) dz \right| \\ &\leq L(\varphi \circ \gamma_n) \max_{z \in \text{Bild}(\varphi \circ \gamma_n)} |r(z, z_0)| \\ &\leq \int |\varphi'(\gamma_n(t))| |\gamma'_n(t)| dt \max_{z \in \text{Bild}(\varphi \circ \gamma_n)} |r(z, z_0)| \\ &\leq c \cdot L(\gamma_n) \max_{z \in \text{Bild}(\varphi \circ \gamma_n)} |r(z, z_0)| \\ &\leq \frac{c}{2^n} L(\gamma_0) \max_{z \in \text{Bild}(\varphi \circ \gamma_n)} |r(z, z_0)| \\ &\stackrel{6.}{\leq} \frac{c}{2^n} L(\gamma_0) \frac{\varepsilon}{2^n} L(\gamma_0) \\ &\Rightarrow \left| \int_{\varphi \circ \gamma_0} f(z) dz \right| \leq 4^n \left| \int_{\varphi \circ \gamma_n} f(z) dz \right| \leq c \varepsilon L(\gamma_0)^2 \quad \text{für jedes } \varepsilon > 0 \\ &\Rightarrow \int_{\varphi \circ \gamma_0} f(z) dz = 0 \end{aligned}$$

2.5 Folgerung Sei  $O \subseteq \mathbb{C}$  offen,  $f : O \rightarrow \mathbb{C}$  differenzierbar,  $\gamma_1 \sim \gamma_2$  in  $O$ . Dann

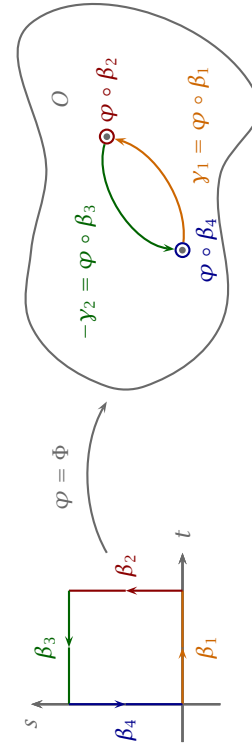
$$\int_{\gamma_1} f(z) dz = \int_{\gamma_2} f(z) dz$$

**BEWEIS** Sei  $\Phi$  die Homotopie, insbesondere

$$\begin{aligned} \Phi(t, 0) &= \gamma_1(t), \quad \Phi(t, 1) = \gamma_2(t) \\ \Phi \in C^1([0, 1] \times [0, 1] \rightarrow O) \end{aligned}$$

Setze zur Anwendung von 2.4 R :=  $[0, 1] \times [0, 1]$ ,  $\varphi := \Phi$ .

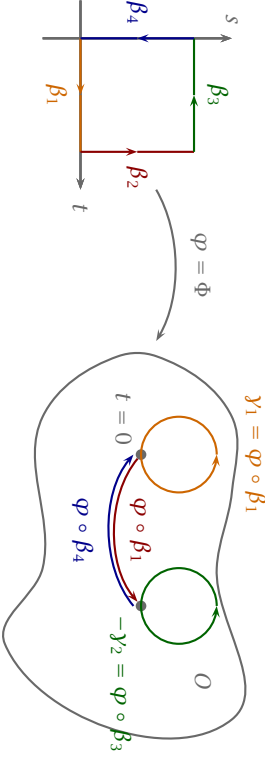
Fall 1:  $\Phi(0, 1) = \Phi(0, 0)$  für  $0 \leq s \leq 1$  und  $\Phi(1, s) = \Phi(1, 0)$



$$\stackrel{2.4}{\Rightarrow} \int_{\varphi \circ \beta_1 = y_1} f(z) dz + \underbrace{\int_{\varphi \circ \beta_2} f(z) dz}_{=0, \text{ da } \varphi \circ \beta_2 = \text{const.}} + \underbrace{\int_{\varphi \circ \beta_3 = -y_2} f(z) dz}_{= - \int_{y_2} f(z) dz} + \underbrace{\int_{\varphi \circ \beta_4} f(z) dz}_{=0, \text{ da } \varphi \circ \beta_4 = \text{const.}} = 0$$

$$\Rightarrow \int_{y_1} f(z) dz = \int_{y_2} f(z) dz$$

**Fall 2:**  $\Phi(0, s) = \Phi(1, s)$  für  $0 \leq s \leq t$



$$\stackrel{2.4}{=} \int_{\varphi \circ \beta_1 = y_1} f(z) dz + \int_{\varphi \circ \beta_2} f(z) dz + \underbrace{\int_{\varphi \circ \beta_3 = -y_2} f(z) dz}_{= - \int_{y_2} f(z) dz} + \int_{\varphi \circ \beta_4 = -\varphi \circ \beta_2} f(z) dz = 0$$

$$\Rightarrow \int_{y_1} f(z) dz = \int_{y_2} f(z) dz$$

**TEILBEWEIS 2.2** i.  $\Rightarrow$  ii.:  $f$  differenzierbar  $\Rightarrow f$  stetig, benutze 2.5

ii.  $\Rightarrow$  iii.:  $\gamma$  nullhomotop  $\Rightarrow \gamma \sim \tilde{\gamma}$ , da  $\tilde{\gamma} = \text{const.}$  und aus 2.5 folgt

$$\int_y f(z) dz = \int_{\tilde{\gamma}} f(z) dz = 0, \quad \text{da } \tilde{\gamma} = \text{const.} \quad (\text{Integral über Punkt ist } 0) \quad \blacksquare$$

also

$$\begin{aligned} d\omega &= V_1 dx_2 \wedge dx_3 + V_2 dx_3 \wedge dx_1 + V_3 dx_1 \wedge dx_2 \\ &= V_1 dx_2 \wedge dx_3 - V_2 dx_3 \wedge dx_1 - V_3 dx_1 \wedge dx_2 \\ &= (\partial_{x_1} V_1 + \partial_{x_2} V_2 + \partial_{x_3} V_3) dx_1 \wedge dx_2 \wedge dx_3 \\ &\stackrel{= \text{div } V}{=} \text{div } V \end{aligned}$$

**Cauchy-Integralformel für die Kreisscheibe** Kreisscheibe: Sei  $O \subseteq \mathbb{C}$  offen,  $f: O \rightarrow \mathbb{C}$  differenzierbar,  $z_0 \in O$ ,  $r > 0$  mit  $\overline{K_r(z_0)} \subseteq O$ . Dann gilt

$$f(w) = \frac{1}{2\pi i} \int_{|z-z_0|=r} \frac{f(z)}{z-w} dz, \quad \text{für } |w-z_0| < r$$

Vereinbarung: Das Integral ist zu verstehen längs der Kurve  $\gamma: [0, 1] \rightarrow O: t \mapsto z_0 + r e^{i2\pi t}$ .

Insbesondere: Ist  $f(z)$  auf dem Kreisrand bekannt, dann auch im Kreismittelpunkt.

**8.4 ▶ Beispiel 1)** Sei  $O := \mathbb{R}^n$ ,  $\omega = f \in C^1(\mathbb{R}^n \rightarrow \mathbb{R})$ , dann ist

$$d\omega = \sum_{i=1}^n (\partial_{x_i} f) dx_i$$

Sei  $S = \phi([a, b])$  eine 1-dimensionale  $C^1$ -Mannigfaltigkeit (vergleiche 6.7), dann ist

$$d\omega(S) = \int_{y \in [a, b]} \left( \sum_{i=1}^n (\partial_{x_i} f)(\phi(y)) \det \left( \frac{\partial \phi}{\partial y} \right) \right) dy$$

$$= f(\phi(b)) - f(\phi(a))$$

und für den Rand, also der 0-dimensionalen Mannigfaltigkeit  $\tilde{S} = \{\phi(a), \phi(b)\}$

$$\omega(\tilde{S}) = f(\phi(a)) + f(\phi(b))$$

2.) Sei  $O := \mathbb{R}^3$ ,  $V \in C^1(\mathbb{R}^3 \rightarrow \mathbb{R}^3)$  und

$$\begin{aligned} \omega &= V_1 dx_2 \wedge dx_3 + V_2 dx_3 \wedge dx_1 + V_3 dx_1 \wedge dx_2 \\ &= V_1 dx_2 \wedge dx_3 - V_2 dx_3 \wedge dx_1 - V_3 dx_1 \wedge dx_2 \end{aligned}$$

Aus 7.5 wissen wir

$$\omega(S) = \int_S \langle V, n_0 \rangle dV^{(2)}$$

$$\Rightarrow \int_{y_1} f(z) dz = \int_{y_2} f(z) dz$$

also

$$\begin{aligned} d\omega &= dV_1 \wedge dx_2 \wedge dx_3 - V_2 \wedge dx_1 \wedge dx_3 + dV_3 \wedge dx_1 \wedge dx_2 \\ &= (\partial_{x_1} V_1) dx_1 \wedge dx_2 \wedge dx_3 - (\partial_{x_2} V_2) dx_2 \wedge dx_1 \wedge dx_3 + (\partial_{x_3} V_3) dx_3 \wedge dx_1 \wedge dx_2 \\ &= (\partial_{x_1} V_1 + \partial_{x_2} V_2 + \partial_{x_3} V_3) dx_1 \wedge dx_2 \wedge dx_3 \\ &\stackrel{= \text{div } V}{=} \text{div } V \end{aligned}$$

Für eine 3-dimensionale, kompakte, orientierte Mannigfaltigkeit  $S = \overline{\phi(K_1^{(3)}(0))}$

$$\begin{aligned} d\omega(S) &= \int_S d\omega = \int_{K_1^{(3)}(0)} \text{div } V(\phi(y)) \det \left( \frac{\partial \phi}{\partial y} \right) dy \\ &= \pm \int_{S = \phi(K_1^{(3)}(0))} \text{div } V(x) dx \end{aligned}$$

◀

8.5 Satz 1.)

$$d(\omega_1 + \omega_2) = d\omega_1 + d\omega_2$$

$$d(c\omega) = c d\omega$$

## 2.8 Rechnen mit Differentialformen

**BEWEIS**  $\gamma_\varepsilon(t) := w + \varepsilon e^{2\pi i t}, 0 \leq t \leq 1$

**8.1 Multiplikation** 1.) Sind  $k, l \geq 1$  und  $k + l \leq n$  und

$$\omega_1 = \sum_{I \in \mathcal{G}^{(k)}} a_I dx_I, \quad \omega_2 = \sum_{J \in \mathcal{G}^{(l)}} b_J dx_J$$

so ist

$$\omega_1 \wedge \omega_2 := \sum_{I \in \mathcal{G}^{(k)}} \sum_{J \in \mathcal{G}^{(l)}} (a_I b_J) \underbrace{dx_I \wedge dx_J}_{dx_{i_1} \wedge \dots \wedge dx_{i_k} \wedge dx_{j_1} \wedge dx_{j_l}}$$

eine  $k + l$ -Form, das **Produkt** von  $\omega_1$  und  $\omega_2$ .

2.) Im Fall  $k = 0$ ,  $\omega_1 = f$  definieren wir

$$\omega_1 \wedge \omega_2 := \sum_{J \in \mathcal{G}^{(l)}} (f \cdot b_J) dx_J$$

☒

**8.2 Satz** Es gelten Distributiv- und Assoziativgesetz:

$$(\omega_1 + \omega_2) \wedge \omega_3 = \omega_1 \wedge \omega_3 + \omega_2 \wedge \omega_3$$

$$\omega_1 \wedge (\omega_2 + \omega_3) = \omega_1 \wedge \omega_2 + \omega_1 \wedge \omega_3$$

$$\omega_1 \wedge (\omega_2 + \omega_3) = (\omega_1 \wedge \omega_2) \wedge \omega_3$$

☒

**8.3 Differentiation** 1.) Falls  $\omega = f$  eine 0-Form der Klasse  $C^1$  in  $O \cap Y$  ist, dann heißt die

1-Form

$$d\omega := df := \sum_{i=1}^n (\partial_{x_i} f) dx_i$$

heißt **Ableitung** von  $\omega$ .

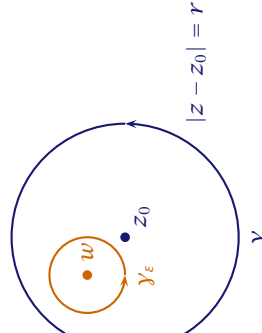
2.) Falls  $k \geq 1$  und  $\omega = \sum_{J \in \mathcal{G}^{(k)}} a_J dx_J$  eine  $k$ -Form der Klasse  $C^1$  ist, heißt die  $(k+1)$ -Form

$$\begin{aligned} d\omega &= \sum_{J \in \mathcal{G}^{(k)}} da_J \wedge dx_J \\ &= \sum_{J \in \mathcal{G}^{(k)}} \sum_{i=1}^n (\partial_{x_i} a_J) dx_i \wedge dx_J \end{aligned}$$

heißt **Ableitung** von  $\omega$ .

Insbesondere ist also für eine  $k$ -Form  $\omega$  der Klasse  $C^m$  die Ableitung d $\omega$  eine  $(k+1)$ -Form der Klasse  $C^{m-1}$ .

Weierstraß  
Reihe gleichmäßig konvergent bezüglich  $z$



Offensichtlich:  $y \sim y_\varepsilon$  in  $O \setminus \{w\}$  und  $f(z)/(z-w)$  ist differenzierbar in  $O \setminus \{w\}$ .

$$\begin{aligned} 2.4 \quad \int_{|z-z_0|=r} \frac{f(z)}{z-w} dz &= \int_{y_\varepsilon} \frac{f(z)}{z-w} dz \\ &= \int_{y_\varepsilon} \underbrace{\frac{f(z)-f(w)}{z-w} dz}_{\substack{|z| \leq c, \text{ weil diffbar} \\ |\cdot| \leq c, L(y_\varepsilon) = c/2\pi\varepsilon \rightarrow 0 \text{ für } \varepsilon \downarrow 0}} + f(w) \int_{y_\varepsilon} \frac{1}{z-w} dz \\ &\stackrel{\varepsilon \downarrow 0}{\Rightarrow} \int_{|z-z_0|=r} \frac{f(z)}{z-w} dz = 2\pi i f(w) \end{aligned}$$

**2.7 Potenzreihenentwicklungsatz** Sei  $O \subseteq \mathbb{C}$  offen,  $f : O \rightarrow \mathbb{C}$  differenzierbar,  $z_0 \in O$ ,  $\overline{K_r(z_0)} \subseteq O$ . Dann gibt es eine Folge  $(a_n) \in \mathbb{C}$  mit

$$f(z) = \sum_{n=0}^{\infty} a_n (z - z_0)^n, \quad \text{für } |z - z_0| < r$$

**BEWEIS** Sei  $w \in K_r(z_0)$

$$\begin{aligned} f(w) &\stackrel{2.6}{=} \frac{1}{2\pi i} \int_{|z-z_0|=r} \frac{f(z)}{z-w} dz \\ &= \frac{1}{2\pi i} \int_{|z-z_0|=r} f(z) \frac{1}{z-z_0-(w-z_0)} dz \\ &= \frac{1}{2\pi i} \int_{|z-z_0|=r} f(z) \frac{1}{z-z_0} \frac{1}{1-\frac{w-z_0}{z-z_0}} dz \\ &= \frac{1}{2\pi i} \int_{|z-z_0|=r} f(z) \frac{1}{z-z_0} \sum_{n=0}^{\infty} \left( \frac{w-z_0}{z-z_0} \right)^n dz \end{aligned}$$

**Bemerkung:** Die geometrische Reihe konvergiert, weil  $\left| \frac{w-z_0}{z-z_0} \right| = \frac{|w-z_0|}{|z-z_0|} < 1$ .

$$\sum_{n=0}^{\infty} \left( \frac{|w-z_0|}{r} \right)^n$$

Weierstraß  
Reihe gleichmäßig konvergent bezüglich  $z$

Reihe und Integral vertauschen

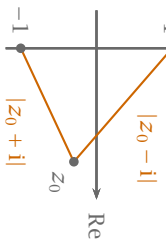
$$= \sum_{n=0}^{\infty} \frac{1}{2\pi i} \int_{|z-z_0|=r} \frac{f(z)}{(z-z_0)^{n+1}} dz (w-z_0)^n$$

$$\begin{aligned} a_{i_0}(x) &\geq \frac{1}{2} a_{i_0}(x_0) > 0 \text{ für } x \in K_\delta(x_0), \overline{K_\delta(x_0)} \subseteq O \\ a_n & \end{aligned}$$

2.8 Folgerung Unter diesen Voraussetzungen gilt für den Konvergenzradius  $R$  der Potenzreihe

$$R \geq \sup\{r > 0 : \overline{K_r(z_0)} \subseteq O\}$$

2.9 ▶ Beispiel  $O = \mathbb{C} \setminus \{\pm i\}$ ,  $f(z) = \frac{1}{1+z^2}$



Entwickle  $f$  um  $z_0$  in eine Potenzreihe mit Konvergenzradius  $R$ . Aus 2.8 folgt

$$R \geq \min\{|z_0 + i|, |z_0 - i|\}$$

Da  $|f(z)| \rightarrow \infty$  für  $z \rightarrow \pm i$  kann die Potenzreihe in  $z = \pm i$  nicht konvergieren.

$$\Rightarrow R = \min\{|z_0 + i|, |z_0 - i|\}$$

2.10 Folgerung 1.)

$$a_n = \frac{1}{2\pi i} \int_{|z-z_0|=r} \frac{f(z)}{(z-z_0)^{n+1}} dz \text{ für die } a_n \text{ in 2.7}$$

2.)

$$\begin{aligned} f(z) &= \sum_{n=0}^{\infty} a_n (z-z_0)^n \stackrel{\text{Young}}{\Rightarrow} a_n = \frac{f^{(n)}(z_0)}{n!} \\ \Rightarrow f^{(n)}(z_0) &= \frac{n!}{2\pi i} \int_{|z-z_0|=r} \frac{f(z)}{(z-z_0)^{n+1}} dz \end{aligned}$$

Auf einer Kreisscheibe um  $z_0$  gilt analog zur gewöhnlichen Cauchy-Integralformel

(2.6) sogar allgemeiner:

$$f^{(n)}(w) = \frac{n!}{2\pi i} \int_{|z-z_0|=r} \frac{f(z)}{(z-w)^{n+1}} dz \quad |w-z_0| < r$$

(Verwende dazu  $z_0 := w$  und  $r := |w-z_0|$ , sowie die Weghomotopie beider Kurven auf der Kreisscheibe) Man nennt diese Form auch *Erweiterte Cauchy'sche Integralformel*.

BEWEIS 1.) Ann:  $\omega = 0$ , aber  $a_{i_0} \neq 0$  für mindestens ein  $i_0 \in \mathcal{G}^{(k)}$ . Sei  $x_0 \in O$  mit

$$a_{i_0}(x_0) \neq 0$$

$$0 < \delta < 0$$

$$a_{i_0}(x) \geq \frac{1}{2} a_{i_0}(x_0) > 0 \text{ für } x \in K_\delta(x_0), \overline{K_\delta(x_0)} \subseteq O$$

$$\text{Wähle } D := \overline{K_1^{(k)}(0)}.$$

Sei  $I \in \mathcal{G}^{(k)}$ ,  $I \neq I_0$ ,  $I = (i_1, \dots, i_k)$

$$\Rightarrow \omega(\varphi(D)) = \int_D \sum_{I \in \mathcal{G}^{(k)}} a_I(\varphi(y)) \det \left( \frac{\partial \varphi_I}{\partial y} \right) dy$$

$$\varphi(y) = x_0 + \delta (\gamma_1 e_{j_1} + \gamma_2 e_{j_2} + \dots + \gamma_k e_{j_k})$$

$$\Rightarrow \det \left( \frac{\partial \varphi_I}{\partial y} \right) = \det \left( \frac{\partial (\varphi_{i_1}, \dots, \varphi_{i_k})}{\partial y} \right) \quad \begin{cases} \delta & i = j_\ell \\ 0 & \text{sonst} \end{cases}$$

$$\begin{aligned} \Rightarrow \det \left( \begin{array}{cccc} \partial_{y_1} \varphi_{i_1} & \dots & \partial_{y_k} \varphi_{i_1} \\ \vdots & & \vdots \\ \partial_{y_1} \varphi_{i_k} & \dots & \partial_{y_k} \varphi_{i_k} \end{array} \right) &= 0 \end{aligned}$$

Außerdem

$$\det \left( \frac{\partial \varphi_{i_0}}{\partial y} \right) = \det \begin{pmatrix} \delta & 0 & \dots & 0 \\ 0 & \delta & \dots & 0 \\ \vdots & \ddots & \ddots & \vdots \\ 0 & \dots & 0 & \delta \end{pmatrix} = \delta^n$$

$$\Rightarrow \omega(\varphi(D)) = 0 + \dots + 0 + \int_D a_{i_0}(\varphi(y)) \cdot \delta^n dy \geq \frac{1}{2} a_{i_0}(x_0) \delta^n \int_D 1 dy > 0$$

$$\not\approx \omega(S) = 0 \text{ für alle } S.$$

2.) Die Eindeutigkeit folgt aus 1.) Existenz: Forme alle Summanden  $dx_{i_1}, \dots, dx_{i_k}$  =  $(-1)dx_I$ ,  $I \in \mathcal{G}^{(k)}$  um und fasse gleiche  $dx_I$  zusammen.

- 1.) Falls  $\omega = a(x) dx_{i_1} \wedge \dots \wedge dx_{i_k}$  und  $i_j = i_\ell$  für ein Paar  $(j, \ell)$  mit  $j \neq \ell$ . Dann gilt mit  $\omega = 0$ . Insbesondere  $dx_i \wedge dx_i = 0$ .

2.)

$$\begin{aligned} dx_{i_1} \wedge \dots \wedge dx_{i_j} \wedge \dots \wedge dx_{i_\ell} \wedge \dots \wedge dx_{i_k} \\ = - dx_{i_1} \wedge \dots \wedge dx_{i_\ell} \wedge \dots \wedge dx_{i_j} \wedge \dots \wedge dx_{i_k} \end{aligned}$$

wobei die Spalten  $i_j$  und  $i_\ell$  gleich sind.

- 2.) Folgt aus: Vertauscht man in der Matrix A zwei Spalten, so wird  $\det A$  mit -1 multipliziert. ■

7.8 **Lineare Struktur:** Für  $k$ -Formen  $\omega_1, \omega_2$  und  $c_1, c_2 \in \mathbb{R}$  ist

$$\begin{aligned} (c_1\omega_1 + c_2\omega_2)(S) &= \int_S (c_1\omega_1 + c_2\omega_2) \\ &:= c_1 \int_S \omega_1 + c_2 \int_S \omega_2 = c_1\omega_1(S) + c_2\omega_2(S) \end{aligned}$$

7.9 ► **Beispiel**  $\omega = 1 \cdot dx_1 \wedge dx_2 + 1 \cdot dx_2 \wedge dx_1 \Rightarrow \omega = 0$ . ■

- 7.10 **Definition** Es sei  $I = (i_1, \dots, i_k)$  mit  $1 \leq i_1 < i_2 < \dots < i_k \leq n$ . Dann heißt  $I$  **wachsender Index**. Wir setzen

$$\mathcal{G} := \{I : I \text{ wachsender Index der Länge } k\}$$

$$dx_I := dx_{i_1} \wedge \dots \wedge dx_{i_k}, \quad \text{mit } I = (i_1, \dots, i_k)$$

$dx_I$  mit  $I \in \mathcal{G}^{(k)}$  heißt **Grundform** im  $\mathbb{R}^n$ . ■

7.11 **Satz** 1.) Ist

$$\omega = \sum_{I \in \mathcal{G}^{(k)}} a_I(x) dx_I = 0$$

so folgt  $a_I = 0$  für  $I \in \mathcal{G}^{(k)}$ .

- 2.) Jede  $k$ -Form  $\omega$  in  $O$  besitzt eine eindeutige Darstellung

$$\omega = \sum_{I \in \mathcal{G}^{(k)}} a_I dx_I$$

d.h.  $(a_I : I \in \mathcal{G}^{(k)})$  sind die  $\binom{n}{k}$  Koordinaten von  $\omega$ . Die Abbildung

$$\omega \mapsto (a_I : I \in \mathcal{G}^{(k)}) \text{ mit } \omega = \sum a_I dx_I$$

ist bijektiv und linear.

- 2.11 **Definition** Ist  $f : \mathbb{C} \rightarrow \mathbb{C}$  differenzierbar, so heißt  $f$  **ganze Funktion**. Dann gilt mit beliebigem  $z_0 \in \mathbb{C}$

$$f(z) = \sum_{n=0}^{\infty} a_n (z - z_0)^n$$

mit Konvergenzradius  $R = \infty$ ,  $a_n$  gegeben durch 2.10

- 2.12 ► **Beispiel**  $e^{(\cdot)}$ , Polynomfunktionen,  $\sin, \cos$  sind ganz. ■

**Beweis** 1.) Sieht man direkt aus

$$\det \left( \frac{\partial (\varphi_{i_1}, \dots, \varphi_{i_k})}{\partial y} \right) = 0$$

wobei die Spalten  $i_j$  und  $i_\ell$  gleich sind.

- 2.) Folgt aus: Vertauscht man in der Matrix A zwei Spalten, so wird  $\det A$  mit -1 multipliziert. ■

7.8 **Lineare Struktur:** Für  $k$ -Formen  $\omega_1, \omega_2$  und  $c_1, c_2 \in \mathbb{R}$  ist

iv.  $\Rightarrow$  v.: 1.36

v.  $\Rightarrow$  ii: offensichtlich ■

- 2.13 **Cauchy-Abschätzung für Taylor-Koeffizienten** Sei  $O \subseteq \mathbb{C}$  offen,  $f : O \rightarrow \mathbb{C}$  differenzierbar,  $\overline{K_r(z_0)} \subseteq O$ ,  $|f(z)| \leq M$  auf  $|z - z_0| = r$  und

$$f(z) = \sum_{n=0}^{\infty} a_n (z - z_0)^n, \quad \text{für } |z - z_0| < r$$

Dann

$$\left| \frac{f^{(n)}(z_0)}{n!} \right| = |a_n| \leq \frac{M}{r^n}, \quad \text{für } n \in \mathbb{N}_0$$

**Beweis**

$$\begin{aligned} |a_n| &\stackrel{2.10}{=} \left| \frac{1}{2\pi i} \int_{|z-z_0|=r} \frac{f(z)}{(z-z_0)^{n+1}} dz \right| \\ &\stackrel{1.33}{\leq} \frac{1}{2\pi} \frac{M}{r^{n+1}} \underbrace{L(|z-z_0|=r)}_{2\pi r} \\ &= \frac{M}{r^n} \end{aligned}$$

- 2.14 **Satz von Liouville** Jede ganze Funktion, die beschränkt ist, ist konstant.

**BEWEIS** Aus 2.11

$$f(z) = \sum_{n=0}^{\infty} a_n z^n, \quad \text{für } z \in \mathbb{C}$$

Aus 2.13

$$|a_n| \leq \frac{M}{r^n} \text{ wobei } |f(z)| \leq M, \quad \overline{K_r(0)} \subseteq \mathbb{C}$$

Dann folgt mit  $r \rightarrow \infty$ 

$$\Rightarrow a_n = 0, \quad \text{für } n = 1, 2, \dots$$

$$\Rightarrow f(z) = a_0 + 0, \quad \text{für } z \in \mathbb{C}$$

■

**7.4 Definition** Sie  $O \subseteq \mathbb{R}^n$  offen. Eine **Differentialform** in  $O$  oder  $k$ -Form in  $O$  ist eine Abbildung

2.15 **Riemannscher Hebbarkheitssatz** Sei  $O \subseteq \mathbb{C}$  offen,  $z_0 \in O$ ,  $f : O \setminus \{z_0\} \rightarrow \mathbb{C}$  differenzierbar, und

$$\exists r > 0 \exists M > 0 : |f(z)| \leq M, \quad \text{für } 0 < |z - z_0| < r$$

Dann kann  $f$  in  $z = z_0$  holomorph ergänzt werden, d.h. es existiert  $a \in \mathbb{C}$ , so dass

$$\tilde{f} : O \rightarrow \mathbb{C} : z \mapsto \begin{cases} a & z = z_0 \\ f(z) & \text{sonst} \end{cases}$$

differenzierbar ist.

**BEWEIS** Setze

$$g(z) := \begin{cases} 0 & z = z_0 \\ (z - z_0)^2 f(z) & \text{sonst} \end{cases}$$

Dann ist  $g$  in  $O \setminus \{z_0\}$  differenzierbar und auch in  $z_0$ 

$$\lim_{z \rightarrow z_0, z \neq z_0} \frac{g(z) - g(z_0)}{z - z_0}$$

beschränkt

$$= \lim_{z \rightarrow z_0, z \neq z_0} \underbrace{(z - z_0)}_{\rightarrow 0} \underbrace{\overline{f'(z)}}_{\rightarrow 0} = 0$$

**Bemerkung:** Beschränkte Folge mal Nullfolge ergibt Nullfolge

◦

7.5 **Bemerkung:** Die Definition von  $\int_S \omega$  ist unabhängig vom Atlas und der Zerlegung des Eins, falls der neue Atlas gleich orientiert wie der ursprüngliche ist.

7.6 ► **Beispiel** Sei  $n = 3$ ,  $k = 2$ ,  $O \subseteq \mathbb{R}^3$ ,  $V \in C(O \rightarrow \mathbb{R}^3)$ .

$$\omega := V_1 dx_2 \wedge dx_3 + V_2 dx_3 \wedge dx_1 + V_3 dx_1 \wedge dx_2 \Rightarrow \omega(S) = \text{Fluss von } V \text{ durch } \blacktriangleleft$$

7.7 **Eigenschaften:** Sei  $k \geq 2$ .

$$\begin{aligned} \omega &:= \sum_{j=1}^N \int_{\substack{y \in K_j^{(2)}(0) \\ \forall y \in K_1 \cap r(0)}} \psi_j(\varphi_j(y)) \left( V_1(\varphi_j(y)) \cdot \det \left( \frac{\partial(\varphi_{j_1}, \varphi_{j_2})}{\partial y} \right) \right. \\ &\quad \left. + V_2(\varphi_j(y)) \cdot \det \left( \frac{\partial(\varphi_{j_3}, \varphi_{j_1})}{\partial y} \right) \right. \\ &\quad \left. + V_3(\varphi_j(y)) \cdot \det \left( \frac{\partial(\varphi_{j_1}, \varphi_{j_2})}{\partial y} \right) \right) dy \quad \times \end{aligned}$$

wobei  $n_0$  der Normaleneinheitsvektor ist.

= Definition des Integrals  $\int_S f \, dV^{(k)}$  mit Hilfe des Atlas  $\tilde{\mathcal{A}}(S)$ .

weil  $a_0 = g(z_0) = 0$  und  $a_1 = g'(z_0) = 0$ , folgt

$$\Rightarrow g(z) = \sum_{n=2}^{\infty} a_n (z - z_0)^n, \quad |z - z_0| < r$$

**Beispiel** Sei  $D = \overline{K_1^{(k)}(0)}$ ,  $\varphi \in C^1(D \rightarrow \mathbb{R}^n)$ ,  $\varphi : D \rightarrow \varphi(D)$  bijektiv,  $\varphi^{-1}$  stetig,  $\text{Rang}(\partial_y \varphi) = k$ ,  $S := \varphi(D)$ . Dann ist  $S$  kompakte  $k$ -dimensionale  $C^1$ -Mannigfaltigkeit.  
Für  $f \in C(S \rightarrow \mathbb{R})$  gilt

$$\int_S f \, dV^{(k)} = \int_D f(\varphi(y)) \left[ \det \left( \left( \frac{\partial \varphi}{\partial y} \right)^* \left( \frac{\partial \varphi}{\partial y} \right) \right) \right]^{1/2} dy \quad \blacksquare$$

## 2.7 Differentialformen

**Vereinbarung** Im Folgenden immer:  $S$  ist eine kompakte orientierbare  $k$ -dimensionale  $C^1$ -Mannigfaltigkeit mit orientiertem Atlas  $A(S) = \{(\varphi_j, U_j), 1 \leq j \leq N\}$  und passender Zerlegung der Eins  $\{\psi_1, \dots, \psi_N\}$ . ☒

**Arbeit** Sei  $n = 3, k = 1, F \in C(S \rightarrow \mathbb{R}^3)$ . Die Arbeit längs  $S$  im Kraftfeld  $F$  ist gegeben durch

$$A := \int_S \langle F, t_0 \rangle \, dV^{(1)}$$

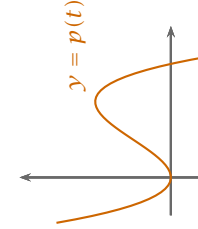
wobei  $t_0$  der Tangenteneinheitsvektor ist.

$$\begin{aligned} &= \sum_{j=1}^N \int_{U_j} \psi_j \langle F, t_0 \rangle \, dV^{(1)} \\ &= \sum_{j=1}^N \int_{\substack{y \in [-1,1] \\ \forall y \in [0,1]}} \psi_j(\varphi_j(y)) \left\langle F(\varphi_j(y)), \frac{\varphi'_j(y)}{\|\varphi'_j(y)\|} \right\rangle \left[ \det \left( (\varphi'_j(y))^* (\varphi'_j(y)) \right) \right]^{1/2} dy \\ &= \sum_{j=1}^N \int_{\substack{y \in [-1,1] \\ \forall y \in [0,1]}} \psi_j(\varphi_j(y)) \left( \sum_{k=1}^N F_k(\varphi_j(y)) \varphi'_{jk}(y) \right) dy \quad \blacksquare \end{aligned}$$

**Fluss** Sei  $n = 3, k = 2, V \in C(S \rightarrow \mathbb{R}^3)$ . Der Fluss von  $V$  durch  $S$  ist definiert durch

$$F := \int_S \langle V, n_0 \rangle \, dV^{(k)}$$

$$\Rightarrow \begin{cases} p(0) = 0, & p(1) = 1 \\ p'(t) > 0, & \text{für } 0 < t < 1 \\ p'(0) = 0, & p'(1) = 0 \end{cases}$$



**Hilfssatz** Sei  $O \subseteq \mathbb{C}$  offen,  $f : O \rightarrow \mathbb{C}$  differenzierbar,  $z_0 \in O$  geschlossene Dreiecksfläche mit geschlossener Randkurve  $\partial D$  (stückweise Intervalle), so gilt

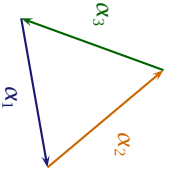
$$\int_{\partial D} f(z) \, dz = 0$$

**Beweis** Hauptidee:  $\partial D$  umparametrisieren zu einer  $C^1$ -Kurve

$$p(t) := 3t^2 - 2t^3$$

Sei  $\partial D : [0, 3] \rightarrow O$  gegeben durch

$$\begin{aligned} y(t) &= \begin{cases} \alpha_1(t) & 0 \leq t \leq 1 \\ \alpha_2(t) & 1 \leq t \leq 2 \\ \alpha_3(t) & 2 \leq t \leq 3 \end{cases} \\ &= \sum_{j=1}^N \sum_{\ell=1}^M \int_{U_j} \tilde{\psi}_\ell \cdot f \, dV^{(k)} \end{aligned}$$



Sei  $\beta_1(t) := \alpha_1(p(3t))$ ,  $0 \leq t \leq 1/3$

$$\Rightarrow \int_{B_1} f(z) \, dz \stackrel{1.28}{=} \int_{\alpha_1} f(z) \, dz, \quad \beta'_1(0) = 0, \quad \beta'_1\left(\frac{1}{3}\right) = 0$$

Genauso

$$\begin{aligned} \beta_2(t) &:= \alpha_2\left(1 + p\left(3\left(t - \frac{1}{3}\right)\right)\right), \quad \frac{1}{3} \leq t \leq \frac{2}{3}, \quad \beta'_2\left(\frac{1}{3}\right) = 0, \quad \beta'_2\left(\frac{2}{3}\right) = 0 \\ \beta_3(t) &:= \alpha_3\left(2 + p\left(3\left(t - \frac{2}{3}\right)\right)\right), \quad \frac{2}{3} \leq t \leq 1 \end{aligned}$$

Setze

$$\tilde{y}(t) :=$$

$$\begin{cases} \beta_1(t) & 0 \leq t \leq \frac{1}{3} \\ \beta_2(t) & \frac{1}{3} \leq t \leq \frac{2}{3} \\ \beta_3(t) & \frac{2}{3} \leq t \leq 1 \end{cases}$$

$\Rightarrow \tilde{y} \in C^1([0, 1] \rightarrow \mathbb{C})$  ist Randkurve von  $D$

Dann ist  $\tilde{y}$  nullhomotop:

$$\begin{aligned} \Phi(t, s) &:= \underbrace{(1-s)\tilde{y}(t) + s\tilde{y}(0)}_{\in D \subseteq O \text{ da } D \text{ konvex}}, \quad \Phi \in C^1 \\ &\Rightarrow \tilde{y} \sim \tilde{y}(0), \text{ also } C^1\text{-nullhomotop} \\ &\Rightarrow \int_{\tilde{y}} f(z) \, dz = 0 \end{aligned}$$

■ 2.18 Satz von Morera Sei  $O \subseteq \mathbb{C}$  offen,  $f : O \rightarrow \mathbb{C}$  stetig und für jede abgeschlossene Dreiecksfläche  $D \subseteq O$  gelte

$$\int_{\partial D} f(z) \, dz = 0$$

Dann ist  $f$  holomorph auf  $O$ .

**Beweis** Sei  $\tilde{A}(S) = \{(\tilde{\phi}_j, \tilde{U}_j) : j = 1, \dots, M\}$  weiterer Atlas und  $\{\tilde{\psi}_1, \dots, \tilde{\psi}_M\}$  entsprechende Zerlegung der Eins. Dann

$$\begin{aligned} &\sum_{j=1}^N \int_{U_j} \psi_j \cdot f \, dV^{(k)} \\ &= \sum_{j=1}^N \sum_{\ell=1}^M \int_{y \in \tilde{\phi}_\ell^{-1}(U_j \cap \tilde{U}_\ell)} (\tilde{\psi}_\ell \cdot \psi_j \cdot f)(\varphi(y)) \left[ \det \left( \left( \frac{\partial \varphi_j}{\partial y} \right)^* \left( \frac{\partial \varphi_j}{\partial y} \right) \right) \right]^{1/2} \, dV^{(k)} \\ &= \sum_{j=1}^N \sum_{\ell=1}^M \int_{z \in \tilde{\phi}_\ell^{-1}(U_j \cap \tilde{U}_\ell)} (\tilde{\psi}_\ell \cdot \psi_j \cdot f)(\varphi(\Phi_{\ell j}^{-1}(z))) \, dV^{(k)} \\ &= \sum_{j=1}^N \sum_{\ell=1}^M \int_{y \in \tilde{\phi}_\ell^{-1}(U_j \cap \tilde{U}_\ell)} (\tilde{\psi}_\ell \cdot \psi_j \cdot f) \underbrace{(\varphi(\Phi_{\ell j}^{-1}(z)))}_{\tilde{\Phi}_\ell(z)} \, dV^{(k)} \\ &= \left[ \det \left( \left( \frac{\partial \varphi_j}{\partial y} \left( \Phi_{\ell j}^{-1}(z) \right) \right)^* \left( \frac{\partial \varphi_j}{\partial y} \left( \Phi_{\ell j}^{-1}(z) \right) \right) \right) \right]^{1/2} \left| \det \left( \frac{\partial \Phi_{\ell j}^{-1}}{\partial z} \right) \right| \, dz \\ &\text{Nebenrechnung: } \varphi_j = \tilde{\Phi}_\ell \circ \Phi_{\ell j} \\ &\Rightarrow \left( \frac{\partial \varphi_j}{\partial y} (y) \right) = \left( \frac{\partial \tilde{\Phi}_\ell}{\partial z} (\Phi_{\ell j}(y)) \right) \cdot \left( \frac{\partial \Phi_{\ell j}}{\partial y} (y) \right) \\ &\Rightarrow \det \left( \left( \frac{\partial \varphi_j}{\partial z} \left( \Phi_{\ell j}^{-1}(z) \right) \right)^* \cdot \left( \frac{\partial \varphi_j}{\partial z} (\dots) \right) \right) \\ &= \det \left( \left( \frac{\partial \Phi_{\ell j}}{\partial y} \left( \Phi_{\ell j}^{-1}(z) \right) \right)^* \left( \frac{\partial \tilde{\Phi}_\ell}{\partial z} (z) \right)^* \left( \frac{\partial \tilde{\Phi}_\ell}{\partial z} (z) \right) \left( \frac{\partial \Phi_{\ell j}}{\partial y} \left( \Phi_{\ell j}^{-1}(z) \right) \right) \right) \\ &= \det \left( \left( \frac{\partial \tilde{\Phi}_\ell}{\partial z} (z) \right) \left( \frac{\partial \tilde{\Phi}_\ell}{\partial z} (z) \right)^* \det \left( \left( \frac{\partial \Phi_{\ell j}}{\partial y} \left( \Phi_{\ell j}^{-1}(z) \right) \right) \right) \right)^2 \\ &= \sum_{j=1}^N \sum_{z \in \tilde{\phi}_\ell^{-1}(U_j \cap \tilde{U}_\ell)} (\tilde{\psi}_\ell \cdot \psi_j \cdot f)(z) \left[ \det \left( \left( \frac{\partial \tilde{\Phi}_\ell}{\partial z} \right)^* \left( \frac{\partial \tilde{\Phi}_\ell}{\partial z} \right) \right) \right]^{1/2} \\ &\quad \left| \det \left( \frac{\partial \Phi_{\ell j}^{-1}}{\partial z} (z) \right) \right| \left| \det \left( \frac{\partial \Phi_{\ell j}}{\partial y} \left( \Phi_{\ell j}^{-1}(z) \right) \right) \right| \, dz \\ &= \sum_{j=1}^N \sum_{\ell=1}^M \int_{U_j} \tilde{\psi}_\ell \cdot \psi_j \cdot f \, dV^{(k)} \\ &= \sum_{\ell=1}^M \int_{\tilde{U}_\ell} \tilde{\psi}_\ell \cdot f \, dV^{(k)} \end{aligned}$$

3.)  $k = 1:$ 

$$V^{(1)}(v) = (\det(v^* \cdot v))^{1/2}$$

$$= \sqrt{v_1^1 + \dots + v_n^2} = \|v\|$$

4.)  $\{v_1, \dots, v_k\}$  linear abhängig  $\Rightarrow \text{Rang}(v_1, \dots, v_k) < k.$ 

$$\Rightarrow V^{(k)}(v_1, \dots, v_k) = 0$$

5.) Sei  $S$  eine  $C^1$ -Mannigfaltigkeit,  $(\varphi, U)$  eine Karte,  $x_0 \in U, y_0 = \varphi^{-1}(x_0),$ 

$$\left(\frac{\partial \varphi}{\partial y}\right) := \begin{pmatrix} \frac{\partial \varphi}{\partial y_1}, \dots, \frac{\partial \varphi}{\partial y_k} \end{pmatrix}$$

Dann ist

$$\left[ \det \left( \left( \frac{\partial \varphi}{\partial y}\right)^* \left( \frac{\partial \varphi}{\partial y}\right) \right) \right]^{1/2}$$

der  $k$ -Inhalt der Parallelepipeds, das von den Tangentialvektoren  $\frac{\partial \varphi}{\partial y_1}, \dots, \frac{\partial \varphi}{\partial y_k}$  aufgespannt wird.6.3 **Definition** Eine Mannigfaltigkeit  $S \subseteq \mathbb{R}^n$  heißt **kompakt**, wenn sie als Teilmenge des  $\mathbb{R}^n$  kompakt ist.

X

6.4 **Beispiel** 1.)  $S := \{x \in \mathbb{R}^n : x_1^2 + \dots + x_{k+1}^2 = 1 \wedge x_{k+2} = \dots = x_n = 0\}$  ist kompakt,  $k$ -dimensional,  $\partial S \neq \emptyset.$ 2.)  $S := \{x \in \mathbb{R}^n : |x| < 1\}$  nicht kompakt,  $\partial S = \emptyset.$ 3.)  $S := \{x \in \mathbb{R}^n : |x| \leq 1 \wedge x_n \leq 0\}$  kompakt,  $\partial S = \{x \in \mathbb{R}^n : |x| \leq 1 \wedge x_n = 0\} \cup \{x \in \mathbb{R}^n : |x| = 1 \wedge x_n < 0\}.$ 6.5 **Definition** Sei  $S$  kompakte,  $k$ -dimensionale  $C^1$ -Mannigfaltigkeit mit Atlas  $A(S) = \{(\varphi_i, U_j) : j = 1, \dots, N\}.$  Seien  $O_1, \dots, O_N \subseteq \mathbb{R}^n$  offen mit  $U_j = O_j \cap S, \{\psi_1, \dots, \psi_N\}$  Zerlegung der Eins auf  $S$  bezüglich  $\{O_1, \dots, O_N\}.$  Für  $f \in C(S \rightarrow \mathbb{R})$  ist

$$\int_S f \, dV^{(k)} := \sum_{j=1}^N \int_{U_j} \underbrace{\psi_j \cdot f}_{\text{supp}(\psi_j \cdot f) \subseteq U_j} \, dV^{(k)}$$

$$:= \sum_{j=1}^N \int_{y \in K_1^{(k)}(0)} (\psi_j \cdot f)(\varphi_j(y)) \left[ \det \left( \left( \frac{\partial \varphi_j}{\partial y}\right)^* \left( \frac{\partial \varphi_j}{\partial y}\right) \right) \right]^{1/2} \, dy$$

(oder auch Integral über  $y \in K_1^{(k)}(0)$ )

X

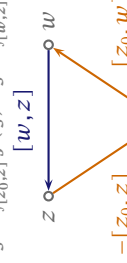
2.19 **Bemerkung:** 1.) Beweis von Morera zeigtf differenzierbar  $\Leftrightarrow f$  besitzt eine lokale Stammfunktion  
 $\forall z_0 \in O \exists r > 0 \exists F : F' = f \text{ in } K_r(z_0)$ **BEWEIS** Idee: Zeige, dass  $f$  in einem Kreis  $K_r(z_0)$  mit  $\overline{K_r(z_0)} \subseteq O$  eine Stammfunktion  $F$  besitzt. Wähle  $z_0 \in O$  und  $K_r(z_0).$ 

Setze

$$F(z) := \int_{[z_0, z]} f(\zeta) \, d\zeta, \quad \text{für } z \in K_r(z_0)$$

Behauptung:  $F' = f$  in  $K_r(z_0).$  Sei  $z \in K_r(z_0).$ 

$$\begin{aligned} & \left| \frac{F(w) - F(z)}{w - z} - f(z) \right| \\ &= \left| \frac{1}{w - z} \left( \int_{[z_0, w]} f(\zeta) \, d\zeta - \int_{[z_0, z]} f(\zeta) \, d\zeta - \int_{[z, w]} f(z) \, d\zeta \right) \right| \\ & \quad + \int_{[w, z]} f(\zeta) \, d\zeta + \int_{[z, w]} f(\zeta) \, d\zeta \end{aligned}$$

1 Es gilt anschaulich  $\int_{[z_0, w]} f(\zeta) \, d\zeta - \int_{[z_0, z]} f(\zeta) \, d\zeta + \int_{[w, z]} f(\zeta) \, d\zeta = 0$ 6.6 **Satz** Die Definition  $\int_S f \, dV^{(k)}$  ist unabhängig von der Wahl des Atlas, der  $O_j$  und der Zerlegung der Eins.6.7 **Teilbeweis 2.2** iii.  $\stackrel{2.17}{\Rightarrow}$  Voraussetzung von Morera erfüllt.

$$\underset{\text{Morera}}{\Rightarrow} \text{i. } f \text{ differenzierbar in } O.$$

X

f differenzierbar  $\Leftrightarrow f$  besitzt eine lokale Stammfunktion $\forall z_0 \in O \exists r > 0 \exists F : F' = f \text{ in } K_r(z_0)$

- 2.) Wenn  $f$  differenzierbar in  $O$  ist, muss  $f$  nicht unbedingt eine globale Stammfunktion (Stammfunktion auf  $O$ ) besitzen: Z.B.  $O = K_1(0) \setminus \{0\}$ ,  $f(z) = 1/z$ .

Später: Stammfunktionen können holomorph fortgesetzt werden. Z.B.  $\ln z$  als Stammfunktion von  $1/z$ .  $\leadsto$

- 2.20 **Satz** Sei  $O \subseteq \mathbb{C}$  offen,  $f: O \rightarrow \mathbb{C}$ ,  $z_0 = x_0 + iy_0 \in O$

$$\tilde{O} := \{(x, y) \in \mathbb{R}^2 : x + iy \in O\}$$

$$u(x, y) := \operatorname{Re} f(x + iy)$$

$$v(x, y) := \operatorname{Im} f(x + iy)$$

Es sind äquivalent

- i.)  $f$  ist differenzierbar in  $z_0$ .

- ii.)  $\begin{pmatrix} u \\ v \end{pmatrix}: \tilde{O} \subseteq \mathbb{R}^2 \rightarrow \mathbb{R}^2$  ist differenzierbar in  $(x_0, y_0)$  und es gelten die Cauchy-Riemannschen Differentialgleichungen:

$$\begin{aligned} u_x(x_0, y_0) &= v_y(x_0, y_0) \\ u_y(x_0, y_0) &= -v_x(x_0, y_0). \end{aligned}$$

Sind die Bedingungen erfüllt, so gilt

$$\begin{aligned} u_x(x_0, y_0) &= \operatorname{Re} f'(z_0) \\ u_y(x_0, y_0) &= -\operatorname{Im} f'(z_0). \end{aligned}$$

### BEWEIS

6.1 **Definition** Sei  $1 \leq k \leq n$  und  $\{v_1, \dots, v_k\} \subseteq \mathbb{R}^n$ . Dann ist der  $k$ -Inhalt

aufgespannten Parallelepipedes definiert durch

$$\begin{aligned} &\Leftrightarrow f(z) = f(z_0) + f'(z_0)(z - z_0) + o(|z - z_0|) \\ &\Leftrightarrow \begin{cases} \operatorname{Re} f(z) = \operatorname{Re} f(z_0) + \operatorname{Re} f'(z_0) \operatorname{Re}(z - z_0) - \operatorname{Im} f'(z_0) \operatorname{Im}(z - z_0) \\ \quad + o(|z - z_0|) \\ \operatorname{Im} f(z) = \operatorname{Im} f(z_0) + \operatorname{Im} f'(z_0) \operatorname{Re}(z - z_0) - \operatorname{Re} f'(z_0) \operatorname{Im}(z - z_0) \\ \quad + o(|z - z_0|) \end{cases} \end{aligned}$$

Sei  $z = x + iy$ , dann zerfallen

$$\begin{aligned} \operatorname{Re}(z - z_0) &= x - x_0 \\ \operatorname{Im}(z - z_0) &= y - y_0 \end{aligned}$$

- 2.)  $k = n$ : Es gilt  $\det(A \cdot B) = \det A \cdot \det B$  und für  $A$  hermitesch  $\det A^* = \det A$

$$\begin{aligned} V^{(n)}(v_1, \dots, v_n) &= (\det((v_1, \dots, v_n)^* \cdot (v_1, \dots, v_n)))^{1/2} \\ &= |\det(v_1, \dots, v_n)| \end{aligned}$$

Nach Schritt 1 ist  $\{\psi_{jk} : k = 1, \dots, N_j\}$  eine Zerlegung der Eins auf  $M_j \setminus \operatorname{int}(M_{j-1})$ . Definiere

$$\sigma(x) := \sum_{j=1}^{\infty} \sum_{k=1}^{N_j} \psi_{jk}(x).$$

Nach Konstruktion gilt: Zu jedem  $x \in M$  existiert eine offene Umgebung  $U(x)$ , sodass die Summe  $U(x)$  endlich ist ( $x \notin M \Rightarrow \psi_{jk}(x) = 0$ ).

$$\Rightarrow \sigma \in C^\infty(\mathbb{R}^n \rightarrow \mathbb{R})$$

Außerdem  $\sigma(x) \geq 1$  für  $x \in M$ .

$$\Rightarrow \left\{ \frac{1}{\sigma} \psi_{jk} : j \in \mathbb{N}, 1 \leq k \leq N_j \right\}$$

ist die Zerlegung der Eins auf  $M$ .

### Fall 3:

$M \subseteq \mathbb{R}^n$  beliebig.

$$M \subseteq O := \bigcup_{\alpha \in A} O_\alpha$$

mit  $\{O_\alpha : \alpha \in A\}$  überdeckt  $O$ . Wende Fall 2 an.  $\blacksquare$

## 2.6 Integration auf Mannigfaltigkeiten

**BEWEIS VON 5.2 Fall 1:**

$M$  ist kompakt.

$$\Rightarrow \exists \alpha_1, \dots, \alpha_N \in A : M \subseteq \bigcup_{j=1}^N O_{\alpha_j}$$

Wähle  $O'_{\alpha_j} \subseteq \mathbb{R}^n$  offen,  $O'_{\alpha_j}$  beschränkt,  $\overline{O'_{\alpha_j}} \subseteq O_{\alpha_j}$  mit  $M \subseteq \bigcup_{j=1}^N O_{\alpha_j}$  (5.7).  $\overline{O'_{\alpha_j}}$  beschränkt und abgeschlossen  $\Rightarrow$  kompakt.

$\Rightarrow \varphi_{\alpha_j} \in C^\infty(\mathbb{R}^n \rightarrow \mathbb{R})$  mit  $\varphi_{\alpha_j}(x) = 1$  für  $x \in \overline{O'_{\alpha_j}}$ ,  $\text{supp } \varphi_{\alpha_j} \subseteq O_{\alpha_j}$ ,  $\varphi_{\alpha_j} \geq 0$ .

Setze

$$\tilde{\psi}_j(x) := \frac{\varphi_{\alpha_j}(x)}{\sum_{k=1}^N \varphi_{\alpha_k}(x)}$$

$\Rightarrow$  i,ii,iii,iv,v. erfüllt. Es fehlt  $\psi_j \in C^\infty(\mathbb{R}^n \rightarrow \mathbb{R})$ .

5.5  $\Rightarrow$  Es existiert  $\varphi \in C^\infty(\mathbb{R}^n \rightarrow \mathbb{R})$  mit  $\varphi = 1$  auf  $M_N$  und  $\text{supp } \varphi \subseteq \bigcup_{j=1}^N O'_{\alpha_j}$ . Setze  $\psi_j(x) := \varphi(x) \tilde{\psi}_j(x)$ .

$\Rightarrow$  i,ii,iii,iv,v. erfüllt und  $\psi_j \in C^\infty(\mathbb{R}^n \rightarrow \mathbb{R})$ .

Fall 2:

$M$  ist offen.

$$M_j := \left\{ x \in M : |x| \leq j \wedge d(x, \mathbb{R}^n \setminus M) \geq \frac{1}{j} \right\}$$

Also ist  $M_j$  kompakt und  $M = \bigcup_{j \in \mathbb{N}} M_j$ . Für festes  $j$ :

$$\{O_\alpha \cap \text{int}(M_{j+1}) \cap (\mathbb{R}^n \setminus M_{j-2}) : \alpha \in A\}$$

ist eine offene Überdeckung von  $M_j \setminus \text{int}(M_{j-1}) = M_j \cap (\mathbb{R}^n \setminus M_{j+1})$ .

2.22 **Definition** 1.)  $M \subseteq \mathbb{C}$  heißt **wegzusammenhängend**, falls gilt

$$\forall z_0, z_1 \in M \exists y : [a, b] \rightarrow M \text{ Weg stückweise } C^1 : y(a) = z_0 \vee y(b) = z_1$$

2.)  $G \subseteq \mathbb{C}$  heißt **Gebiet**, falls  $G$  offen und wegzusammenhängend.



2.23 **Satz** Sei  $G \subseteq \mathbb{C}$  Gebiet,  $f$  holomorph in  $G$  mit  $f' = 0$  in  $G$ . Dann ist  $f$  konstant in  $G$ .

**BEWEIS** Sei  $z_0 \in G$  fest,  $z \in G$ ,  $y$  Weg von  $z_0$  nach  $z$ .

$$\begin{aligned} 0 &= \int_y f'(\zeta) d\zeta = f(z) - f(z_0) \\ &\Rightarrow \forall z \in G : f(z) = f(z_0) \end{aligned}$$

$$\begin{aligned} &\Leftrightarrow \begin{pmatrix} u(x, y) \\ v(x, y) \end{pmatrix} = \begin{pmatrix} u \\ v \end{pmatrix}(x_0, y_0) + \begin{pmatrix} \operatorname{Re} f'(z_0) & -\operatorname{Im} f'(z_0) \\ \operatorname{Im} f'(z_0) & \operatorname{Re} f'(z_0) \end{pmatrix} \begin{pmatrix} x - x_0 \\ y - y_0 \end{pmatrix} \\ &\quad + o\left(\left|\begin{pmatrix} x \\ y \end{pmatrix} - \begin{pmatrix} x_0 \\ y_0 \end{pmatrix}\right|\right) \\ &\Leftrightarrow \begin{pmatrix} u \\ v \end{pmatrix} \text{ ist differenzierbar in } (x_0, y_0) \text{ mit der Jacobi-Matrix} \\ &\quad \begin{pmatrix} \operatorname{Re} f'(z_0) & -\operatorname{Im} f'(z_0) \\ \operatorname{Im} f'(z_0) & \operatorname{Re} f'(z_0) \end{pmatrix} = \begin{pmatrix} u_x & u_y \\ v_x & v_y \end{pmatrix}(x_0, y_0) \end{aligned}$$



RESTBEWEIS 2.2 vi.  $\Rightarrow \begin{pmatrix} u \\ v \end{pmatrix} : \tilde{O} \rightarrow \mathbb{R}^2$  differenzierbar und es gelten die Cauchy-Riemannschen Differentialgleichungen.  $\Rightarrow$  i.

$$\begin{aligned} \text{i.} &\Rightarrow \begin{pmatrix} u \\ v \end{pmatrix} \text{ differenzierbar in } O \text{ und es gelten die Cauchy-Riemannschen Differential-} \\ &\text{gleichungen.} \end{aligned}$$

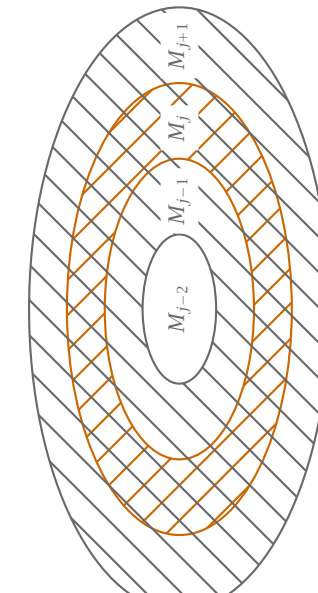
RESTBEWEIS 2.2 vi.  $\Rightarrow \begin{pmatrix} u \\ v \end{pmatrix} : \tilde{O} \rightarrow \mathbb{R}^2$  differenzierbar und es gelten die Cauchy-Riemannschen Differentialgleichungen.  $\Rightarrow$  i.

$$= \underbrace{\cosh y \sin x}_{u(x,y)} + \underbrace{\sinh y \cos x}_{v(x,y)}$$

2.21 **Beispiel** Sei  $O = \mathbb{C}$ ,  $f(z) = \sin z = \frac{1}{2i} (e^{iz} - e^{-iz})$ . Zum selbst nachrechnen

$$\Rightarrow v \Rightarrow f' \text{ stetig} \Rightarrow u_x, u_y, v_x, v_y \text{ stetig}$$

2.20 **i.**  $\Rightarrow$  v.  $\Rightarrow$  vi.



2.2.4 **Satz** Sei  $G \subseteq \mathbb{C}$  Gebiet,  $f$  holomorph in  $G$

$$\exists z_0 \in G \forall n \in \mathbb{N} : f^{(n)}(z_0) = 0$$

Damit ist  $f$  konstant in  $G$ .

**Beweis** Sei  $z \in G$ ,  $y$  ein Weg von  $z_0$  nach  $z$ :  $y(a) = z_0$ ,  $y(b) = z$ . Setze

$$T := \sup \left\{ t \in [a, b] : f \circ y|_{[a,t]} = \text{const.} \right\} \neq \emptyset, \text{ da } t = a \text{ enthalten.}$$



1.) Zeige  $T > a$

2.) Zeige  $T = b$  (Dann  $f(z) = f(z_0) \forall z \in G$ )

Zu 1.

$$f(z) \stackrel{2.1.0}{=} \sum_{n=0}^{\infty} \frac{f^{(n)}(z_0)}{n!} (z - z_0)^n \quad \text{für } |z - z_0| < R$$

$$= f(z_0)$$

$y$  stetig  $\Rightarrow \exists \delta > 0 \forall t \in [a, a + \delta[ : |y(t) - \underline{y(a)}| < R$

$\Rightarrow T \geq a + \delta > a$

Zu 2.: Annahme:  $T < b$ . Behauptung

$$f^{(n)}(y(t)) = 0 \quad \text{für } n \in \mathbb{N}, a \leq t \leq T$$

Induktionsanfang:

$$f'(y(t)) = \lim_{z \rightarrow y(t)} \frac{f(z) - f(y(t))}{z - y(t)}$$

$$\stackrel{\text{Tellfolge}}{=} \lim_{s \rightarrow t, s \in [a, T]} \frac{f(y(s)) - f(y(t))}{y(s) - y(t)} \stackrel{f|_{[a,T]}}{=} 0$$

Induktionsschritt genauso.

$$\Rightarrow \forall n \in \mathbb{N} : f^{(n)}(y(T)) = 0$$

$$\Rightarrow f(z) = f(y(T)) = f(z_0) \text{ für } |z - y(T)| < R$$

$$\blacktriangleright x \in K : \varphi(x) = \int_{y \in K_\delta} 1 \cdot g_\delta(y - x) d\mu_y = \int_{\mathbb{R}^n} g_\delta(y - x) d\mu_y = \int_{\mathbb{R}^n} g_\delta(y) dy = 1 \quad \checkmark$$

$\blacktriangleright \varphi \in C^\infty$  (ohne Beweis)  $\checkmark$

5.6 **Satz** Sei  $O \subseteq \mathbb{R}^n$  offen,  $K \subseteq O$  kompakt. Dann existiert  $O' \subseteq \mathbb{R}^n$  offen und beschränkt mit  $K \subseteq O' \subseteq \overline{O'} \subseteq O$ .

**Beweis** Sei  $\delta := d(K, \mathbb{R}^n \setminus O) \stackrel{5.3}{>} 0$  falls  $O \neq \mathbb{R}^n$ ,  $\delta = 1$  falls  $O = \mathbb{R}^n$ .

$$\begin{aligned} O' &:= \bigcup_{x \in K} K_{\delta/2}(x) = \{x \in \mathbb{R}^n : d(x, K) \leq \delta/2\} \\ O' \text{ offen (Vereinigung offener Mengen)} \\ \Rightarrow &\begin{cases} K \subseteq O' \\ \overline{O'} = \{x \in \mathbb{R}^n : d(x, K) \leq \delta/2\} \subseteq O \end{cases} \end{aligned}$$

5.7 **Satz** Sei  $K \subseteq \mathbb{R}^n$  kompakt,  $\{O_1, \dots, O_N\}$  offene Überdeckung von  $K$ . Dann existieren  $O'_1, \dots, O'_N \subseteq \mathbb{R}^n$  offen mit

$$\overline{O'_j} \subseteq O_j, \quad O'_j \text{ beschränkt}, \quad K \subseteq \bigcup_{j=1}^N O_j$$

**Beweis**

$$K_1 := K \cap \left( \mathbb{R}^n \setminus \bigcup_{j=2}^N O_j \right) \text{ ist kompakt.}$$

$K_1 \subseteq O_1$ , da  $K_1 \cap (\mathbb{R}^n \setminus O_1) = K \cap \bigcap_{j=1}^N \mathbb{R}^n \setminus O_j = \emptyset$ . Wähle  $O'_1 \subseteq \mathbb{R}^n$  offen und beschränkt mit  $K_1 \subseteq O'_1 \subseteq \overline{O'_1} \subseteq O_1$  (5.6).

$\Rightarrow \{O'_1, O_2, O_3, \dots, O_N\}$  überdeckt  $K$  wegen

$$\begin{aligned} \emptyset &= K_1 \cap (\mathbb{R}^n \setminus O_1) \\ &= K \cap (\mathbb{R}^n \setminus O'_1) \cap \left( \bigcap_{j=2}^N \mathbb{R}^n \setminus O_j \right) \\ &= K \cap \mathbb{R}^n \setminus \left( O'_1 \cup \bigcup_{j=2}^N \mathbb{R}^n \setminus O_j \right) \end{aligned}$$

und  $O'_1$  beschränkt,  $\overline{O'_1} \subseteq O_1$ . Sukzessive  $O_j$  durch  $O'_j$  ersetzen  $\Rightarrow$  fertig.  $\blacksquare$

## 5.4 Satz 1.)

$$\vartheta_1(x) := \begin{cases} e^{-1/x} & x > 0 \\ 0 & x \leq 0 \end{cases}$$

$\Rightarrow \vartheta_1 \in C^\infty(\mathbb{R} \rightarrow \mathbb{R}), \vartheta_1 \geq 0, \text{supp}(\vartheta_1) = [0, \infty[.$

2.)

$$\vartheta_2(x) := \vartheta_1(1 - |x|^2), \quad \text{für } x \in \mathbb{R}^n$$

$\Rightarrow \vartheta_2 \in C^\infty(\mathbb{R}^n \rightarrow \mathbb{R}), \vartheta_1 \geq 0 \text{ für } x \in \mathbb{R}^n, \text{supp}(\vartheta_2) = \overline{K_1^{(n)}(0)}.$

3.)

$$\vartheta_3(x) := \frac{1}{\int_{\mathbb{R}^n} \vartheta_2(x) dx} \vartheta_2(x), \quad x \in \mathbb{R}^n$$

Dann zusätzlich

$$\int_{\mathbb{R}^n} \vartheta_3(x) dx = 1.$$

4.) Sei  $\delta > 0,$

$$\vartheta_\delta(x) := \frac{1}{\delta^n} \vartheta_3\left(\frac{x}{\delta}\right), \quad x \in \mathbb{R}^n$$

$\Rightarrow \vartheta_\delta \in C^\infty(\mathbb{R}^n \rightarrow \mathbb{R}), \vartheta_\delta \geq 0 \text{ für } x \in \mathbb{R}^n, \text{supp}(\vartheta_\delta) = \overline{K_\delta(0)}, \int_{\mathbb{R}^n} \vartheta_3(x) dx = 1. \quad \times$

5.5 Satz Sei  $O \subseteq \mathbb{R}^n$  offen,  $K \subseteq O$  kompakt. Dann existiert  $\varphi \in C^\infty(\mathbb{R}^n \rightarrow \mathbb{R})$  mit  $\varphi(x) \geq 0$  für  $x \in \mathbb{R}^n, \text{supp}(\varphi) \subseteq O, \varphi(x) = 1$  auf  $K.$

BEWEIS Sei

$$\delta := \frac{1}{4} d(K, \mathbb{R}^n \setminus O) > 0.$$

Setze  $K_\delta := \{x \in \mathbb{R}^n : d(x, K) \leq \delta\}.$  Dann  $K_\delta \subseteq O, K_\delta$  abgeschlossen. Damit hat<sup>3</sup>

$$\varphi(x) := \int_{\mathbb{R}^n} \chi_{K_\delta}(y) \vartheta_\delta(y - x) d\mu_y$$

die gewünschten Eigenschaften.

$$\blacktriangleright \varphi(x) \geq 0 \quad \checkmark$$

$$\blacktriangleright \text{supp}(\varphi) \subseteq \{x \in \mathbb{R}^n : d(x, K) \leq 2\delta\} \subseteq O \quad \checkmark$$

---

<sup>3</sup>  $\chi_M(x) = \begin{cases} 1 & x \in M \\ 0 & \text{sonst} \end{cases}$

## 1.3 Nullstellen

3.1 Definition Sei  $O \rightarrow \mathbb{C}$  offen,  $f$  holomorph in  $O, z_0 \in O, f(z_0) = 0.$  Falls

$$\exists k \in \mathbb{N} : f^{(k)}(z_0) \neq 0$$

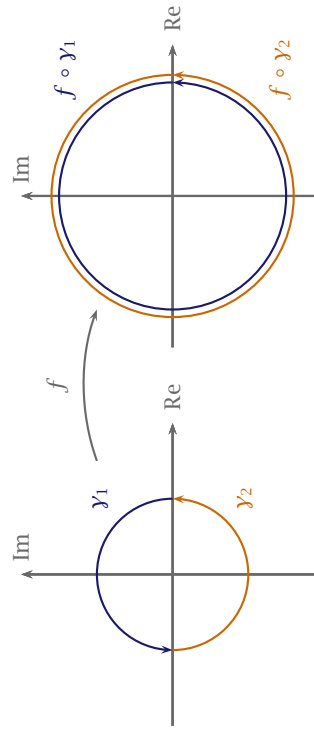
so heißt

$$K := \min\{k \in \mathbb{N} : f^{(k)}(z_0) \neq 0\}$$

die **Ordnung** oder **Vielfachheit** der Nullstelle  $z_0.$  Andernfalls heißt die **Ordnung der Nullstelle unendlich.** X

Betrachte:

$$f : \mathbb{C} \rightarrow \mathbb{C} : z \mapsto z^2 : r e^{i\varphi} \mapsto r^2 e^{2i\varphi}$$



Offensichtlich ist  $f$  nicht injektiv. Jedes Element  $w \neq 0$  hat genau zwei Urbilder.

Abhilfe: **Riemannsche Fläche.** Legt zwei  $\mathbb{C} \setminus \{0\}$  Ebenen übereinander, schneide sie jeweils an der positiven reellen Achse auseinander, verbinde den Rand für  $\text{Im } z \uparrow 0$  der unteren Ebene mit dem Rand  $\text{Im } z \downarrow 0$  der oberen, verbinde die beiden anderen Ränder. Dann ist die Funktion

$$f : \mathbb{C} \setminus \{0\} \rightarrow F = \{r e^{i\varphi} : r > 0, \varphi \in \mathbb{R}, e^{i\varphi} + 2\pi \neq e^{i\varphi}, r e^{i\varphi+4\pi} = e^{i\varphi}\}$$

bijektiv. Die Riemannsche Fläche hat zwei Blätter.

► **Beispiel**

$$f(z) = \sin z^2$$

Nullstelle bei  $z = 0$

$$\begin{aligned} f'(0) &= 2z \cos z^2 \Big|_{z=0} = 0 \\ f''(0) &= 2 \cos z^2 - 4z^2 \sin z^2 \Big|_{z=0} = 2 \end{aligned}$$

$z = 0$  ist Nullstelle 2. Ordnung. ■

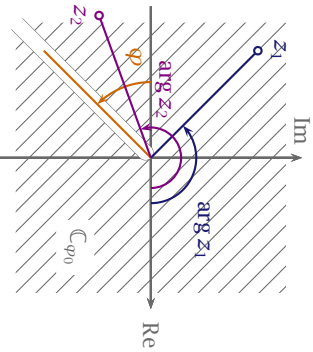
**Ziel:** Ist  $z_0$  Nullstelle der Ordnung  $k \in \mathbb{N}$ , so verhält sich  $f$  und ihre »Umkehrfunktionen« lokal wie

$$z \mapsto (z - z_0)^k$$

und ihre »Umkehrfunktionen«.

3.2 **Hilfsatz** Sei  $0 \leq \varphi \leq 2\pi$ ,  $\mathbb{C}_{\varphi_0} := \{r e^{i\varphi} : r > 0, -\pi + \varphi_0 < \varphi < \pi + \varphi_0\} = \mathbb{C} \setminus \{r e^{i(\varphi_0 + \pi)} : r > 0\}$

⇒



Dann ist  $\arg_{\varphi_0} : \mathbb{C}_{\varphi_0} \rightarrow ]-\pi + \varphi_0, \pi + \varphi_0[$  stetig.

**BEWEIS**  $z \mapsto 1/|z|, z \mapsto \operatorname{Re} z, z \mapsto \operatorname{Im} z$  sind stetig auf  $\mathbb{C}_{\varphi_0}$ .

$$\arg_{\varphi_0}(z) := \begin{cases} \arg z & -\pi + \varphi_0 < \arg z < \pi \\ \arg z + 2\pi & -\pi \leq \arg z < -\pi + \varphi_0 \end{cases}$$

Jede einzelne Zeile ist stetig und die Bereiche überlappen sich. Also ist  $\arg_{\varphi_0}$  stetig auf der Vereinigung der einzelnen Bereiche. ■

3.3 **Satz** Sei  $0 \leq \varphi_0 \leq 2\pi$ ,  $\sqrt[k]{\cdot} : \mathbb{C}_{\varphi_0} \rightarrow \mathbb{C}$  mit

$$z^{1/k} := \sqrt[k]{z} := |z|^{1/k} e^{i \frac{1}{k} \arg_{\varphi_0} z}$$

Dann ist  $\sqrt[k]{\cdot}$  holomorph und

$$(\sqrt[k]{z})^k = z \quad \sqrt[k]{z'} = \frac{1}{k(\sqrt[k]{z})^{k-1}}$$

**BEWEIS** 1.)  $\sqrt[k]{\cdot}$  ist stetig als Kombination stetiger Funktionen

⇒ verträgliche Orientierung von  $\partial S$  im Gegenuhrzeigersinn.  
Falls  $A(S)$  die Karte  $(\tilde{\varphi} \circ \tilde{U})(x_2) = (-x_1)$  enthält, ist die verträgliche Orientierung von  $\partial S$  im Uhrzeigersinn. ▲

## 2.5 Zerlegung der Eins

5.1 **Definition** Sei  $\psi \in \mathbb{R}^n \rightarrow \mathbb{R}$  oder  $\mathbb{C}$  (oder was anderes). Der Träger (engl.: support) von  $\psi$

$$\operatorname{supp} \psi := \overline{\{x \in \mathbb{R}^n : \psi(x) \neq 0\}}.$$

5.2 **Satz** Sei  $M \subseteq \mathbb{R}^n$ ,  $\{O_\alpha : \alpha \in A\}$  offene Überdeckung von  $M$ . Dann existiert eine abzählbare oder endliche Menge  $\{\psi_j : C^\infty(\mathbb{R}^n \rightarrow \mathbb{R})\}$  mit

- i.)  $\forall j \forall x \in \mathbb{R}^n : 0 \leq \psi_j(x) \leq 1$ .
- ii.)  $\forall j : \operatorname{supp} \psi_j$  ist kompakt.
- iii.)  $\forall j \exists \alpha \in A : \operatorname{supp} \psi_j \subseteq O_\alpha$ .
- iv.)  $\forall x \in M : \#\{j : \psi_j(x) \neq 0\} < \infty$ .
- v.)  $\forall x \in M : \sum_j \psi_j(x) = 1$ .

Die Familie  $\{\psi_j\}$  heißt **Zerlegung der Eins** bezüglich  $\{O_\alpha : \alpha \in A\}$ .

5.3 **Satz** Sei  $K \subseteq \mathbb{R}^n$  kompakt,  $M \subseteq \mathbb{R}^n$  abgeschlossen,  $K \cap M = \emptyset$ . Dann ist der Abstand zwischen  $K$  und  $M$  definiert als

$$d(K, M) := \inf\{|x - y| : x \in K, y \in M\} > 0$$

und dieses Infimum ist ein Minimum.

**BEWEIS** Seien  $(x_n)$  Folge in  $K$ ,  $(y_n)$  Folge in  $M$ ,  $|x_n - y_n| \rightarrow d(K, M)$ .

$$K \text{ kompakt} \Rightarrow x_{n_k} \rightarrow x \in K$$

$\Rightarrow |y_{n_k}| \leq |y_{n_k} - x_{n_k}| + |x_{n_k}| \Rightarrow (y_{n_k})$  ist beschränkt.

$$\xrightarrow[\text{Weierstrass}]{\text{Bolzano-}} y_{n_k} \rightarrow y \in \mathbb{R}^n$$

$$M \text{ abgeschlossen} \Rightarrow y \in M$$

$$\Rightarrow x \in K, y \in M, d(x, y) = \lim_{\ell \rightarrow \infty} |x_{n_k} - y_{n_k}| = d(K, M).$$

■

Sei  $\psi := \varphi_1^{-1} \circ \varphi_2 \cdot \varphi_2^{-1}(U_1 \cap U_2) \rightarrow \varphi_1^{-1}(U_1 \cap U_2)$ .  $\psi$  bildet Randpunkte auf Randpunkte ab.

$$\psi_k(z_1, \dots, z_{k-1}, 0) = 0 \quad \Rightarrow \quad \frac{\partial}{\partial z_j} \psi_k(\varphi_2^{-1}(x_0)) = 0, \quad j = 1, \dots, k-1$$

$\psi$  bildet innere Punkte auf innere Punkte ab.

$$\psi_k(z_1, \dots, z_{k-1}, z_k > 0) > 0 \quad \Rightarrow \quad \frac{\partial}{\partial z_k} \psi_k(\varphi_2^{-1}(x_0)) > 0$$

$$\Rightarrow 0 < \det \left( \frac{\partial \psi}{\partial z} \right) = \det \begin{pmatrix} \cdots & \cdots & \cdots & \cdots & \cdots \\ \cdots & \cdots & \cdots & \cdots & \cdots \\ \frac{\partial \psi_k}{\partial z_1} & \cdots & \frac{\partial \psi_k}{\partial z_{k-1}} & \cdots & \frac{\partial \psi_k}{\partial z_k} \end{pmatrix}$$

Nach dem Entwicklungssatz nach der  $k$ -ten Zeile:

$$= (-1)^{2k} \frac{\partial \psi_k}{\partial z_k} (\varphi_2^{-1}(x_0)) \det \left( \frac{\partial(\psi_1, \dots, \psi_k)}{\partial(z_1, \dots, z_k)} \right) (\varphi^{-1}(x_0))$$

Zugehörige Karten  $(\tilde{\varphi}_j, \tilde{U}_j)$  des Randes  $\partial S$ :

$$\tilde{\varphi}_j(y_1, \dots, y_{k-1}) := \varphi_j(y_1, \dots, y_{k-1}, 0), \quad \tilde{U}_j = U_j \cap \partial S$$

Aus 4.6:  $\{(\tilde{\varphi}_1, \tilde{U}_1), \dots, (\tilde{\varphi}_n, \tilde{U}_n)\}$  ist Atlas von  $S$ . Es gilt

$$(\tilde{\varphi}_1^{-1} \circ \tilde{\varphi}_2)_i(z_1, \dots, z_{k-1}) = (\underbrace{\varphi_1^{-1} \circ \varphi_2}_{\psi_i})_i(z_1, \dots, z_{k-1}, 0), \quad i = 1, \dots, k-1.$$

$$\Rightarrow \det \left( \frac{\partial(\tilde{\varphi}_1^{-1} \circ \tilde{\varphi}_2)}{\partial(z_1, \dots, z_{k-1})} \right) = \det \left( \frac{\partial(\psi_1, \dots, \psi_{k-1})}{\partial(z_1, \dots, z_{k-1})} \right) > 0$$

$\Rightarrow \{(\tilde{\varphi}_1, \tilde{U}_1), \dots, (\tilde{\varphi}_N, \tilde{U}_N)\}$  ist orientierter Atlas von  $\partial S$ .

✗

2.)  $\sqrt[k]{\cdot}$  ist injektiv, denn

$$(\sqrt[k]{z})^k = |z| e^{i \arg \varphi_0 z} = z$$

3.) Ableitung: Sei  $z_0 \in \mathbb{C} \setminus \{0\}$ ,  $f(z) := z^k$

$$\begin{aligned} \sqrt[k]{z'} \Big|_{z=z_0} &= \lim_{z \rightarrow z_0, z \neq z_0} \frac{\sqrt[k]{z} - \sqrt[k]{z_0}}{z - z_0} \\ &\stackrel{g' = k\sqrt[k]{z}}{=} \lim_{z \rightarrow z_0, z \neq z_0} \frac{g(z) - g(z_0)}{z - z_0} \\ &= \lim_{z \rightarrow z_0, z \neq z_0} \frac{g(z) - g(z_0)}{f(g(z)) - f(g(z_0))} \\ &= \lim_{z \rightarrow z_0, z \neq z_0} \frac{f(\zeta) - f(g(z_0))}{\zeta - g(z_0)} \\ &= \frac{1}{f'(g(z_0))} \stackrel{f'(z) = kz^{k-1}}{=} \frac{1}{k(\sqrt[k]{z})^{k-1}} \end{aligned}$$

3.4 Satz Sei  $O \subseteq \mathbb{C}$  offen,  $f$  holomorph in  $O$ ,  $z_0 \in O$  Nullstelle der Ordnung  $k \in \mathbb{N}$ . Dann existiert  $r > 0$  und eine holomorphe Funktion  $h: K_r(z_0) \rightarrow \mathbb{C}$  mit

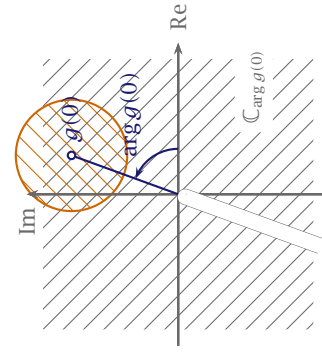
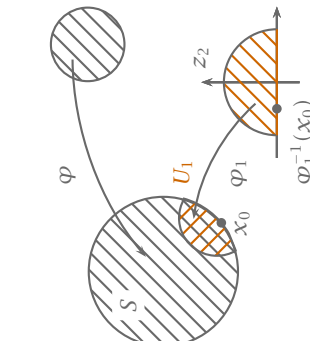
$$h(z_0) = 0, \quad h'(z_0) \neq 0, \quad f(z) = h(z)^k \text{ für } |z - z_0| < r$$

BEWEIS O.B.d.A.:  $z_0 = 0$ , und weil  $f^{(j)} = 0, j = 0, \dots, k-1$

$$f(z) = \sum_{n=k}^{\infty} a_n z^n = z^k \underbrace{\left( a_k + \sum_{n=k+1}^{\infty} a_n z^{n-k} \right)}_{=: g(z)}, \quad \text{für } |z| < R$$

Dann ist  $g$  holomorph in  $K_r(0)$ ,  $g(0) = a_k \neq 0$ .

1.) Sei  $(\varphi, U): \varphi(x_1) = (x_2)$ ,  $U = K_1^{(2)}(0)$ . Annahme:  $A(S)$  ist orientierter Atlas der  $(\varphi, U)$  enthält.



✓ Ohne Bedenken des Autors

4.12 ► Beispiel  $S = \overline{K_1^{(2)}(0)} \subseteq \mathbb{R}^2$ ,  $\partial S = \{(x_2) : x_1^2 + x_2^2 = 1\}$

1.) Sei  $(\varphi, U): \varphi(x_1) = (x_2)$ ,  $U = K_1^{(2)}(0)$ . Annahme:  $A(S)$  ist orientierter Atlas der  $(\varphi, U)$  enthält.

Da  $\mathcal{G}$  stetig ist:

$$\exists r > 0 : |z| < r \Rightarrow |\mathcal{G}(z) - \mathcal{G}(0)| < \frac{|\mathcal{G}(0)|}{2}$$

Dann folgt:

$$|z| < r \Rightarrow \mathcal{G}(z) \in \mathbb{C}_{\arg \mathcal{G}(0)}$$

Definiere

$$h(z) := z^k \sqrt[k]{\mathcal{G}(z)}, \quad \text{für } |z| < r$$

Dann:

$$h(0) = 0^k \sqrt[k]{\mathcal{G}(0)} = 0$$

$$h'(0) = 1 \underbrace{\sqrt[k]{\mathcal{G}(0)}}_{\neq 0} + 0 \frac{1}{k(\sqrt[k]{\mathcal{G}(0)})^{k-1}} \neq 0$$

$h$  ist holomorph auf  $K_r(0)$  als Produkt und Verkettung holomorpher Funktionen. ■

3.5 ▶ Beispiel Sei  $f : \mathbb{C} \rightarrow \mathbb{C} : z \mapsto e^z$

$$|f'(z)| = |e^z| = |e^{\operatorname{Re} z + i \operatorname{Im} z}| = |e^{\operatorname{Re} z}| \cdot |e^{i \operatorname{Im} z}|$$

$$= e^{\operatorname{Re} z} > 0$$

Trotzdem ist  $f$  nicht injektiv:

$$e^{z+2\pi i} = e^z$$

3.6 Lokale Umkehrfunktion Sei  $f$  holomorph in  $O$  und  $z_0 \in O$  mit  $f'(z_0) \neq 0$ . Dann existiert  $r > 0$ , sodass  $f|_{K_r(z_0)}$  injektiv ist. Weiter gelten

- ▶  $f(K_r(z_0))$  ist offen
- ▶  $f^{-1} : f(K_r(z_0)) \rightarrow K_r(z_0)$  ist holomorph
- ▶  $(f^{-1}(w))' = \frac{1}{f'(f^{-1}(w))}$  für  $w \in f(K_r(z_0))$

Beweis Seien

$$u(x, y) := \operatorname{Re} f(x + iy)$$

$$v(x, y) := \operatorname{Im} f(x + iy)$$

Dann

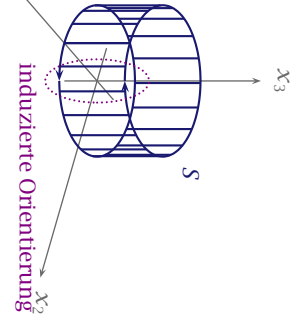
$$f(z) = w_1 + iw_2 \iff \begin{cases} \operatorname{Re} f(x + iy) = w_1 \\ \operatorname{Im} f(x + iy) = w_2 \end{cases}$$

$$\iff \begin{cases} g_1(x, y, w_1, w_2) := u(x, y) - w_1 = 0 \\ g_2(x, y, w_1, w_2) := v(x, y) - w_2 = 0 \end{cases}$$

Es gelten

$$S = \left\{ \begin{pmatrix} x_1 \\ x_2 \\ x_3 \end{pmatrix} : x_1^2 + x_2^2 = 1 \wedge 0 \leq x_3 \leq 1 \right\}$$

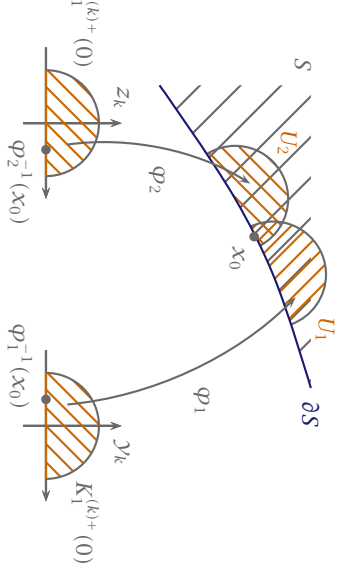
2.)



$\partial S$  besteht aus zwei Kreisen.  $S$  ist orientierbar (ohne Beweis). Durch die Orientierung von  $S$  wird eine Orientierung von  $\partial S$  induziert.

3.) Möbius-Band: Nicht orientierbare Mannigfaltigkeit.

4.11 Definition Sei  $S \in C^1$  orientierbare Mannigfaltigkeit mit Rand der Dimension  $k \geq 2$ ,  $A(S)$  orientierter Atlas. Durch die Konstruktion von 4.6 wird ein orientierter Atlas  $A(\partial S)$  gegeben. Die dadurch definierte Orientierung von  $\partial S$  heißt verträglich mit der Orientierung von  $S$ .



Wir wissen:  $x_0 \in \partial S$ ,  $x_0 \in U_1 \cap U_2$ ,  $(\varphi_1, U_1), (\varphi_2, U_2) \in A(S)$  orientiert

$$\Rightarrow \det \left( \frac{\partial (\varphi_1^{-1} \circ \varphi_2)}{\partial z} \right) > 0$$

4.) Zwei orientierte Atlanten  $A(S)$ ,  $\tilde{A}(S)$  heißen kompatibel, falls  $A(S) \cup \tilde{A}(S)$  orientiert ist. Dies definiert eine Äquivalenzrelation auf der Menge aller orientierten Atlanten von  $S$ . Jede Äquivalenzklasse heißt Orientierung von  $S$ .

$$1.) \quad g_1, g_2 \in C^1(\cdot)$$

2) und

$$S = \left\{ t \begin{pmatrix} 1 \\ 1 \\ 1 \end{pmatrix} : 0 \leq t \leq 3 \right\}$$

$$\sigma_1(y) := \frac{3}{2}(y+1)\begin{pmatrix} 1 \\ 1 \\ 1 \end{pmatrix}, \quad y \in K_1^{(1)}(0) = ]-1, 1[, \quad U_1 = \left\{ t \begin{pmatrix} 1 \\ 1 \\ 1 \end{pmatrix} : 0 < t < 3 \right\}$$

$$\sigma_2(y) := z \begin{pmatrix} 1 \\ 1 \end{pmatrix}, \quad z \in [0,1[, \quad U_2 = \left\{ t \begin{pmatrix} 1 \\ 1 \end{pmatrix} : 0 \leq t < 1 \right\}$$

Omanatiibilität II  $\odot$  II + Ø

$$(\varphi_1^{-1} \circ \varphi_2) = \frac{2}{3} > 0$$

→ gleich orientiert

$$\partial_3(z) := (3-z) \begin{pmatrix} 1 \\ 1 \\ 1 \end{pmatrix}, \quad z \in [0,1[, U_3 = \left\{ t \begin{pmatrix} 1 \\ 1 \\ 1 \end{pmatrix} : 2 < t \leq 3 \right\}$$

7

$$\begin{aligned} U_3 \cap U_1 &\neq \emptyset \\ p_1^{-1} \circ \varphi_3(z) &= \frac{2}{3}(3-z)-1 \\ (\varphi_1^{-1} \circ \varphi_3) &= -\frac{2}{3}<0 \end{aligned}$$

$\mathbb{N}$ . Zu jedem genügend kleinen  $\varepsilon > 0$  existiert eine offene Umgebung  $O_\varepsilon$  von  $z_0$  mit

$$\mathcal{D}_3(z) := (3+z) \begin{pmatrix} 1 \\ 1 \\ 1 \end{pmatrix}, \quad z \in ]-1, 0], U_3 = \left\{ t \begin{pmatrix} 1 \\ 1 \\ 1 \end{pmatrix} : 2 < t \leq 3 \right\}$$

, success

$\Rightarrow A(S) = \{(m \cdot H_i) \mid i = 1, 2, 3\}$  ist orientierbar.  $A$  ist von  $S$  gleich orientiert.

$f|_{O_\varepsilon}$  nimmt jeden Wert  $w$  mit  $0 < |w| < \varepsilon$  genau  $k$  Mal an

**BEWEIS**  $3.4 \Rightarrow f(z) = h(z)^k$ ,  $h$  holomorph in  $K_r(z_0)$   $h'(z_0) \neq 0$ .

$3.6 \Rightarrow h|_{K_\delta(z_0)}$  injektiv, falls  $\delta$  klein genug. Außerdem  $h(K_\delta(z_0))$  offen. Wähle  $\varepsilon > 0$  mit  $K_\varepsilon(0) \subseteq h(K_\delta(z_0))$ . Setze  $O_\varepsilon := h^{-1}(K_\delta(z_0))$ . Dann:



**3.8 Folgerung:** Nullstellen endlicher Ordnung sind isoliert: Ist  $f$  holomorph in  $O$ ,  $z_0 \in O$  Nullstelle endlicher Ordnung, so gilt:

$$\exists \varepsilon \forall z \in K_\varepsilon(z_0) \setminus \{z_0\} : f(z) \neq 0$$

**3.9 Satz von der inversen Abbildung** Seien  $O_1, O_2 \subseteq \mathbb{C}$  offen,  $f : O_1 \rightarrow O_2$  holomorph und bijektiv. Dann

- $f'(z) \neq 0$  in  $O_1$
- $f^{-1}$  ist holomorph
- $(f^{-1}(w))' = \frac{1}{f'(f^{-1}(w))}$

**BEWEIS** Annahme:  $\exists z_0 \in O_1 : f'(z_0) = 0$

$$g(z) := f(z) - f(z_0)$$

Also ist  $g$  holomorph und  $z_0$  ist Nullstelle mindestens 2. Ordnung.

**Fall 1:  $z_0$  ist Nullstelle endlicher Ordnung**

- $\stackrel{3.7}{\Rightarrow} g$  ist nicht injektiv.
- $\Rightarrow f$  ist nicht injektiv.

**Fall 2:  $z_0$  ist Nullstelle der Ordnung  $\infty$**

- $\stackrel{2.24}{\Rightarrow} g = \text{const. in } K_\varepsilon(z_0) \subseteq O_1$ .
- $\Rightarrow f = \text{const. in } K_\varepsilon(z_0) \subseteq O_1$ .

Rest aus 3.6 ■

Dann ist  $\varphi_1^{-1} \circ \varphi_2 : D_2 \rightarrow D_1$  bijektiv.

$$\frac{\partial \varphi_2}{\partial z_i}(z_0) = \frac{\partial}{\partial z_i}(\varphi_1 \circ (\varphi_1^{-1} \circ \varphi_2))(z_0)$$

$$= \sum_{j=1}^k \frac{\partial \varphi_1}{\partial y_j} \left( \underbrace{\frac{\partial (\varphi_1^{-1} \circ \varphi_2)}{\partial z}(z_0)}_{j\text{-te Koord.}} \right)$$

Betrachtet man  $\varphi_2^{-1} \circ \varphi_1$ , ergibt sich die andere Richtung und damit  $\text{LH}\{\dots\} = T_{x_0}$  ■

**4.8 Orientierung von Karten** 1.) Zwei Basen  $\{b_1, \dots, b_k\}, \{c_1, \dots, c_k\}$  eines  $k$ -dimensionalen Raumes heißen **gleich orientiert**, falls

$$b_j = \sum_{i=1}^k \alpha_{ji} c_i \quad \wedge \quad \det(\alpha_{ji}) > 0$$

2.) Sei  $S \in C^1$ . Zwei Karten  $(\varphi_1, U_1)$  heißen **gleich orientiert**, falls

$$\det \left( \frac{\partial (\varphi_1^{-1} \circ \varphi_2)_j}{\partial z}(z_0) \right) > 0 \text{ für } z_0 \in D_2 \text{ (vgl. vorher)}$$

(Vorzeichen der Determinante ist auf  $D_2$  konstant, da stetig und immer  $\neq 0$ )  $\times$

Korrektur zu 4.1, Punkt 3:  $S \in C^m$ ,  $m \geq 1$ , falls  $\varphi_j \in C^m$  ( $j = 1, \dots, N$ ) und

Damit wird in 4.7  $\dim T_{x_0} = k$  offensichtlich, da

$$T_{x_0} = \text{LH} \left\{ \frac{\partial \varphi}{\partial y_1}(\varphi^{-1}(x_0)), \dots, \frac{\partial \varphi}{\partial y_k}(\varphi^{-1}(x_0)) \right\}$$

**4.9 Orientierung von Mannigfaltigkeiten** 1.) Zwei Karten  $(\varphi_1, U_1), (\varphi_2, U_2)$  heißen **kompatibel**, falls  $U_1 \cap U_2 = \emptyset$  oder falls sie gleich orientiert sind.

2.) Ein Atlas heißt **orientiert**, wenn alle seine Karten paarweise kompatibel sind.

3.) Eine Mannigfaltigkeit  $S \in C^1$  heißt **orientierbar**, falls sie mindestens einen orientierten Atlas besitzt.

**4.7 Satz** Sei  $k \geq 1$  und  $S \in C^1$  eine  $k$ -dimensionale Mannigfaltigkeit im  $\mathbb{R}^n$ . Sei außerdem  $x_0 \in S$  mit einer Karte  $(\varphi_1, U_1)$ ,  $x_0 \in U_1$ . Dann heißt

$$T_{x_0} := \text{IH} \left\{ \frac{\partial \varphi_1}{\partial y_1} (\varphi_1^{-1}(x_0)), \dots, \frac{\partial \varphi_1}{\partial y_k} (\varphi_1^{-1}(x_0)) \right\}$$

*Tangentialraum in  $x_0$ . Es gilt*

$$\text{a.) } \dim T_{x_0} = k,$$

**b.)**  $T_{x_0}$  ist unabhängig von der Karte.

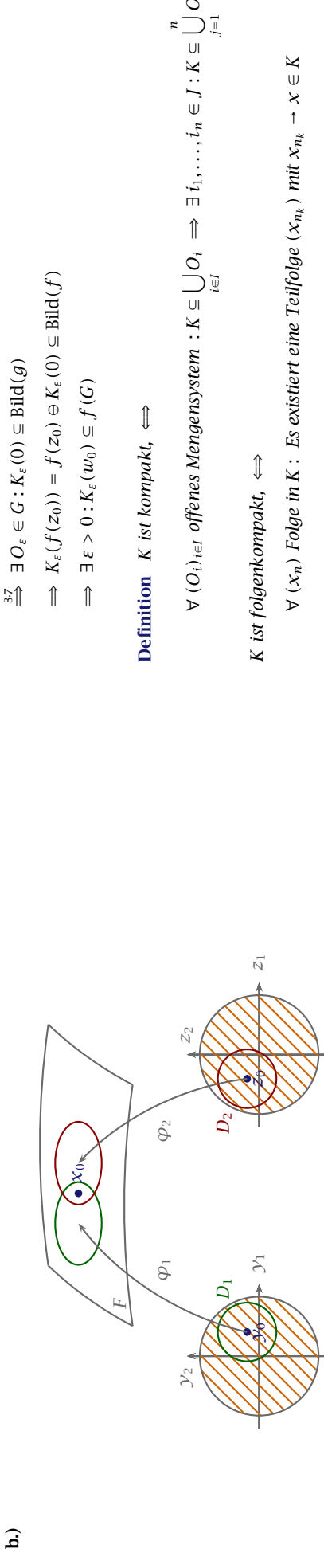
**BEWEIS** a.)

$$\begin{aligned} \text{Id} &= \varphi_1^{-1} \circ \varphi_1 : K_1^{(k)}(0) \rightarrow K_1^{(k)}(0) : y \mapsto y \\ E_k &= \underbrace{\begin{pmatrix} 1 & 0 & \cdots & 0 \\ 0 & \ddots & \ddots & 0 \\ \vdots & & \ddots & 0 \\ 0 & \cdots & 0 & 1 \end{pmatrix}}_{\text{Rang}=k} = \left( \frac{\partial \text{Id}}{\partial y_1} \frac{\partial \text{Id}}{\partial y_2} \cdots \frac{\partial \text{Id}}{\partial y_k} \right)(y_0), \quad y_0 = \varphi_1^{-1}(x_0) \end{aligned}$$

$$\stackrel{\text{Kettenregel}}{=} \left( \frac{\partial \varphi_1^{-1}}{\partial x_1} \frac{\partial \varphi_1^{-1}}{\partial x_2} \cdots \frac{\partial \varphi_1^{-1}}{\partial x_n} \right)(x_0) \cdot \underbrace{\left( \frac{\partial \varphi_1}{\partial y_1} \frac{\partial \varphi_1}{\partial y_2} \cdots \frac{\partial \varphi_1}{\partial y_k} \right)(y_0)}_{\text{Rang} \leq k}$$

$$\Rightarrow \dim T_{x_0} = k$$

**b.)**



Seien  $(\varphi_j, U_j)$ ,  $j = 1, 2$  zwei Karten mit  $x_0 \in U_1 \cap U_2$ . Setze  $D_j := \varphi_j^{-1}(U_1 \cap U_2)$ .

**3.10 Identitätsatz** Sei  $G \subseteq \mathbb{C}$  Gebiet,  $f, g$  holomorph in  $G$ ,  $(z_n)$  Folge in  $G$ ,  $z_n \rightarrow z_0 \in G$ ,  $z_n \neq z_0$  für  $n \in \mathbb{N}$ ,  $f(z_n) = g(z_n)$ . Dann ist  $f = g$  in  $G$ .

**BEWEIS** Sei  $h := f - g$  in  $G$ . Dann gilt  $h$  holomorph,  $h(z_n) = 0$ . Daraus folgt  $h(z_0) = 0$ . Wegen  $h(z_n) = 0$ ,  $z_n \rightarrow z_0$  und  $z_n \neq z_0$  ist die Nullstelle  $z_0$  nicht isoliert.

$$\stackrel{3.10}{\Rightarrow} z_0 \text{ ist Nullstelle der Ordnung } \infty.$$

$$\stackrel{2.24}{\Rightarrow} h = \text{const. in } G \text{ und } h(z_0) = 0 \Rightarrow h = 0 \text{ in } G, \text{ also } f = g \text{ in } G.$$

**3.11 Gebietstreue**  $G \subseteq \mathbb{C}$  Gebiet,  $f$  holomorph in  $G$ ,  $f \neq \text{const.}$  Dann ist  $f(G)$  ein Gebiet.

**BEWEIS** 1.)  $f(G)$  ist wegzusammenhängend: Seien  $w_j = f(z_j) \in f(G)$ ,  $j = 1, 2$ .  
G Gebiet  $\Rightarrow$  Es existiert ein Weg  $\gamma$  in  $G$  von  $z_1$  nach  $z_2$   
 $\Rightarrow f \circ \gamma$  ist Weg vom  $w_1$  nach  $w_2$  in  $f(G)$

2.)  $f(G)$  ist offen: Sei  $w_0 = f(z_0) \in f(G)$ .

$$g := f(z) - f(z_0), \quad z \in G$$

$\Rightarrow g$  holomorph,  $z_0$  Nullstelle.

Fall 1:  $z_0$  hat Ordnung  $\infty$

$$\stackrel{2.24}{\Rightarrow} g = \text{const.}, \text{ also } f = \text{const..} \not z$$

Fall 2:  $z_0$  hat endliche Ordnung  $k \in \mathbb{N}$

$$\stackrel{3.7}{\Rightarrow} \exists O_\varepsilon \in G : K_\varepsilon(0) \subseteq \text{Bild}(g)$$

$$\Rightarrow K_\varepsilon(f(z_0)) = f(z_0) \oplus K_\varepsilon(0) \subseteq \text{Bild}(f)$$

$$\Rightarrow \exists \varepsilon > 0 : K_\varepsilon(w_0) \subseteq f(G)$$

**Definition**  $K$  ist kompakt,  $\Leftrightarrow$

$$\forall (O_i)_{i \in I} \text{ offenes Mengensystem} : K \subseteq \bigcup_{i \in I} O_i \Rightarrow \exists i_1, \dots, i_n \in J : K \subseteq \bigcup_{j=1}^n O_{i_j}$$

$K$  ist folgenkompakt,  $\Leftrightarrow$

$$\forall (x_n) \text{ Folge in } K : \text{Es existiert eine Teilfolge } (x_{n_k}) \text{ mit } x_{n_k} \rightarrow x \in K$$

$H$  eine Borel  $K \subseteq \mathbb{R}^n$ , dann

$K$  kompakt  $\Leftrightarrow K$  beschränkt und  $K$  abgeschlossen  
 $\Rightarrow$  gilt immer  
 $\Leftarrow$  gilt nicht in  $\infty$ -dimensionalen Räumen

**3.12 Maximumprinzip I** Sei  $G \subseteq \mathbb{C}$  ein Gebiet und  $f$  holomorph in  $G$ . Falls ein  $z_0 \in G$  existiert, so dass

$$\forall z \in G : |f(z)| \leq |f(z_0)|$$

oder

$$f(z_0) \neq 0 \wedge \forall z \in G : |f(z)| \geq |f(z_0)|$$

(d.h.  $f$  nimmt in  $G$  das Maximum oder Minimum  $\neq 0$  an) Dann gilt  $f = \text{const.}$  in  $G$

**Beweis** Sei  $|f(z)| \leq |f(z_0)|$  für alle  $z \in G$  und  $f$  nicht konstant. Nach 3.11 ist  $f(G)$  ein Gebiet und insbesondere offen, es existiert also  $\varepsilon > 0$  mit

$$K_\varepsilon(f(z_0)) \subseteq f(G)$$

Wir finden jetzt anschaulich ein  $w \in K_\varepsilon(f(z_0))$  mit  $|w| > |f(z_0)|$ . Da  $w$  im Bild von  $f$  liegt, existiert auch ein  $z_1 \in G$  mit

$$|f(z_1)| = |w| > |f(z_0)|$$



Das stellt einen Widerspruch zur Voraussetzung dar.

Den zweiten Fall behandelt man analog (die Forderung  $f(z_0) \neq 0$  wird klar, weil man in diesem Fall keinen Widerspruch erzeugen kann). ■

**3.13 Maximumprinzip II** Sei  $G \subseteq \mathbb{C}$  ein Gebiet,  $G$  beschränkt,  $f : \bar{G} \rightarrow \mathbb{C}$  stetig und  $f$  holomorph in  $G$ . Dann

- 1.)  $\exists z_1 \in \partial G \forall z \in \bar{G} : |f(z)| \leq |f(z_1)|$
- 2.)  $\text{Falls } \min_{z \in \bar{G}} |f(z)| > 0:$

$$\exists z_2 \in \partial G \forall z \in \bar{G} : |f(z)| \geq |f(z_2)|$$

**Beweis**  $\bar{G}$  ist kompakt und  $|f| : \bar{G} \rightarrow \mathbb{R}$  stetig, also werden in  $\bar{G}$  das Minimum  $z_1$  und das Maximum  $z_2$  in jedem Fall angenommen:

$$\exists z_1, z_2 \in \bar{G} \forall z \in \bar{G} : |f(z_2)| \leq |f(z)| \leq |f(z_1)|$$

Falls  $z_1 \in \partial G$ , sind wir schon fertig. Sei also  $z_1 \in G$ . Damit ist nach 3.12  $f$  konstant in  $G$  und wegen der Stetigkeit auch in  $\bar{G}$ , also ist  $z_1 \in \partial G$  wählbar. Genauso für  $z_2$ . ■

bzw.  
 $\varphi_x : [0, 1] \rightarrow U(x)$

und

$$\varphi_x^{-1}(x) \in \{x \in \mathbb{R}^k : x_k = 0\} \quad (k \geq 2)$$

bzw.

$$\varphi_x^{-1}(x) = 0 \quad (k = 1).$$

Die Menge aller Randpunkte ist  $\partial S$ . ■

**4.5 Bemerkung:** Die Festlegung  $x \in \partial S$  hängt nicht von der Wahl der Karte ab. Sind  $(\varphi_1, U_1), (\varphi_2, U_2)$  zwei Karten mit  $x \in U_1 \cap U_2$ , so bildet

$$\begin{aligned} \varphi_1^{-1} \circ \varphi_2 : K_1^{(k+)}(0) &\rightarrow K_1^{(k+)}(0) \\ [0, 1[ &\rightarrow ]-1, 0] \end{aligned}$$

innere Punkte auf innere Punkte ab (Ohne Beweis). Also auch Randpunkte auf Randpunkte. ■

**4.6 Satz** Ist  $S \in C^m$  eine  $k$ -dimensionale Mannigfaltigkeit mit Rand im  $\mathbb{R}^n$  ( $k \geq 1$ ), so ist  $\partial S$  eine  $(k-1)$ -dimensionale Mannigfaltigkeit der Klasse  $C^m$  ohne Rand. Insbesondere ist  $\partial(\partial S) = \emptyset$ .

**Beweis**  $k=1: x \in \partial S \iff x = \varphi_x(0)$ . Da es nur endlich viele Karten gibt, bekommt man endlich viele Punkte in  $\partial S$ , also ergibt sich eine 0-dimensionale Mannigfaltigkeit.

$k=2:$  Zu  $x \in \partial S$  existiert eine Karte  $(\varphi_x, U(x))$ ,  $\varphi_x \in C^m$ ,  $\varphi_x^{-1} \in C^m$ . Sei

$$\tilde{\varphi}_x(Y_1, \dots, Y_{k-1}) := \varphi_x(Y_1, \dots, Y_{k-1}, 0)$$

$$\tilde{U}(x) := U(x) \cap \partial S = O \cap S \cap \partial S = O \cap \partial S, \quad O \subseteq \mathbb{R}^n \text{ offen.}$$

$$\Rightarrow (\tilde{\varphi}_x, \tilde{U}(x)) \text{ ist Karte.}$$

endlich viele überdecken  $\partial S$

$$\tilde{\varphi}_x \in C^m, \quad \underbrace{\tilde{\varphi}_x^{-1} = (\varphi_x^{-1}|_{\partial S})}_{\text{erste } k-1 \text{ Koordinaten}} \in C^m$$

Alle  $\tilde{\varphi}_x$  sind auf  $K^{(k-1)}(0)$  definiert, also kein Rand. ■

4.3 ► **Beispiel** Sei  $S = \{\mathbf{x} \in \mathbb{R}^3 : |\mathbf{x}| = R\}$  eine Kugel mit Radius  $r$  und seien folgende Karten  $\varphi_k : K_1^{(2)}(0) \rightarrow S$  für  $k \in \{1, 2, \dots, 6\}$  gegeben:

$$\varphi_{1,2}(y_1, y_2) := \left( y_1, y_2, \pm\sqrt{1 - y_1^2 - y_2^2} \right)$$

$$U_{1,2} = S \cap \{\mathbf{x} \in \mathbb{R}^3 : x_3 \geq 0\}$$

$$\varphi_{3,4}(y_1, y_2) := \left( y_1, \pm\sqrt{1 - y_1^2 - y_2^2}, y_2 \right)$$

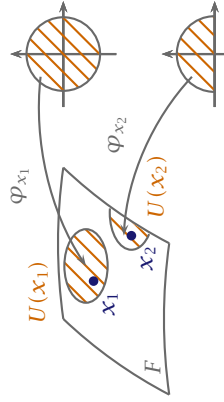
$$U_{3,4} = S \cap \{\mathbf{x} \in \mathbb{R}^3 : x_2 \geq 0\}$$

$$\varphi_{5,6}(y_1, y_2) := \left( \pm\sqrt{1 - y_1^2 - y_2^2}, y_1, y_2 \right)$$

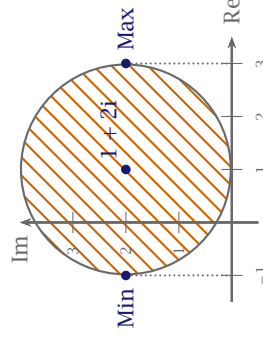
$$U_{5,6} = S \cap \{\mathbf{x} \in \mathbb{R}^3 : x_1 \geq 0\}$$

Dann  $A(S) = \{(\varphi_j, U_j), 1 \leq j \leq 6\}$  ein Atlas. Also ist  $S$  eine 2-dimensionale Mannigfaltigkeit mit Atlas  $A$ .

Fläche im  $\mathbb{R}^3$  mit Rand:



4.3 3.14 ► **Beispiel** Sei  $f(z) = e^z$  und  $G = K_2(1 + 2i)$  ein Gebiet. Für den Betrag von  $f$  gilt  $|f(z)| = |e^z| = e^{\operatorname{Re} z}$ .



Also werden Minimum und Maximum auf dem Rand von  $G$  (an den Punkten mit kleinstem, bzw. größtem Realteil) angenommen.

$$e^{-1} = |f(-1 + 2i)| \leq |f(z)| \leq |f(3 + 2i)| = e^3$$

3.15 Satz Sei  $f : [a, b] \rightarrow \mathbb{R}$ ,  $x_0 \in ]a, b[$ ,  $f$  in  $x_0$  (reell-)analytisch, d.h.

$$f(x) = y_0 + \sum_{n=K}^{\infty} a_n (x - x_0)^n \quad \text{für } |x - x_0| < r$$

( $r > 0$ ,  $a_n \in \mathbb{R}$ ,  $K \in \mathbb{N}$ ,  $a_K \neq 0$ ). Dann existiert ein  $\varepsilon > 0$ , sodass

$$f_+ := f \Big|_{[x_0, x_0 + \varepsilon]} \quad f_- := f \Big|_{[x_0 - \varepsilon, x_0]}$$

injektiv sind.  $f_+^{-1}$  und  $f_-^{-1}$  sind dann als **Puisseux-Reihen** darstellbar.

4.4 Definition 1.)  $S \subseteq \mathbb{R}^n$  heißt  **$k$ -dimensionale Mannigfaltigkeit mit Rand** ( $1 \leq k \leq n$ ), wenn es zu jedem  $\mathbf{x} \in S$  eine offene Umgebung  $U(\mathbf{x}) = O \cap S$ ,  $O \subseteq \mathbb{R}^n$  offen gibt und eine Abbildung

$$\varphi_x : K_1^{(k)}(0) \rightarrow U(\mathbf{x}) \quad \text{oder} \quad \varphi_x : K_1^{(k)+}(0) \rightarrow U(\mathbf{x}),$$

$$K_1^{(k)+}(0) := \{y \in K_1^{(k)}(0) : y_k \geq 0\}, k \geq 2$$

bzw. im Fall  $k = 1$

$$\varphi_x : ]-1, 1[ \rightarrow U(\mathbf{x}) \quad \text{oder} \quad \varphi_x : [0, 1[ \rightarrow U(\mathbf{x}) \quad \text{oder} \quad \varphi_x : ]-1, 0] \rightarrow U(\mathbf{x})$$

mit den Eigenschaften wie in 4.1 existiert. Die Begriffe »Atlas« und » $\mathcal{C}^m$ « werden analog definiert.

2.)  $\mathbf{x} \in S$  heißt **Randpunkt** von  $S^2$ , falls eine Karte  $(\varphi_x, U(\mathbf{x}))$  existiert, sodass

$$\varphi_x : K_1^{(k)+}(0) \rightarrow U(\mathbf{x})$$

Nach 3.4 existiert  $\varepsilon > 0$  und eine holomorphe Funktion  $h$  mit  $g(z) = h(z)^k$  für  $|z - x_0| < \varepsilon$  und  $h'(x_0) \neq 0$ .

<sup>2</sup>Voraussetzung:  $\partial S \neq \emptyset$

Aus dem Beweis von 3.4 entnehmen wir die Darstellung

$$h(z) = (z - x_0) \left( \sum_{n=K}^{\infty} a_n (z - x_0)^{n-K} \right)^{1/K}$$

Diese Darstellung ist wohldefiniert in einer Umgebung um  $x_0$ , da dort

$$\sum_{n=K}^{\infty} a_n (z - x_0)^{n-K} > 0$$

(betrachte für  $z = x_0$  und folge aus der Stetigkeit). Man sieht, dass  $h(x) \in \mathbb{R}$  für  $x \in (x_0 - \varepsilon, x_0 + \varepsilon)$ , wir können also  $h$  eingeschränkt auf  $(x_0 - \varepsilon, x_0 + \varepsilon)$  als reelle Funktion betrachten. Außerdem ist

$$h'(x_0) = 1 \cdot a_K^{1/K} + 0 \dots = a_K^{1/K} > 0$$

Nach 3.6 ist dann  $h^{-1}$  definiert und holomorph in einer entsprechenden Umgebung von  $x_0$ . Wir folgern weiter aus  $h'(x_0) > 0$ , dass  $h$  streng monoton wachsend in einer Umgebung von  $x_0$  ist.

Da  $h^{-1}$  holomorph ist mit  $h^{-1}(0) = x_0$ , können wir für ein  $r' > 0$  schreiben:

$$h^{-1}(z) = x_0 + \sum_{n=1}^{\infty} b_n z^n \quad |z| < r'$$

Wir erhalten für die Koeffizienten der Potenzreihe

$$b_n = \frac{1}{n!} \frac{d^n}{dx^n} h^{-1}(0)$$

und damit als reelle Ableitungen von  $h^{-1}$  betrachtet:  $b_n \in \mathbb{R}$ . Für  $b_1$  gilt außerdem

$$b_1 = (h^{-1})'(0) = \frac{1}{h'(x_0)} = \frac{1}{a_K^{1/K}}$$

Sei  $y_0 = f(x_0)$ . Dann ist

$$f(x) = y \iff g(x) = y - y_0 \iff h(x)^k = y - y_0$$

Für  $x \geq x_0$  ist (weil  $h$  streng monoton wachsend)  $h(x) \geq h(x_0) = 0$  und damit

$$y = h(x)^k + y_0 \geq h(x_0)^k + y_0 = y_0$$

in diesem Fall ist  $h(x) = (y - y_0)^{1/k}$  und damit

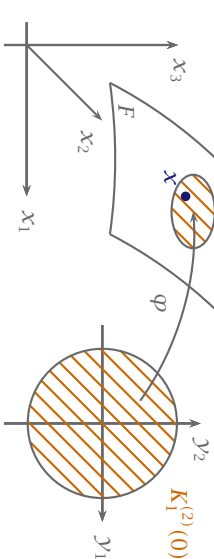
$$x = h^{-1}((y - y_0)^{1/k}) = x_0 + \underbrace{\sum_{n=1}^{\infty} b_n ((y - y_0)^{1/k})^n}_{=: f_+^{k-1}}$$

Für  $x \leq x_0$  ergibt sich umgekehrt  $y \leq y_0$ ,  $h(x) = -|y - y_0|^{1/k}$  und somit

$$x = h^{-1}(|y - y_0|^{1/k}) = x_0 + \underbrace{\sum_{n=1}^{\infty} b_n (-|y - y_0|^{1/k})^n}_{=: f_-^{k-1}}$$

Fläche im  $\mathbb{R}^3$

$$U(x) = \varphi(K_1^{(2)}(0))$$



- 4.1 Definition** 1.)  $S \subseteq \mathbb{R}^n$  heißt  $k$ -dimensionale differenzierbare Mannigfaltigkeit in  $\mathbb{R}^n$  ( $1 \leq k \leq n$ ), falls zu jedem  $x \in S$  eine offene Umgebung  $U(x)$  auf  $S$  (d.h.  $U(x) = O \cap S$ ,  $O \subseteq \mathbb{R}^n$  offen) existiert und eine Abbildung

$$\varphi_x : K_1^{(k)}(0) \rightarrow U(x) \subset O \quad (K_1^{(k)}(0) := \{y \in \mathbb{R}^k : |y| < 1\})$$

mit

- a.)  $\varphi_x$  bijektiv und  $\varphi_x^{-1}$  stetig  
b.)  $\varphi_x$  stetig differenzierbar  
c.)  $\text{Rang}(\frac{\partial \varphi_x}{\partial y}) = k$

Das Tupel  $(\varphi_x, U(x))$  nennt man Karte.

- 2.) Eine Menge

$$A(S) := \{(\varphi_j, U_j) : 1 \leq j \leq N\} := \{(\varphi_{x_j}, U(x_j)) : x_j \in S, 1 \leq j \leq N\}$$

mit

$$S = \bigcup_{j=1}^N U_j$$

heißt Atlas von  $S$ .

- 3.)  $S$  ist von der Klasse  $m \in \mathbb{N}$  (wir schreiben dann:  $S \in C^m$ ) falls ein Atlas  $A(S)$  existiert, sodass  $\varphi_j \in C^m$ .

Falls  $S \in C^m$ , betrachten wir nur solche Atlanen.

- 4.)  $S \subseteq \mathbb{R}^n$  mit  $S = \{x_0, \dots, x_N\}$  heißt 0-dimensionale Mannigfaltigkeit.

- 4.2 Vereinbarung Ab jetzt betrachten wir nur  $C^m$  Mannigfaltigkeiten, die einen Atlas besitzen.

$\gamma'(t)$  ist der Tangentenvektor von  $\gamma(t)$ .

$$= \int_{y(t)} (f_1 \circ \varphi) \begin{pmatrix} \partial_{x_1} \varphi_1 \\ \partial_{x_2} \varphi_1 \end{pmatrix} \cdot T \, ds$$

mit dem Satz von Green (8.5)

$$\stackrel{8.5}{=} \int_S \{\partial_{x_1} ((f_1 \circ \varphi) \cdot \partial_{x_2} \varphi_1) - \partial_{x_2} ((f_1 \circ \varphi) \cdot \partial_{x_1} \varphi_1)\} \, d(x_1, x_2)$$

Nach dem Satz von Schwartz dürfen wir die partiellen Ableitungen vertauschen

$$= \int_S \{\partial_{x_1} (f_1 \circ \varphi) \cdot \partial_{x_2} \varphi - \partial_{x_2} (f_1 \circ \varphi) \cdot \partial_{x_1} \varphi\} \, d(x_1, x_2)$$

$$\stackrel{x' = (x_1, x_2)}{=} \int_S \left( \sum_{j=1}^3 (\partial_{y_j} f_1) \varphi(x') \cdot \partial_{x_1} \varphi_j(x') \cdot \partial_{x_2} \varphi_1 \right. \\ \left. - \sum_{j=1}^3 (\partial_{y_j} f_1) \varphi(x') \cdot \partial_{x_2} \varphi_j(x') \cdot \partial_{x_1} \varphi_1 \right) \, dx'$$

Die Summanden für  $j = 1$  heben sich weg.

$$= \int_S \left( \partial_{y_2} f_1 (\partial_{x_1} \varphi_2 \cdot \partial_{x_2} \varphi_1) - \partial_{x_2} \varphi_2 \cdot \partial_{x_1} \varphi_1 \right) \\ + \partial_{y_3} f_1 (\partial_{x_1} \varphi_3 \cdot \partial_{x_2} \varphi_1 - \partial_{x_2} \varphi_3 \cdot \partial_{x_1} \varphi_1) \, dx'$$

Vergleich mit der anderen Seite.

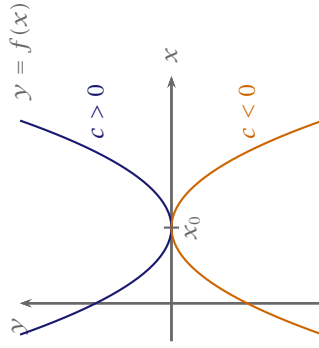
$$\int_F (\nabla \times f) \cdot n \, d\sigma = \int_S (\nabla \times f) \cdot (\partial_{x_1} \varphi \times \partial_{x_2} \varphi) \, d(x_1, x_2)$$

Damit wurde bewiesen: In allen Termen, in denen  $f_1$  vorkommt, stimmen linke und rechte Seite überein. Dasselbe für  $f_2$  und  $f_3$ . ■

Bemerkung: Aus dem Satz von Stokes 3.11 folgt:  $D \subseteq \mathbb{R}^3$  offen und konvex,  $f \in C^2(D \rightarrow \mathbb{R}^3)$ . Dann sind äquivalent:

- i)  $\nabla \times f = 0$  in  $D$
- ii)  $f$  besitzt in  $D$  ein Potential
- iii)  $\exists \Phi \in C^1(D \rightarrow \mathbb{R}) : f = \nabla \Phi$

3.16 ► Beispiel Sei  $f : \mathbb{R} \rightarrow \mathbb{R}$  mit  $f(x) = c(x - x_0)^4$  und  $x_0 \in \mathbb{R}$ .



Fall  $c < 0$ :

$$\begin{aligned} f_+ &: [x_0, \infty[ \rightarrow ]-\infty, 0] \\ f_+^{-1}(y) &= x_0 + \left| \frac{y}{c} \right|^{1/4} \\ f_- &: ]-\infty, x_0] \rightarrow ]-\infty, 0] \\ f_-^{-1}(y) &= x_0 - \left| \frac{y}{c} \right|^{1/4} \end{aligned}$$

Für  $c > 0$  ergeben sich dieselben Abbildungsvorschriften für  $f_+^{-1}, f_-^{-1}$ .

## 1.4 Integrale längs geschlossener Kurven

4.1 ► Beispiel

$$\begin{aligned} f(z) &= \sum_{n=0}^{\infty} a_n z^n \quad \text{für } |z| < r \\ g(z) &= \sum_{n=1}^{\infty} b_n z^n \quad \text{für } |z| < R, \quad \frac{1}{R} < r \end{aligned}$$

$$\text{Nebenrechnung: } \left| \frac{1}{z} \right| < R \iff |z| > \frac{1}{R}$$

Sei  $h(z) := f(z) + g(1/z)$

$$\begin{aligned} &\left\{ \begin{array}{l} h \text{ holomorph im Kreisring } \frac{1}{R} < |z| < r \\ \text{Für } \frac{1}{R} < |z| < r \text{ gilt } h(z) = \sum_{n=-\infty}^{\infty} c_n z^n \text{ mit } c_n = \begin{cases} a_n & n \geq 0 \\ b_n & n \leq -1 \end{cases} \end{array} \right. \\ &\Rightarrow \end{aligned}$$

#### 4.2 Laurent-Entwicklung Sei $0 \leq r < R$ und

$$K_{r,R}(z_0) := \{z \in \mathbb{C} : r < |z - z_0| < R\}$$

und  $f$  holomorph in  $K_{r,R}(z_0)$ . Dann ist  $f$  als Laurent-Reihe darstellbar.

$$f(z) := \sum_{n=-\infty}^{\infty} a_n (z - z_0)^n \quad \text{für } z \in K_{r,R}(z_0)$$

wobei

$$a_n = \frac{1}{2\pi i} \int_{|z-z_0|=\varrho} \frac{f(z)}{(z - z_0)^{n+1}} dz \quad \text{für } r < \varrho < R$$

(Cauchy-Formel für Laurent-Koeffizienten).

$$H(z) := \sum_{n=-1}^{-\infty} a_n (z - z_0)^n$$

heißt **Hauptteil**,

$$N(z) := \sum_{n=0}^{\infty} a_n (z - z_0)^n$$

heißt **Nebenteil** der Laurent-Reihe.

- 4.3 **Bemerkung:** 1.)  $r = 0$  ist erlaubt. Dann hat  $f$  in  $z_0$  eine isolierte Singularität (siehe unten). Riemannscher Hebbarkeitsatz: Entweder ist  $f$  beschränkt bei  $z_0$ , dann ist es holomorph fortsetzbar in  $z_0$ , oder  $f$  ist unbeschränkt für  $z \rightarrow z_0$ .

Im ersten Fall sei  $\tilde{f}$  die holomorphe Fortsetzung. Für  $n < 0$  gilt dann

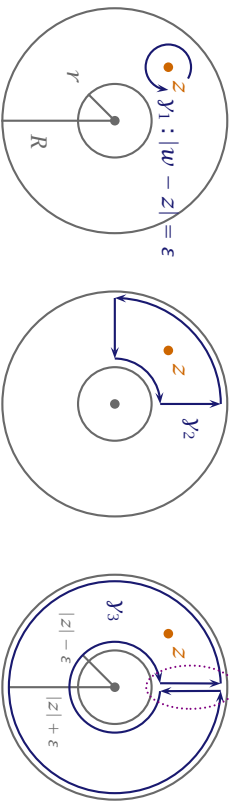
$$a_n = \frac{1}{2\pi i} \int_{|z-z_0|=\varrho} \overbrace{f(z)(z - z_0)^{-n-1}}^{\text{holomorph in } K_{r,R}(z_0)} dz = 0$$

Damit ist der Hauptteil der Laurentreihe  $H(z) = 0$ .

- 2.)  $N(z)$  konvergiert immer im ganzen äußeren Kreis  $K_R(z_0)$ .  $H(z)$  konvergiert immer außerhalb des inneren Kreises:  $\{z \in \mathbb{C} : |z - z_0| > r\} = \mathbb{C} \setminus \overline{K_r(z_0)}$ .

**BEWEIS VON 4.2** O.B.d.A.  $z_0 = 0$ . Sei  $z$  aus  $K_{r,R}(0)$  fest,  $\varepsilon := \frac{1}{2} \min\{R - |z|, |z| - r\}$

Wegintegrale heben sich weg



#### Linke Seite

$$\int_S \partial_{x_3} f_3 dx = \int_{S_3} \int_{\substack{\beta(x_1, x_2) \\ x_3 = \alpha(x_1, x_2)}} \partial_{x_3} f(x_1, x_2, x_3) dx_3 d(x_1, x_2)$$

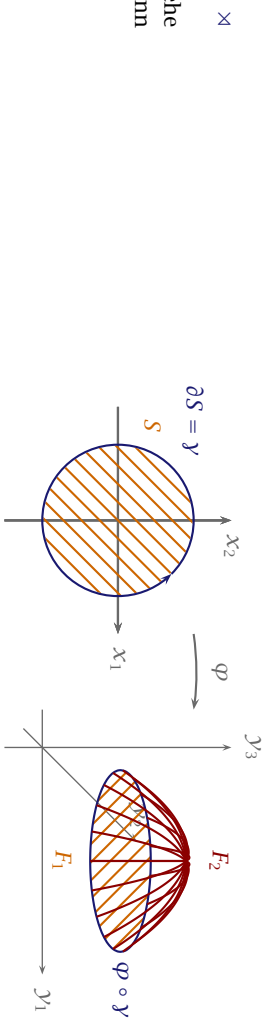
#### Rechte Seite

$$\int_{S_3} \left( f_3(x_1, x_2, \beta(x_1, x_2)) - f_3(x_1, x_2, \alpha(x_1, x_2)) \right) d(x_1, x_2)$$

- 3.11 **Satz von Stokes im  $\mathbb{R}^3$**  Seien  $D \subseteq \mathbb{R}^3$  offen,  $f \in C^1(D \rightarrow \mathbb{R}^3)$ ,  $F \subseteq D$ , Fläche mit Parameterdarstellung  $(\varphi, S)$ ,  $S \subseteq \mathbb{R}^2$  Greenscher Bereich mit stückweise glatten  $\partial S$ ,  $\varphi \in C^2(\overline{S} \rightarrow \mathbb{R}^3)$ . Dann gilt:

$$\int_F (\nabla \times f) \cdot n d\sigma = \int_{\partial F} f \cdot T ds$$

Hierbei mit  $\partial F$  so orientiert sein, dass es Bild einer für den Greenschen Satz richtig orientierten Randkurve  $y$  von  $S$  ist.



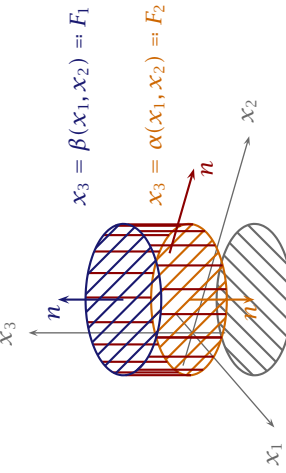
Der Satz sagt aus: Egal wie  $F$  (z.B.  $F_1, F_2$ ) in  $D$  liegt, solange der Rand gleich bleibt, bleibt

$$\int_F \nabla \times f dx$$

gleich.

**BEWEIS** Sei

$$\begin{aligned} \int_{\partial F} f \cdot T ds &= \sum_{j=1}^3 \int_{\varphi \circ y} f_j \cdot T_j ds \\ \int_{\varphi \circ y} f_j \cdot T_j ds &= \int_a^b f_1(\varphi \circ y(t)) \left( \frac{d}{dt} (\varphi_1 \circ y)(t) \right) dt \\ &= \int_a^b f_1(\varphi \circ y(t)) \left( \frac{\partial x_1}{\partial x_2} \varphi_1'(y(t)) \right) y'(t) dt \end{aligned}$$



Es gilt:  $\gamma_1 \sim \gamma_2 \sim \gamma_3$  in  $K_{r,R}(0) \setminus \{z\}$ .

Cauchyseher Integralsatz (2.4)

$$f(z) = \frac{1}{2\pi i} \int_{|w-z|=\varepsilon} \frac{f(w)}{w-z} dw = \frac{1}{2\pi i} \int_{\gamma_3} \frac{f(w)}{w-z} dw$$

Weil der innere Weg in mathematisch negativer Richtung durchlaufen wird erhält das zugehörige Integral ein negatives Vorzeichen

$$\begin{aligned} &= \frac{1}{2\pi i} \int_{|w|=|z|+\varepsilon} \frac{f(w)}{w-z} dw - \frac{1}{2\pi i} \int_{|w|=|z|-\varepsilon} \frac{f(w)}{w-z} dw \\ &= \frac{1}{2\pi i} \underbrace{\int_{|w|=|z|+\varepsilon} f(w) \frac{1}{w-z} dw}_{= \sum_{n=0}^{\infty} (z/w)^n \text{ gleichmäßig}} - \frac{1}{2\pi i} \underbrace{\int_{|w|=|z|-\varepsilon} f(w) \frac{1}{w-z} dw}_{= a_k \text{ für } n \in \mathbb{N}} \\ &= \sum_{n=0}^{\infty} (w/z)^n \text{ gleichmäßig} \\ &= \sum_{n=0}^{\infty} (w/z)^n \text{ gleichmäßig} \end{aligned}$$

Vertausche Integral und Summe

$$\begin{aligned} &= \sum_{n=0}^{\infty} \frac{1}{2\pi i} \int_{|w|=|z|+\varepsilon} \frac{f(w)}{w^{n+1}} dw z^n + \sum_{n=0}^{\infty} \frac{1}{2\pi i} \int_{|w|=|z|-\varepsilon} \frac{f(w)}{w^{-n}} dw z^{-n-1} \\ &= \sum_{n=0}^{\infty} \underbrace{\frac{1}{2\pi i} \int_{\varepsilon} f(w) \frac{1}{w^{n+1}} dw z^n}_{= a_n \text{ für } n \in \mathbb{N}} + \sum_{k=-1}^{-\infty} \underbrace{\frac{1}{2\pi i} \int_{\varepsilon} f(w) \frac{1}{w^{k+1}} dw z^k}_{= a_k \text{ für } -k \in \mathbb{N}} \end{aligned}$$

■

4.4 Definition 1.) Sei  $O \subseteq \mathbb{C}$  offen,  $f$  holomorph in  $O$ . Dann hat  $f$  in  $z_0 \in \mathbb{C} \setminus O$  eine isolierte Singularität, falls

$$\exists r > 0 : K_{0,r}(z_0) \subseteq O$$

(mit anderen Worten: einzlig  $z_0$  ist nicht in  $O$  enthalten und  $z_0$  ist komplett umhüllt von  $O$ )

2.)  $f$  habe in  $z_0$  eine isolierte Singularität. Nach 4.2 gilt

$$f(z) = \sum_{n=-\infty}^{\infty} a_n (z - z_0)^n \quad \text{in } K_{0,r}(z_0)$$

$$\begin{aligned} F_2 : \quad n_3 &= -\frac{1}{\|\dots\|} > 0 \\ F_3 : \quad n_3 &= 0 \end{aligned}$$

Da die Komponente  $n_3$  positiv ist, zeigt der Normalenvektor nach oben. Nach Voraussetzung muss der Normalenvektor immer aus  $S$  hinausweisen. Vergleicht man dies mit der Grafik zeigt sich, dass die Voraussetzung erfüllt ist. Wir haben also den richtigen Normalenvektor gefunden. Analog für  $F_2$  und  $F_3$ :

$$\begin{aligned} f_2 : \quad n_3 &= -\frac{1}{\|\dots\|} \\ f_3 : \quad n_3 &= 0 \end{aligned}$$

$$\begin{aligned} \int_{\partial S} f_3 \cdot n_3 d\sigma &= \int_{F_1} f_3 \cdot \frac{1}{\|\dots\|} d\sigma + \int_{F_2} f_3 \cdot \frac{-1}{\|\dots\|} d\sigma + \int_{F_3} 0 d\sigma \\ &= \int_{S_3} f_3 \left( \begin{array}{c} x_1 \\ x_2 \\ \beta(x_1, x_2) \end{array} \right) \cdot \frac{1}{\|\dots\|} d(x_1, x_2) \\ &\quad - \int_{S_3} f_3 \left( \begin{array}{c} x_1 \\ x_2 \\ \alpha(x_1, x_2) \end{array} \right) d(x_1, x_2) \end{aligned}$$

a.) Falls  $H(z) = 0$ , d.h.  $a_n = 0$  für  $n \leq -1$ , heißt die Singularität **hebbar**.

b.) Falls  $H(z)$  nur endlich viele Summanden hat und  $H \neq 0$ , also

$$\exists N \leq -1 : (a_N \neq 0 \wedge \forall n < N : a_n = 0)$$

dann heißt  $z_0$  **Polstelle**,

$$K := -\min\{n \in \mathbb{Z} : a_n \neq 0\}$$

heißt **Ordnung des Poles**.

- c.) Falls  $H$  unendlich viele Summanden hat  
 $\forall N \in \mathbb{Z} \exists n < N : a_n \neq 0$

hat  $f$  in  $z_0$  eine **wesentliche Singularität**

$$\nabla$$

- 4.5 ▶ Beispiel 1.) Sei  $\varrho = \mathbb{C} \setminus \{0\}$ ,

$$f : O \rightarrow \mathbb{C} : z \mapsto e^{1/z} = \sum_{n=0}^{\infty} \frac{1}{n!} z^{-n}$$

hat wesentliche Singularität in  $z_0 = 0$ .

- 2.) Sei  $f(z) := \frac{p(z)}{q(z)}$  wobei  $p, q$  Polynome sind. Vereinfachungen:

- 1.)  $\text{Grad}(p) < \text{Grad}(q)$ , sonst Polynomdivision

- 2.) Seien  $z_1, \dots, z_n$  Nullstellen von  $q$ . Es soll  $p(z_j) \neq 0$  sein ( $j = 1, \dots, n$ ), sonst gemeinsame Faktoren kürzen, eventuell holomorph ergänzen.

Partialbruchzerlegung:

$$q(z) = (z - z_1)^k \tilde{q}(z) \quad \tilde{q}(z) \neq 0$$

$$\Rightarrow f(z) = \underbrace{\sum_{n=1}^{\infty} \frac{c_j}{(z - z_1)^n}}_{\text{Hauptteil der Laurent-Reihe}} + \underbrace{\tilde{q}(z)}_{\text{Residuum}} \quad \text{mit } \text{Grad}(\tilde{p}) < \text{Grad}(\tilde{q})$$

⇒  $f$  hat in  $z_1$  einen Pol der Ordnung  $K$



- 4.6 Bemerkung:  $f$  hat genau dann in  $z_0$  einen Pol der Ordnung  $K$ , falls

$$f(z) = \sum_{n=-K}^{\infty} a_n (z - z_0)^n = \underbrace{\frac{1}{(z - z_0)^K}}_{=g(z)} \sum_{n=-K}^{\infty} a_n (z - z_0)^{n+K}$$

das heißt, falls

$$f(z) = \frac{1}{(z - z_0)^K} g(z)$$

$g$  holomorph in  $K_\varepsilon(z_0)$  und  $g(z) \neq 0$ , weil  $a_{-K} \neq 0$

⇒ Falls  $f$  in  $z_0$  einen Pol der Ordnung  $K \geq 1$  hat, gilt

$$|f(z)| = \frac{1}{|z - z_0|^K} |g(z)| \rightarrow \infty \text{ für } z \rightarrow z_0$$

ZUM BEWEIS Green gilt in jedem  $S_j$ . Wegintegrale über gemeinsame Randteile heben sich weg. ■

3.10 Satz von Gauß im  $\mathbb{R}^3$  Sei  $f \in C^1(D \rightarrow \mathbb{R}^3)$ ,  $D \subseteq \mathbb{R}^3$  offen,  $S \subseteq D$  Standardbereich, so dass bei jeder Projektion der untere und obere Randflächen sind. Dann gilt

$$\int_S \nabla \cdot f \, dx = \int_{\partial S} f \cdot n \, d\sigma$$

wobei  $n$  der Normaleneinheitsvektor ist, der aus  $S$  hinaus weist.

Beweis Sei  $S_3$  Projektion von  $S$  in  $x_3$ -Richtung.

$$\overline{S} = \{(x', x_3) \in \mathbb{R}^3 : \alpha(x') \leq x_3 \leq \beta(x')\}$$

Zeige:

$$\int_S \partial_{x_3} f_3 \, dx = \int_{\partial S} f_3 \cdot n_3 \, d\sigma$$

- 4.7 Casorati-Weierstraß-Sokhotski Hat  $f$  in  $z_0$  eine wesentliche Singularität, so ist  $f(K_{0,\varepsilon}(z_0))$  dicht in  $\mathbb{C}$  sobald  $\varepsilon$  so klein, dass  $f$  auf ganz  $K_{0,\varepsilon}(z_0)$  definiert ist, dann für alle solchen  $\varepsilon > 0$ .

3.8 Definition  $S \subseteq \mathbb{R}^n$  heißt **Greßscher Bereich**, wenn  $S = S_1 \cup \dots \cup S_k$ , wo bei  $S_j$  ein Standardbereich ist.

◀

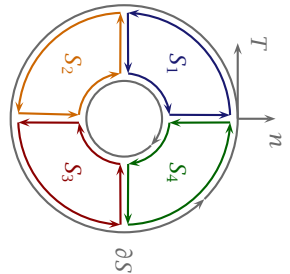
### 3.9 Folgerung Der Satz von Green

$$\int_S \left( \frac{\partial f_1}{\partial x_2} - \frac{\partial f_2}{\partial x_1} \right) \, dx = - \int_{\partial S} f \cdot T \, ds$$

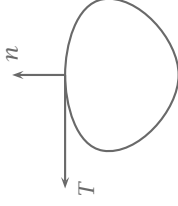
gilt auch in Greenschen Bereichen, wenn  $\partial S$  stückweise glatt so parametrisiert ist, dass

$$n = \begin{pmatrix} T_2 \\ -T_1 \end{pmatrix} \quad \left( T = \begin{pmatrix} T_1 \\ T_2 \end{pmatrix} \right)$$

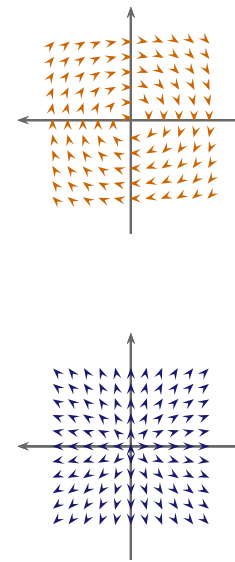
in jedem Punkt von  $\partial S$  aus  $S$  hinaus weist.



$n$  ist der Normaleneinheitsvektor, der ins Äußere von  $S$  zeigt:  $T = \begin{pmatrix} T_1 \\ T_2 \end{pmatrix} \Rightarrow n = \begin{pmatrix} T_2 \\ -T_1 \end{pmatrix}$ .



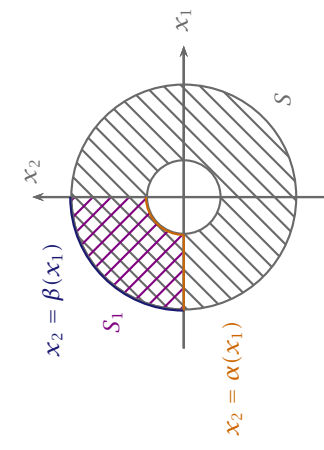
3.6 ▶ **Beispiel**  $D = \mathbb{R}^2, f(x_1, x_2) = a \begin{pmatrix} x_1 \\ x_2 \end{pmatrix} + b \begin{pmatrix} x_2 \\ -x_1 \end{pmatrix}, S = K_1(0)$



$$\int_S \operatorname{div} f \, d\mathbf{x} = \int_S 2a \, d\mathbf{x} = 2a\pi = \int_{\partial S} \left( a \begin{pmatrix} x_1 \\ x_2 \end{pmatrix} \cdot \mathbf{n} + 0 \right) \, ds$$

$$\int_S (\partial_{x_2} f_1 - \partial_{x_1} f_2) \, d\mathbf{x} = 2b\pi = - \int_{\partial S} \left( 0 + b \begin{pmatrix} x_2 \\ -x_1 \end{pmatrix} \cdot \mathbf{t} \right) \, ds$$

3.7 ▶ **Beispiel**  $S$  ist kein Standardbereich.



**BEWEIS** Sei so ein  $\varepsilon > 0$  fest. Annahme:

$$\exists w \in \mathbb{C} \ \exists \delta > 0 : K_\delta(w) \subset \mathbb{C} \setminus f(K_{0,\varepsilon}(z_0))$$

Sei

$$g(z) := \frac{1}{f(z) - w}, \quad z \in K_{0,\varepsilon}(z_0)$$

$$\Rightarrow \begin{cases} g \text{ holomorph} \\ g \text{ beschränkt } |g(z)| = \frac{1}{|f(z) - w|} < \frac{1}{\delta} \end{cases}$$

Riemannscher Hebbarkeitssatz:  $g$  fortsetzbar zu  $\tilde{g} : K_\varepsilon(z_0) \rightarrow \mathbb{C}$  holomorph.

Fall 1:

$$\begin{aligned} \tilde{g}(z_0) \neq 0 &\Rightarrow \frac{1}{\tilde{g}} \text{ holomorph in } K_\varepsilon(z_0) \\ &\Rightarrow f(z) = \frac{1}{\tilde{g}(z)} + w \text{ holomorph fortsetzbar in } z = z_0 \\ &\Rightarrow H = 0 \neq \end{aligned}$$

Fall 2:

$$\tilde{g}(z_0) = 0, K \text{ Ordnung der Nullstelle}$$

a.)  $K = \infty$ : Dann  $\tilde{g} = 0$  in  $K_\varepsilon(z_0) \not\ni \tilde{g}(z) = \frac{1}{f(z) - w} \neq 0$  für  $z \in K_{0,\varepsilon}(z_0)$

b.)  $K \in \mathbb{N}$ :

$$\begin{aligned} \tilde{g}(z_0) &= \sum_{n=-K}^{\infty} a_n (z - z_0)^n, \quad |z - z_0| < \varepsilon \\ &= (z - z_0)^K \sum_{n=K}^{\infty} a_n (z - z_0)^{n-K} \\ &= (z - z_0)^K h(z), \quad h(z_0) \neq 0 \\ &\Rightarrow \frac{1}{\tilde{g}(z)} = \frac{1}{(z - z_0)^K} \frac{1}{h(z)} \text{ für } 0 < |z - z_0| < \varepsilon \\ &\Rightarrow f(z) = \frac{1}{\tilde{g}(z)} + w \text{ hat Pol der Ordnung } K \text{ in } z_0 \not\ni \end{aligned}$$

■

4.8 Folgerung:  $f$  hat Pol in  $z_0 \Leftrightarrow |f(z)| \rightarrow \infty$  für jedes genügend kleine  $\varepsilon > 0$  in  $z_0$

$\Leftrightarrow f(K_\varepsilon(z_0))$  ist dicht in  $\mathbb{C}$  für jedes genügend kleine  $\varepsilon > 0$

$\Leftrightarrow |f(z)|$  unbeschränkt, aber nicht bestimmt divergent für  $z \rightarrow z_0$

$\frac{|f(z)| \text{ bestimmt divergent für } z \rightarrow z_0}{|f(z)|^2 \text{ bestimmt divergent für } z \rightarrow z_0}$

$S_1$  ist ein Standardbereich.  $S$  ist darstellbar als disjunkte Vereinigung von Standardbereichen.

$f$  hat hebbare Singularität in  $z_0 \iff |f|$  beschränkt für  $z \rightarrow z_0$

4.9 **Definition** Sei  $y$  geschlossener Weg,  $z_0 \in \mathbb{C} \setminus \text{Bild}(y)$ . Dann heißt

$$\nu(y, z_0) := \frac{1}{2\pi i} \int_y \frac{1}{z - z_0} dz$$

die **Umlaufszahl** von  $y$  um  $z_0$ .

4.10 **Satz**  $\nu(y, z_0) \in \mathbb{Z}$

**Beweis**  $\nu(y, z_0) \in \mathbb{Z} \iff e^{2\pi i \nu(y, z_0)}$ . Sei

$$\varphi(s) := \exp \left( \int_a^s \frac{1}{y(t) - z_0} y'(t) dt \right), \quad (y : [a : b] \rightarrow \mathbb{C})$$

Zeige  $\varphi(b) = 1$ .

$$\begin{aligned} \varphi'(s) &= \varphi(s) \frac{1}{y(s) - z_0} y'(s), \quad \text{für } s \in [a, b] \setminus \{t_0, \dots, t_n\} \\ \Rightarrow \frac{d}{ds} \left( \frac{\varphi(s)}{y(s) - z_0} \right) &= \frac{\varphi'(y - z_0) - \varphi y'}{(y - z_0)^2} = 0, \quad \text{für } s \in [a, b] \setminus \{t_0, \dots, t_n\} \\ \Rightarrow \frac{\varphi(s)}{y(s) - z_0} &= \text{const auf Teilintervallen} \end{aligned}$$

es existieren nur endliche viele Teilintervalle und  $\frac{\varphi(s)}{y(s) - z_0}$  ist stetig

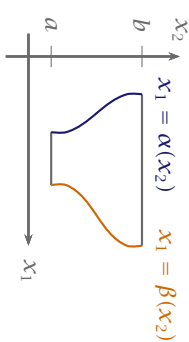
$$\begin{aligned} \Rightarrow \frac{\varphi(s)}{y(s) - z_0} &= \text{const auf } [a, b] \\ &= \frac{\varphi(a)}{y(a) - z_0} \\ &= \frac{1}{y(a) - z_0} \\ \stackrel{s=b}{\Rightarrow} \varphi(b) &= \frac{y(b) - z_0}{y(a) - z_0} = 1 \quad \text{da } y(a) = y(b) \quad ■ \end{aligned}$$

$$\begin{aligned} \Rightarrow \int_S g \cdot T_1 ds &= \int_0^4 g(y(t)) \cdot y'_1(t) dt \\ &= \int_0^1 g \left( \alpha(a + t(b-a)) \right) (b-a) dt + 0 \\ &\quad + \int_0^3 g \left( \beta(b+(t-2)(a-b)) \right) (a-b) dt + 0 \\ &= \int_a^b g \left( \alpha(x_1) \right) dx_1 - \int_a^b g \left( \beta(x_1) \right) dx_1 \quad ■ \end{aligned}$$

Andererseits

$$\begin{aligned} \int_S \partial_{x_2} g d(x_1, x_2) &= \int_{x_1=a}^b \int_{x_2=\alpha(x_1)}^{\beta(x_1)} \partial_{x_2} g(x_1, x_2) dx_2 dx_1 \\ &= \int_{x_1=a}^b (\vartheta(x_1, \beta(x_1)) - \vartheta(x_1, \alpha(x_1))) dx_1 \end{aligned}$$

Für Gleichung (\*) genauso, aber  $\partial S$  in andere Richtung parametrisieren



4.11 **Beispiel** 1.)  $y_N : [0, N] \rightarrow \mathbb{C} : t \mapsto e^{2\pi i t}$

3.5 **Folgerungen:** Voraussetzungen wie in 8.4, aber  $f \in C^1(D \rightarrow \mathbb{R}^2)$

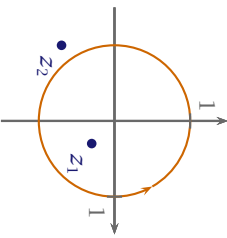
1.) Satz von Green:

$$\int_S (\partial_{x_2} f_1 - \partial_{x_1} f_2) dx = - \int_{\partial S} f \cdot T ds$$

$$\stackrel{8.4}{=} - \int f_1 \cdot T_1 ds - \int f_2 \cdot T_2 ds$$

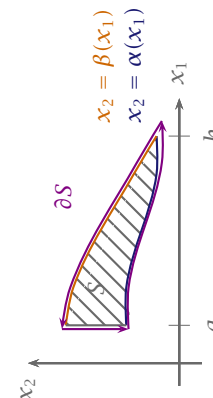
2.) Satz von Gauß in der Ebene

$$\begin{aligned} \iff |f(z)| &\rightarrow \infty \\ \iff \forall M > 0 \exists \delta > 0 : |z - z_0| < \delta &\Rightarrow |f(z)| > M \end{aligned}$$



wobei  $T = \begin{pmatrix} T_1 \\ T_2 \end{pmatrix}$  der Tangentenvektor ist.

**Beweis** Vorüberlegung



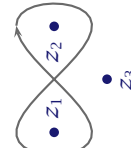
Parameterdarstellung von  $\partial S$ :

$$\begin{aligned} y(t) &= \begin{cases} \begin{pmatrix} a + t(b-a) \\ \alpha(a + t(b-a)) \end{pmatrix} & 0 \leq t < 1 \\ \begin{pmatrix} b \\ \alpha(b) + (t-1)(\beta(b) - \alpha(b)) \end{pmatrix} & 1 \leq t < 2 \\ \begin{pmatrix} b + (t-2)(a-b) \\ \beta(b + (t-2)(a-b)) \end{pmatrix} & 2 \leq t < 3 \\ \begin{pmatrix} a \\ \beta(a) + (t-3)(\alpha(a) - \beta(a)) \end{pmatrix} & 3 \leq t < 4 \end{cases} \\ \Rightarrow y'(t) &= \begin{cases} \begin{pmatrix} b-a \\ \dots \\ 0 \end{pmatrix} & 0 < t < 1 \\ \begin{pmatrix} \dots \\ a-b \\ 2 \end{pmatrix} & 1 < t < 2 \\ \dots & 2 < t < 3 \\ \begin{pmatrix} 0 \\ \dots \end{pmatrix} & 3 < t < 4 \end{cases} \end{aligned}$$

$$\nu(\gamma_N, 0) = N \Rightarrow \nu(-\gamma_N, 0) = -N$$

$$\nu(\gamma_N, z_1) = N \text{ falls } |z_1| < 1 \quad (\gamma_N \text{ in } \mathbb{C} \setminus \{z\} \text{, } \tilde{\gamma}_N : t \mapsto z_1 + e^{2\pi i t}, \text{ dasselbe Integral})$$

$$\nu(\gamma_N, z_2) = 0 \text{ falls } |z_2| > 1, \text{ da } \gamma_N \text{ nullhomotop in } \mathbb{C} \setminus \{z_2\}$$



2.)

$$\nu(y, z_j) = \begin{cases} 0 & j = 3 \\ 1 & j = 1 \\ -1 & j = 2 \end{cases}$$

4.12 Satz Sei

$$f(z) = \sum_{n=-\infty}^{\infty} a_n (z - z_0)^n, \quad 0 < |z - z_0| < R$$

und y geschlossener Weg in  $K_{0,R}(z_0)$ . Dann

$$\int_Y f(z) dz = 2\pi i a_{-1} \nu(y, z_0)$$

BEWEIS

$$\begin{aligned} g(z) &:= f(z) - a_{-1}(z - z_0)^{-1} \\ &:= \sum_{n=-\infty, n \neq -1}^{\infty} a_n (z - z_0)^n \end{aligned}$$

Dann ist

$$G(z) := \sum_{n=-\infty, n \neq -1}^{\infty} \frac{a_n}{n+1} (z - z_0)^{n+1}$$

eine Stammfunktion in  $K_{0,R}(z_0)$

$$\begin{aligned} \Rightarrow \int_Y g(z) dz &= G(\text{Endpunkt}) - G(\text{Anfangspunkt}) = 0 \\ \Rightarrow \int_Y f(z) dz &= \int_Y \overbrace{g(z) dz + a_{-1} \int_Y (z - z_0)^{-1} dz}^{= \nu(y, z_0) / 2\pi i} \end{aligned}$$

**4.13 Definition** Sei  $f$  holomorph in  $O$  mit isolierter Singularität  $z_0$  und der Laurent-Entwicklung

$$f(z) = \sum_{n=-\infty}^{\infty} a_n (z - z_0)^n, \quad 0 < |z - z_0| < R$$

Dann heißt

$$\text{Res}(f, z_0) := a_{-1} = \frac{1}{2\pi i} \int_{|z-z_0|=r} f(z) dz, \quad \text{für } 0 < r < R$$

**Residuum von  $f$  in  $z_0$ .**

**4.14 ▶ Beispiel**

1.)

$$\begin{aligned} \frac{\sin z}{z^2} &= \sum_{n=0}^{\infty} (-1)^n \frac{z^{2n-1}}{(2n+1)!} = \underbrace{\frac{(-1)^0}{1!} z^{-1}}_{=a_{-1}} + \frac{(-1)^1}{3!} z^1 + \frac{(-1)^2}{5!} z^3 + \dots \\ \Rightarrow \quad \text{Res}\left(\frac{\sin z}{z^2}, 0\right) &= \frac{(-1)^0}{1!} = 1 \end{aligned}$$

2.)

$$\begin{aligned} e^{1/z} &= \sum_{n=0}^{\infty} \frac{1}{n!} \frac{1}{z^n} \\ \Rightarrow \quad \text{Res}(e^{1/z}, 0) &= 1 \end{aligned}$$

3.)

$$e^{1/z^2} = \frac{1}{0!} \frac{1}{z^0} + \frac{1}{1!} \frac{1}{z^2} + \frac{1}{2!} \frac{1}{z^4} + \dots$$

es gibt hier kein  $z^{-1}$ , also  $a_{-1} = 0$

$$\Rightarrow \quad \text{Res}(e^{1/z^2}, 0) = 0$$

◀

**4.15 Residuensatz.** Sei  $O \subseteq \mathbb{C}$  offen,  $f$  holomorph in  $O \setminus S$ , es gelte

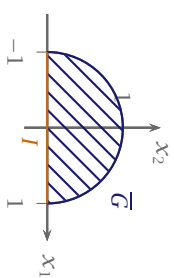
$\forall z \in S : f$  hat in  $z$  eine isolierte Singularität

und  $y$  sei ein  $C^1$ -nullhomotoper Weg in  $O$ ,  $\text{Bild}(y) \cap S = \emptyset$ , Dann

$$\int_y f(z) dz = \sum_{z \in S} 2\pi i \text{Res}(f, z) v(y, z)$$

und die Summe hat nur endlich viele Summanden  $\neq 0$ .

**Beweis** Schritt 1: Zeige, dass nur endlich viele Summanden  $\neq 0$  sind.



$\overline{G}$  ist projizierbar in  $x_2$ -Richtung

$$I = ]-1, 1[$$

$$\tilde{\alpha}(x_1) = 0$$

$$\tilde{\beta}(x_1) = \sqrt{1 - x_1^2}$$

☒

$$\begin{aligned} \Rightarrow \quad \int_S x_2 x_3 dx &= \int_{\overline{G}} \left( \int_0^{2-x_2^2} x_2 x_3 dx_3 \right) d(x_1, x_2) \\ &= \int_{\overline{G}} x_2 \frac{x_3^2}{2} \Big|_{x_3=0}^{2-x_2^2} d(x_1, x_2) \\ &= \int_{\overline{G}} \frac{1}{2} x_2 (2 - x_2^2)^2 d(x_1, x_2) \end{aligned}$$

$$\begin{aligned} &= \frac{1}{2} \int_{\overline{G}} \left( \int_0^{\sqrt{1-x_1^2}} x_2 (2 - x_2^2)^2 \Big|_0^{\sqrt{1-x_1^2}} dx_2 \right) dx_1 \\ &= \frac{1}{2} \int_{\overline{G}} -\frac{1}{6} (2 - x_2^2)^3 \Big|_0^{\sqrt{1-x_1^2}} dx_1 \\ &= \frac{1}{2} \int_{\overline{G}} \frac{8}{6} - \frac{1}{6} (1 + x_1^2)^3 dx_1 \end{aligned}$$

$$\begin{aligned} &= \frac{1}{12} \int_{-1}^1 (7 - x_1^6 - 3x_1^4 - 3x_1^2) dx_1 \\ &= \frac{1}{12} (14 - \frac{2}{7} - \frac{6}{5} - 2) \\ &= \frac{1}{12} (14 - \frac{2}{7} - \frac{6}{5} - 2) \end{aligned}$$

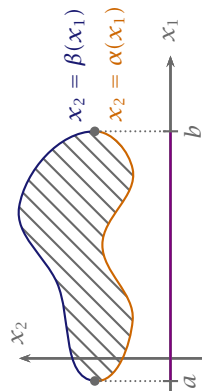
◀

**3.4 Integralsatz im  $\mathbb{R}^2$**  Sei  $S \subseteq \mathbb{R}^2$  ein Standardbereich, dann sei  $f, g \in C^1(D \rightarrow \mathbb{R})$ ,  $D$  offen und  $\overline{S} \subseteq D$ . Bei der projizierten Darstellung in  $x_1$ - bzw.  $x_2$ -Richtung seien  $\alpha, \beta$  stückweise glatt.  $\partial S$  werde im Gegenuhzeigersinn<sup>1</sup> durchlaufen. Dann

$$\begin{aligned} \left( \int_{\partial S} f dx_2 = \right)_1 \int_{\partial S} f \cdot T_2 ds &= - \int_{\partial S} \partial_{x_1} f dx_1 \\ \left( \int_{\partial S} g dx_1 = \right)_1 \int_{\partial S} g \cdot T_1 ds &= - \int_{\partial S} \partial_{x_2} g dx_2 \end{aligned} \quad (*)$$

<sup>1</sup>Neologismus von PD Dr. Lesky, eigentlich: »gegen den Uhrzeigersinn«

z.B.  $n = 2$ . Die Funktion ist projizierbar in  $x_2$ -Richtung, aber nicht in  $x_1$ -Richtung.



3.2 **Bemerkung:** Ist  $S$  projizierbar in  $x_n$ -Richtung und  $f : S \rightarrow \mathbb{R}$  messbar mit

$$\int_S |f| dx < \infty$$

so folgt aus dem Satz von Fubini:

- 1.)  $f(x', \cdot) : [\alpha(x'), \beta(x')] \rightarrow \mathbb{R}$  ist messbar für fast alle  $x' \in G$
- 2.) fast überall ist

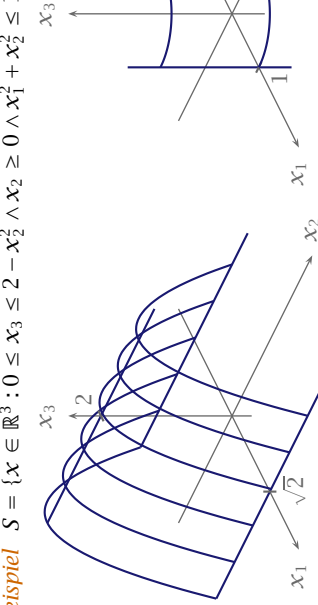
$$F(x') := \int_{\alpha(x')}^{\beta(x')} f(x', x_n) dx_n$$

definiert

$$3.) \quad \int_S f dx = \int_{\overline{G}} \int_{x_n=\alpha(x')}^{\beta(x')} f(x', x_n) dx_n dx'$$

→

3.3 **Beispiel**  $S = \{x \in \mathbb{R}^3 : 0 \leq x_3 \leq 2 - x_2^2 \wedge x_2 \geq 0 \wedge x_1^2 + x_2^2 \leq 1\}$ . Vorstellung: Schnitt von



$S$  ist projizierbar in  $x_3$ -Richtung:

$$G = \{(x_1, x_2) : x_2 \geq 0 \wedge x_1^2 + x_2^2 < 1\}_{(x_1, x_2) \in G}$$

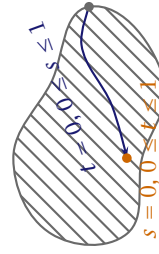
$$\alpha(x_1, x_2) = 0 \quad \beta(x_1, x_2) = 2 - x_2^2 > 2 - 1 > \alpha(x_1, x_2)$$

a.) Für alle hebbaren Singularitäten  $z$  gilt  $\text{Res}(f, z) = 0$

$$\Rightarrow \sum_S \dots = \sum_{S'} \dots$$

mit  $S' := \{z \in S : f \text{ hat in } z \text{ eine wesentliche Singularität, oder einen Pol}\}$ .

b.) Sei  $\Phi$  die Homotopie zwischen  $\gamma$  und einem konstanten Weg.



$\text{Bild}(\Phi)$  ist kompakt ( $\Phi$  ist stetig,  $[0, 1] \times [0, 1]$  ist kompakt).

**Behauptung:** In  $\text{Bild}(\Phi)$  liegen nur endlich viele isolierte Singularitäten.

**Annahme:** Es gibt mindestens abzählbar viele isolierte Singularitäten.

$$\text{Bild}(\Phi) \text{ kompakt} \Leftrightarrow \exists \text{ Häufungspunkt } z_0 \in \text{Bild}(\Phi).$$

Sei  $(z_n)$  Folge in  $S'$ ,  $z_n \rightarrow z_0$ ,  $z_n \neq z_0$ .

$$\stackrel{4.8}{\Rightarrow} \exists (\tilde{z}_n) \in O : |\tilde{z}_n - z_n| \leq \frac{1}{n} \wedge |f(\tilde{z}_n)| \geq n$$

$$\Rightarrow \tilde{z}_n \rightarrow z_0 \wedge |f(\tilde{z}_n)| \rightarrow \infty$$

$$\stackrel{4.8}{\Rightarrow} f \text{ hat in } z_0 \text{ einen Pol oder eine wesentliche Singularität}$$

$\gamma(z_n \rightarrow z_0)$  und  $z_0$  ist isolierte Singularität.

c.) Für  $z_0 \in S' \setminus \text{Bild}(\Phi)$  gilt  $\nu(\gamma, z_0) = 0$ . Setze

$$g(z) := \frac{1}{z - z_0}$$

holomorph in  $\mathbb{C} \setminus \{z_0\}$ .

$$\text{Bild}(\Phi) \subseteq \mathbb{C} \setminus \{z_0\}$$

$\Rightarrow \Phi$  ist eine Homotopie zwischen  $\gamma$  und einer konstanten Kurve in  $\mathbb{C} \setminus \{z_0\}$ .

$$\stackrel{y \text{ nullhomotop}}{\Rightarrow} \int_y \frac{1}{z - z_0} dz = 0$$

$\Rightarrow \nu(\gamma, z_0) = 0$

$$\Rightarrow \sum_{z \in S'} \dots = \sum_{z \in S'} \stackrel{\text{b.}}{=} \text{endliche Summe.} \quad S'' := S' \cap \text{Bild}(\Phi)$$

**Schritt 2:**  $S'' = \{z_1, \dots, z_n\}$ ,  $H_j$  Hauptteil in  $z_j$ . Sei

$$g(z) := f(z) - H_j(z)$$

holomorph in  $O \setminus S$

$\Rightarrow g$  hat in  $\text{Bild}(\Phi)$  nur hebbare Singularitäten.

$\Rightarrow$  Es existiert eine holomorphe Fortsetzung  $\tilde{g}$  in einer offenen Umgebung  $U$  von  $\text{Bild}(\Phi)$ .

$y$  nullhomotop in  $U$

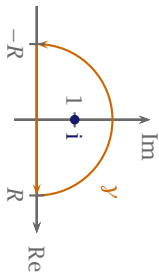
$$\Rightarrow \int_y g \, dz = \int_y \tilde{g} \, dz = 0$$

$$\Rightarrow \int_y f(z) \, dz = \underbrace{\int_y g(z) \, dz}_{=0} + \sum_{j=1}^n \underbrace{\int_y H_j(z) \, dz}_{4\pi^2 2\pi i v(y, z_j) \text{Res}(f, z_j)}$$

■

Transformation auf Polarkoordinaten:  $x = r \cos \varphi$ ,  $y = r \sin \varphi$ ,  $dx = r \, dr \, d\varphi$

$$\begin{aligned} &= \int_{\varphi=0}^{2\pi} \int_{r=0}^{\sqrt{2}} \sqrt{1+4r^2} r \, dr \, d\varphi \\ &= \int_{\varphi=0}^{2\pi} \frac{1}{12} (1+4r^2)^{3/2} \Big|_{r=0}^{\sqrt{2}} \, d\varphi \\ &= \int_{\varphi=0}^{2\pi} \frac{1}{12} (27-1) \, d\varphi \\ &= \int_{\varphi=0}^{2\pi} \frac{13}{6} \, d\varphi \\ &= \frac{13}{3} \pi \end{aligned}$$



$S = \{\pm i\}$ ,  $v(y, -i) = 0$ . Berechne  $\text{Res}(f, i)$

$$\frac{e^{iz}}{1+z^2} = \frac{e^{iz}}{2i} \left( \frac{1}{z-i} - \frac{1}{z+i} \right)$$

$= \frac{e^{iz}}{2i} \frac{1}{z-i} + \text{etwas Holomorphes für } z \neq -i$

$\frac{e^{iz}}{2i} \frac{1}{z-i}$  hat in  $z = i$  einen Pol der Ordnung 1.

$$\begin{aligned} a_{-1} &= \frac{e^{iz}}{2i} \Big|_{z=i} = \frac{e^{-1}}{2i} \\ \int \frac{e^{iz}}{1+z^2} \, dz &= 2\pi i \frac{e^{-1}}{2i} = \pi e^{-1} \end{aligned}$$

►

## 2.3 Volumenintegrale und Integralsätze

**3.1 Definition** Sei  $n \in \mathbb{N}$ ,  $n \geq 2$ . Eine Menge  $S \subseteq \mathbb{R}^n$  heißt **projizierbar** in  $x_n$ -Richtung, falls es ein beschränktes Gebiet  $G \subseteq \mathbb{R}^{n-1}$  und  $\alpha, \beta \in C(\overline{G} \rightarrow \mathbb{R})$  mit  $\alpha(x') \leq \beta(x')$  für  $x' \in G$  gibt, sodass

$$S = \{(x_1, \dots, x_{n-1}, x_n) = (x', x_n) \in \mathbb{R}^n : x' \in G \wedge \alpha(x') \leq x_n \leq \beta(x')\}$$

►

**4.17 Residuenberechnung** 1.) Falls  $f$  in  $z_0$  einen Pol der Ordnung  $K$  hat:

$$f(z) = \sum_{n=-K}^{\infty} a_n (z - z_0)^n, \quad |z - z_0| < r, a_{-K} \neq 0.$$

2.) Der **Normaleineinheitsvektor** im Punkt  $f(x)$  an die Fläche  $F$  ist gegeben durch

$$n(x) := \frac{\partial_{x_1} f(x) \times \partial_{x_2} f(x)}{\|\partial_{x_1} f(x) \times \partial_{x_2} f(x)\|}$$

☒

2.5 **Bemerkung:**  $\|\partial_{x_1} f(x) \times \partial_{x_2} f(x)\|$  ist der Flächeninhalt des Parallelogramms, das von den beiden Vektoren  $\partial_{x_1} f(x)$  und  $\partial_{x_2} f(x)$  aufgespannt wird.

2.6 **Definition** Sei  $(f, \overline{D})$  Parameterdarstellung einer Fläche  $F$  und  $g \in C(\overline{D} \rightarrow \mathbb{R})$ .

1.)

$$|F| := \int_{\overline{D}} \|\partial_{x_1} f(x) \times \partial_{x_2} f(x)\| dx$$

heißt **Flächeninhalt der Fläche  $F$** .

2.)

$$\int_{\overline{D}} g(f(x)) \cdot \|\partial_{x_1} f(x) \times \partial_{x_2} f(x)\| dx = \int_F g d\sigma$$

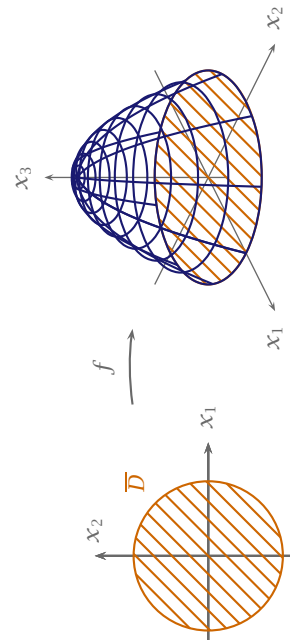
heißt **Integral von  $g$  über  $F$ . Offensichtlich**

$$\int_F 1 d\sigma = |F|$$

2.7 ► Beispiel

$$D = \{x \in \mathbb{R}^2 : |x| < \sqrt{2}\}$$

$$f(x_1, x_2) = \begin{pmatrix} x_1 \\ x_2 \\ 2 - x_1^2 - x_2^2 \end{pmatrix}$$

a.)  $K = 1$ :

$$a_{-1} = \lim_{z \rightarrow z_0} (z - z_0) f(z) = \lim_{z \rightarrow z_0} \sum_{n=-1}^{\infty} a_n (z - z_0)^{n+1}$$

b.)  $K \geq 2$ :

$$\begin{aligned} \frac{d^{K-1}}{dz^{K-1}} ((z - z_0)^K f(z)) &= \sum_{n=-1}^{\infty} (n+K) \dots (n+2) a_n (z - z_0)^{n+1} \\ &\rightarrow (-1+K)(-1+K-1) \dots (-1+2)a_{-1} \text{ für } z \rightarrow z_0 \\ \Rightarrow \text{Res}(f, z_0) &= a_{-1} = \lim_{z \rightarrow z_0} \frac{1}{(K-1)!} \frac{d^{K-1}}{dz^{K-1}} ((z - z_0)^K f(z)) \end{aligned}$$

2.) Falls  $f = g/h$ ,  $g, h$  holomorph,  $g(z_0) \neq 0, h'(z_0) = 0, h''(z_0) \neq 0$ , dann hat  $f$  in  $z_0$  einen Pol erster Ordnung. Sei

$$\varphi(z) := \begin{cases} \frac{h(z) - h(z_0)}{z - z_0} & z \neq z_0 \\ h'(z_0) & z = z_0 \end{cases}$$

Dann ist  $\varphi$  holomorph im Definitionsbereich von  $h$ .

$$\begin{aligned} f(z) &= (z - z_0)\varphi(z) \\ \Rightarrow f(z) &= \frac{1}{z - z_0} \frac{g(z)}{\varphi(z)} \\ \Rightarrow \text{Res}(f, z_0) &= \lim_{z \rightarrow z_0} (z - z_0)f(z) \\ &= \frac{g(z_0)}{\varphi(z_0)} \end{aligned}$$

☒

4.18 ► Beispiel 1.)  $f(z) = \frac{e^{iz}}{1+z^2}, z_0 = i$ .

$$\stackrel{4.17}{\Rightarrow} \text{Res}(f, i) = \frac{e^{iz}}{2z} \Big|_{z=i} = \frac{e^{-1}}{2i} = -\frac{i}{2e}$$

## 2.) Berechne

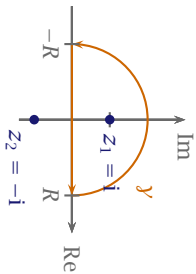
$$\int_{-\infty}^{\infty} \frac{\cos x}{(1+x^2)^2} dx$$

$$\left| \frac{\cos x}{(1+x^2)^2} \right| \leq \frac{1}{1+x^2}$$

$$\int_{-\infty}^{\infty} \frac{1}{1+x^2} dx < \infty$$

$$\Rightarrow \int_{-\infty}^{\infty} \frac{\cos x}{(1+x^2)^2} dx \text{ absolut konvergent}$$

Betrachte  $f(z) = \frac{e^{iz}}{(1+z^2)^2}$ , denn  $\operatorname{Re} f(x) = \frac{\cos x}{(1+x^2)^2}$  für  $x \in \mathbb{R}$ .



$$\operatorname{Res}(f, i) \stackrel{k=2}{=} \frac{1}{1!} \frac{d}{dz} \left( \frac{(z-i)^2 e^{iz}}{(1+z^2)^2} \right) \Big|_{z=i}$$

$$= \frac{d}{dz} \left( \frac{e^{iz}}{(z+i)^2} \right) \Big|_{z=i}$$

$$= \frac{i e^{iz} (z+i)^2 - e^{iz} 2(z+i)}{(z+i)^4} \Big|_{z=i}$$

$$= \frac{i e^{-2i} - 2e^{-1}}{(2i)^3} = -\frac{i e^{-1}}{2}$$

Residuensatz

$$\int_{\gamma_R} f(z) dz = 2\pi i \left( -i \frac{e^{-1}}{2} \right) = \frac{\pi}{e}$$

## 2.2 Flächenintegrale im $\mathbb{R}^3$

2.1 Definition Sei  $D \subseteq \mathbb{R}^2$  ein Gebiet,  $f \in C^1(\overline{D} \rightarrow \mathbb{R}^3)$ ,  $f|_D$  injektiv und

$$\operatorname{Rang} \begin{pmatrix} \partial_{x_1} f(x) & \partial_{x_2} f(x) \end{pmatrix} = \operatorname{Rang} \begin{pmatrix} \partial_{x_1} f_1 & \partial_{x_2} f_1 \\ \partial_{x_1} f_2 & \partial_{x_2} f_2 \\ \partial_{x_1} f_3 & \partial_{x_2} f_3 \end{pmatrix} = 2$$

für  $x \in \overline{D}$ . Dann heißt

$$F := \operatorname{Bild}(f)$$

Fläche im  $\mathbb{R}^3$ .  $(f, \overline{D})$  heißt Parameterdarstellung von  $F$ .

2.2 Satz Ist  $(y, [a, b])$  Parameterdarstellung einer glatten Kurve in  $\overline{D} \subset \mathbb{R}^2$ , so ist  $(f \circ y, [a, b])$  eine glatte Kurve im  $\mathbb{R}^3$ .

BEWEIS 1.)  $y \in C^1, f \in C^1 \Rightarrow f \circ y \in C^1$ .

2.)

$$(f \circ y)'(t) = \begin{pmatrix} (f_1 \circ y)'(t) \\ (f_2 \circ y)'(t) \\ (f_3 \circ y)'(t) \end{pmatrix}$$

$$= \begin{pmatrix} (\partial_{x_1} f_1) y'_1 + (\partial_{x_2} f_1) y'_2 \\ (\partial_{x_1} f_2) y'_1 + (\partial_{x_2} f_2) y'_2 \\ (\partial_{x_1} f_3) y'_1 + (\partial_{x_2} f_3) y'_2 \end{pmatrix}$$

$$= y'_1(t) \partial_{x_1} f(y(t)) + y'_2(t) \partial_{x_2} f(y(t))$$

$$\neq 0$$

da  $\{\partial_{x_1} f, \partial_{x_2} f\}$  linear unabhängig und  $\begin{pmatrix} y'_1 \\ y'_2 \end{pmatrix} \neq 0$ . ■

2.3 Folgerung: Der Tangenteneinheitsvektor von  $f \circ y$  an der Stelle  $t_0 \in [a, b]$ :

$$T_{f \circ y}(t_0) = \frac{(f \circ y)'(t_0)}{\|(f \circ y)'(t_0)\|} = c_1 \partial_{x_1} f(y(t_0)) + c_2 \partial_{x_2} f(y(t_0))$$

liegt immer in der von  $\{\partial_{x_1} f, \partial_{x_2} f\}$  aufgespannten Ebene durch  $f(y(t_0))$ .

2.4 Definition Sei  $(f, \overline{D})$  Parameterdarstellung einer Fläche  $F$ .

1.) Für  $x \in D$  heißt die Ebene

$$\{f(x) + t \partial_{x_1} f(x) + s \partial_{x_2} f(x) : s, t \in \mathbb{R}\}$$

die **Tangentialebene** an  $F$  im Punkt  $f(x)$ .

mit der Kettenregel

$$\frac{d}{dt}(F \circ \gamma)(t) = \sum_{j=1}^n \partial_{x_j} F(\gamma(t)) \cdot \gamma'_j(t)$$

mit dem Hauptsatz der Differential und Integralrechnung

$$\begin{aligned} \int_K f \cdot T \, ds &= (F \circ \gamma)(b) - (F \circ \gamma)(a) \\ &= F(\gamma(b)) - F(\gamma(a)) \end{aligned}$$

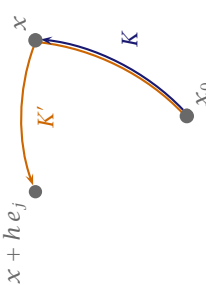
**1.27 Satz** Sei  $D \subseteq \mathbb{R}^n$  ein Gebiet,  $f \in C(D \rightarrow \mathbb{R}^n)$ . Ist das Wegintegral über stückweise glatte Kurven in  $D$  wegunabhängig, so besitzt  $f$  ein Potential in  $D$ .

**Beweis** Sei  $x_0 \in D$  fest. Zu  $x \in D$  wähle eine Kurve  $K$  von  $x_0$  nach  $x$ , setze

$$F(x) := \int_K f \cdot T \, ds$$

Da das Integral wegunabhängig ist, ist  $F$  sinnvoll definiert. Sei  $j = \{1, \dots, n\}$ ,  $x \in D$ .

Vorüberlegung



$$\begin{aligned} F(x + h e_j) - F(x) &= \int_x^{x+h e_j} f \cdot T \, ds \\ &= \int_0^h f(x + t e_j) \cdot e_j \, dt \\ &= \int_0^h f_j(x + t e_j) \, dt \end{aligned}$$

$$\begin{aligned} \left| \frac{1}{h} (F(x + h e_j) - F(x) - f_j) \right| &= \left| \frac{1}{h} \underbrace{\int_0^h (f_j(x + t e_j) - f_j(x)) \, dt}_{|\cdot| < \varepsilon \text{ für } |h| < \delta} \right| \\ &< \frac{1}{h} \varepsilon h = \varepsilon \text{ für } |h| < \delta \end{aligned}$$

Für  $|z| = R$ ,  $\operatorname{Im} z \geq 0$ :

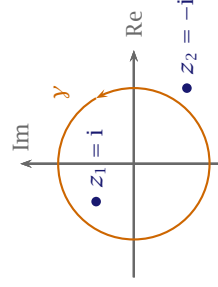
$$\begin{aligned} |f(z)| &= \left| \frac{e^{iz}}{(1+z^2)^2} \right| = \frac{e^{-\operatorname{Im} z}}{|1+z^2|^2} \stackrel{|z^2+1| \geq ||z^2|-1|}{\leq} \frac{1}{(R^2-1)^2} = \frac{1}{(R^2-1)^2} \\ \Rightarrow \left| \int_{|z|=R \operatorname{Im} z>0} f(z) \, dz \right| &\leq \max |f| L(\gamma) \\ &\leq \frac{1}{(R^2-1)^2} \pi R \rightarrow 0, \quad (R \rightarrow \infty) \end{aligned}$$

$$\begin{aligned} \Rightarrow \frac{\pi}{e} &= \int_{\gamma_R} f(z) \, dz = \lim_{R \rightarrow \infty} \int_{\gamma_R} f(z) \, dz = \int_{-\infty}^{\infty} \frac{\cos x + i \sin x}{(1+x^2)^2} \, dx = \frac{\pi}{e}. \end{aligned}$$

**4.19 Definition** Sei  $G \subseteq \mathbb{C}$  ein Gebiet. Ein geschlossener Weg  $\gamma$  in  $\mathbb{C} \setminus G$  berandet  $G$ , falls

$$\nu(\gamma, z) = \begin{cases} 1 & z \in G \\ 0 & z \in \mathbb{C} \setminus \bar{G} \end{cases}$$

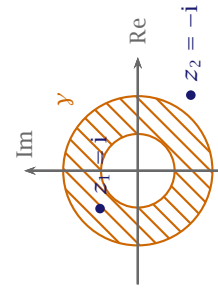
**► Beispiel** 1.)  $G = K_1(0)$ ,  $\gamma_N(t) = e^{2\pi i t N}$ ,  $0 \leq t \leq 1$ .



$\nu(\gamma, z) = 1$ , falls  $|z_1| < 1$  und  $\nu(y, z_2) = 0$ , falls  $|z_2| > 1$ .

$\gamma_1$  berandet  $G$ ,  $\gamma_N$  berandet  $G$  nicht.

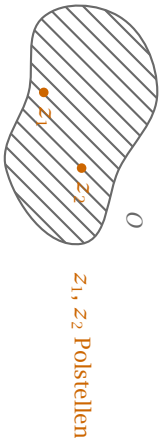
2.)  $G = K_{1,2}(0)$



Der Rand besteht aus zwei disjunkten Wegen (Zykeln). Deshalb greift hier unsere Definition nicht.

**4.20 Definition** Sei  $O \subseteq \mathbb{C}$  offen,  $f$  holomorph in  $O \setminus S$  (insbesondere  $O \setminus S$  offen) und  $\forall z \in S : f$  hat einen Pol in  $z$ .

Dann heißt  $f$  **meromorph** in  $O$ .



**4.21 Null- und Polstellen zählendes Integral** Sei  $f$  meromorph in  $O$ ,  $G$  ein Gebiet,  $\overline{G} \subset O$  und  $\gamma$  ein Weg in  $O$  der  $G$  berandet und keine Null- oder Polstelle trifft. Dann gilt

$$\frac{1}{2\pi i} \int_{\gamma} \frac{f'(z)}{f(z)} dz = N_G - P_G$$

wobei  $N_G$  die Anzahl der Nullstellen von  $f$  in  $G$  und  $P_G$  die Anzahl der Pole von  $f$  in  $G$  bezeichnet, jeweils mit Ordnung gezählt.

**BEWEIS** Sei  $S := \{z \in O : f(z) = 0 \vee f \text{ hat Pol in } z\}$ . Dann besteht  $S$  nur aus isolierten Punkten (Nullstellen nach 3.10, Polstellen nach Definition).

$$g := \frac{f'}{f} \quad \text{ist holomorph in } O \setminus S$$

Nach dem Residuensatz ist

$$\int_{\gamma} g(z) dz = \sum_{z \in S} 2\pi i \operatorname{Res}(g, z) \underbrace{\nu(\gamma, z)}_{z \in S \cap G} = \sum_{z \in S \cap G} 2\pi i \operatorname{Res}(g, z)$$

$$= \begin{cases} 1 & z \in G \\ 0 & z \in O \setminus G \end{cases}$$

Betrachte einen einzelnen Summanden, bzw. ein  $z_0 \in S \cap G$  und schreibe:

$$f(z) = (z - z_0)^k \tilde{f}(z) \quad \tilde{f}(z_0) \neq 0$$

mit holomorphen  $\tilde{f}$ . Für  $k \geq 1$  ist  $k$  die Ordnung der Nullstelle und für  $k \leq -1$  ist  $-k$  die Ordnung des Pols.

$$f'(z) = k(z - z_0)^{k-1} \tilde{f}'(z) + (z - z_0)^k \tilde{f}'(z)$$

$$g(z) = \frac{f'(z)}{f(z)} = \frac{k}{(z - z_0)} + \underbrace{\tilde{f}'(z)}_{\text{holomorph bei } z_0}$$

Damit ist

$$\operatorname{Res}(g, z_0) = \lim_{z \rightarrow z_0} (z - z_0)g(z) = k$$

Betrachtet man nun wieder die Summe, so ergibt sich sofort die Behauptung. ■

**1.24 Definition** Sei  $K$  eine glatte Jordan-Kurve mit der Parameterdarstellung  $(y, [\alpha, b])$ ,  $f : D \subseteq \mathbb{R}^n \rightarrow \mathbb{R}^n$  stetig,  $K \subseteq D$ . Dann heißt

$$\int_K f \cdot T ds := \int_a^b f(y(t)) \cdot y'(t) dt$$

das **Wegintegral** von  $f$  über  $K$ .

**1.25 Bemerkung:** 1.) Die Definition ergibt durchaus ihren Sinn, denn aus der Definition des bekannten Kurvenintegrals erhält man:

$$\int_K f \cdot T ds = \int_a^b \left( f(y(t)) \cdot \frac{y'(t)}{\|y'(t)\|} \right) \|y'(t)\| dt = \int_a^b f(y(t)) \cdot y'(t) dt$$

2.) Das Wegintegral wird in der Physik auch als Arbeitsintegral bezeichnet.

$$W = \int F(r) \frac{\partial r(t)}{\partial t} dt$$

3.) Andere Schreibweise

$$\int_K f \cdot T ds = \sum_{j=1}^n \int_K f_j dx_j$$

$$\int_K f_j dx_j = \int_a^b f_j(y(t)) \cdot y'_j(t) dt$$

**1.26 Satz** Ist  $f : D \rightarrow \mathbb{R}^n$  ein Gradientenfeld mit Potential  $F : D \rightarrow \mathbb{R}$ , so gilt für jede Kurve  $K \subseteq D$

$$\int_K f \cdot T ds = F(\text{Endpunkt}) - F(\text{Anfangspunkt})$$

Insgesamt: Wegintegral ist weganabhängig.

**BEWEIS** Betrachte

$$\int_K f \cdot T ds = \int_K f(y(t)) \cdot y'(t) dt$$

wobei  $f(y(t)) = \nabla F(y(t))$

$$= \int_a^b \frac{d}{dt} (F \circ y)(t) dt$$

2.) Seien  $f : D \subseteq \mathbb{R}^n \rightarrow \mathbb{R}$ ,  $D$  offen,  $f$  differenzierbar. Dann heißt

$$\operatorname{grad} f = \nabla f = \begin{pmatrix} \frac{\partial}{\partial x_1} f \\ \vdots \\ \frac{\partial}{\partial x_n} f \end{pmatrix} = \begin{pmatrix} \frac{\partial}{\partial x_1} f \\ \vdots \\ \frac{\partial}{\partial x_n} f \end{pmatrix}$$

**Gradient von  $f$ .** Man nennt  $f$  auch **Skalarfeld**.  
sodass

$$\nabla F = f \text{ in } D$$

so heißt  $f$  **Gradientenfeld**,  $F$  heißt **Potential** von  $f$ .

4.) Seien  $f : D \subseteq \mathbb{R}^3 \rightarrow \mathbb{R}^3$ ,  $f$  differenzierbar. Dann heißt

$$\operatorname{rot} f = \nabla \times f = \begin{pmatrix} \frac{\partial}{\partial x_1} \\ \frac{\partial}{\partial x_2} \\ \frac{\partial}{\partial x_3} \end{pmatrix} \times \begin{pmatrix} f_1 \\ f_2 \\ f_3 \end{pmatrix} = \begin{pmatrix} \frac{\partial f_2}{\partial x_3} - \frac{\partial f_3}{\partial x_2} \\ \frac{\partial f_3}{\partial x_1} - \frac{\partial f_1}{\partial x_3} \\ \frac{\partial f_1}{\partial x_2} - \frac{\partial f_2}{\partial x_1} \end{pmatrix}$$

**Rotation von  $f$**  (Wirbelstärke).

1.23 **Rechenregeln:** Seien im Folgenden  $f, g : \mathbb{R}^n \rightarrow \mathbb{R}^n$ ,  $f_3, g_3 : \mathbb{R}^3 \rightarrow \mathbb{R}^3$  Vektorfelder,  $a, b : \mathbb{R}^n \rightarrow \mathbb{R}$  Skalarfelder und  $\lambda, \mu \in \mathbb{R}$  Skalare.

1.) Linearität:

$$\begin{aligned} \nabla \cdot (\lambda f + \mu g) &= \lambda \nabla \cdot f + \mu \nabla \cdot g \\ \nabla (\lambda f + \mu g) &= \lambda \nabla f + \mu \nabla g \\ \nabla \times (\lambda f_3 + \mu g_3) &= \lambda \nabla \times f_3 + \mu \nabla \times g_3 \end{aligned}$$

2.) Produktregeln:

$$\begin{aligned} \nabla \cdot (a f) &= (\nabla a) \cdot f + a \nabla \cdot f \\ \nabla(a b) &= a \nabla b + b \nabla a \\ \nabla \times (a f_3) &= a (\nabla \times f_3) + (\nabla a) \times f_3 \end{aligned}$$

3.)

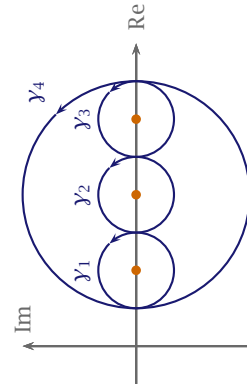
$$\begin{aligned} \nabla \times (\nabla f_3) &= 0 \\ \nabla \cdot (\nabla \times f_3) &= 0 \end{aligned}$$

4.22

► Beispiel

$$f(z) = \frac{(z-2)(z-3)}{(z-1)^2}$$

ist meromorph in  $\mathbb{C}$ .



$$\int_{y_j} \frac{f'(z)}{f(z)} dz = \begin{cases} -2 & j=1 \\ 1 & j=2,3 \\ 0 & j=4 \end{cases}$$

4.23 **Folgerung (Null- und Polstellen zählendes Integral 2)** Seien die Voraussetzungen wie in 4.21. Dann gilt

$$N_G - P_G = \nu(f \circ \gamma, 0)$$

**BEWEIS** Sei  $\gamma : [a, b] \rightarrow \mathbb{C}$ , dann gilt nach 4.21:

$$\begin{aligned} N_G - P_G &= \frac{1}{2\pi i} \int_Y \frac{f'(z)}{f(z)} dz \\ &= \frac{1}{2\pi i} \int_a^b \frac{1}{f(Y(t))} \frac{f'(Y(t))Y'(t)}{(f \circ \gamma)'(t)} dt \\ &= \frac{1}{f \circ \gamma}' \end{aligned}$$

(wobei das Integral evtl. eine Summe über Teilintervalle ist)

■

→

4.24 **Satz von Rouché** Seien  $f, g$  holomorph in  $O$ ,  $G \subseteq O$  berandet vom Weg  $\gamma$  in  $O$ . Gilt

$$|g(z)| < |f(z)| \text{ für } z \in \text{Bild}(\gamma)$$

dann haben  $f$  und  $f+g$  gleich viele Nullstellen in  $G$  (die Nullstellen mit Ordnung gezählt).

**BEWEIS** Mit 4.23

$$\begin{aligned} N_G(f) &= \nu(f \circ y, 0) \\ N_G(f + g) &= \nu((f + g) \circ y, 0) \end{aligned}$$

Zeige, dass  $f \circ g \sim (f + g) \circ y$  in  $\mathbb{C} \setminus \{O\}$ .

$y$  muss eventuell unparametrisiert werden, damit  $y \in C^1$ .

$$\Phi(t, s) := (f \circ y)(t) + s(g \circ y)(t)$$

dann

$$\left. \begin{array}{l} \Phi \in C^1([0, 1] \times [0, 1] \rightarrow \mathbb{C}) \\ \Phi(t, 0) = (f \circ y)(t) \\ \Phi(t, 1) = ((f + g) \circ y)(t) \\ \Phi \in \text{Bild}(\Phi) \end{array} \right\} \stackrel{(*)}{=} \text{fertig}$$

Zu  $(*)$ :

$$\begin{aligned} |(f \circ y)(t) + s(g \circ y)(t)| &= |f(y(t)) + s \cdot g(y(t))| \\ &\geq |f(y(t))| - s \cdot |g(y(t))| \end{aligned}$$

da  $0 \leq s \leq 1$

$$\begin{aligned} &\geq |f(y(t))| - |g(y(t))| \\ &\geq 0 \text{ nach Vereinbarung.} \end{aligned}$$

■

$$\begin{aligned} \text{Einsetzen} \\ \int_K f \, ds &= \int_0^1 (t^2 + a^2 t^2) \sqrt{1 + a^2} \, dt = \frac{1}{3} (1 + a^2)^{3/2} \end{aligned}$$

1.20 ▶ **Beispiel** 1.)  $y : [a, b] \rightarrow \mathbb{R}^1 : t \mapsto t$

$$\begin{aligned} \Rightarrow K &= [a, b] \\ \Rightarrow \int_K f \, ds &= \int_a^b f(y'(t)) 1 \, dt \end{aligned}$$

Also: Kurvenintegral beinhaltet »altes« Integral über Intervalle.

$$2.) y(t) = \begin{pmatrix} t \\ at \end{pmatrix}, 0 \leq t \leq 1, f(x, y) = x^2 + y^2$$

$$\begin{aligned} \int_K f \, ds &= \int_0^1 (t^2 + a^2 t^2) \sqrt{1 + a^2} \, dt = \frac{1}{3} (1 + a^2)^{3/2} \end{aligned}$$

1.21 Eigenschaften von Kurvenintegralen: 1.) Linearität:

$$\int_K (\lambda f + \mu g) \, ds = \lambda \int_K f \, ds + \mu \int_K g \, ds$$

Folgerung Sei

$$p(z) = z^n + \sum_{k=0}^{n-1} a_k z^k.$$

Dann hat  $p$  in  $\overline{K_k(0)}$  mit

$$R := \max \left\{ \sum_{k=0}^{n-1} |a_k|, 1 \right\}$$

genau  $n$  Nullstellen (mit Vielfachheit gezählt). Dies sind alle Nullstellen von  $p$ .

**BEWEIS** Seien

$$\begin{aligned} f(z) &= z^n & g(z) &= \sum_{k=0}^{n-1} a_k z^k \\ \Rightarrow f + g &= p \end{aligned}$$

$$\int_K f \, ds = \int_{K_1} f \, ds + \int_{K_2} f \, ds$$

→

1.22 Definition 1.) Seien  $f : D \subseteq \mathbb{R}^n \rightarrow \mathbb{R}^n$ ,  $D$  offen,  $f$  differenzierbar. Dann heißt

$$\text{div } f = \nabla \cdot f = \begin{pmatrix} \partial_{x_1} \\ \vdots \\ \partial_{x_n} \end{pmatrix} \cdot \begin{pmatrix} f_1 \\ \vdots \\ f_n \end{pmatrix} = \sum_{j=1}^n \partial_{x_j} f_j$$

Divergenz von  $f$  (Quellenstärke). In diesem Zusammenhang heißt  $f$  auch Vektorfeld.

1.17 ► **Beispiel** Sei eine Kurve durch die Parametrisierung  $\gamma$  gegeben:

$$\gamma(t) = r \begin{pmatrix} \cos(2\pi t) \\ \sin(2\pi t) \end{pmatrix}, \quad 0 \leq t \leq 1$$

$$\|\gamma'(t)\| = \left\| r \begin{pmatrix} -2\pi \sin(2\pi t) \\ 2\pi \cos(2\pi t) \end{pmatrix} \right\| = 2\pi r$$

$$\Rightarrow L(t) = \int_0^t \|\gamma'(\tau)\| d\tau = 2\pi r t = s$$

$$\Rightarrow L^{-1}(s) = t = \frac{s}{2\pi r}$$

Damit ergibt sich die Bogenlängendarstellung:

$$\gamma(s) = \gamma(L^{-1}(s)) = r \begin{pmatrix} \cos \frac{s}{r} \\ \sin \frac{s}{r} \end{pmatrix}, \quad 0 \leq s \leq 2\pi r$$

►

f hat die n-fache Nullstelle  $z_0 = 0$  und sonst keine in jeder Kreisscheibe  $G = K_r(0)$  mit  $r > 0$ . Sei nun  $r > R$ . Zeige

$$|\gamma(z)| < |f(z)|, \quad \text{für } |z| = r.$$

Dann folgt aus Rouché (4.24) die gesamte Behauptung.

$$P_N(f + g) = P_N(f) = n \text{ in jedem } K_r(0) \text{ mit } r > R$$

$$|\gamma(z)| \stackrel{|z|=r}{\leq} \sum_{k=0}^{n-1} |a_k| r^k$$

aus  $r > R \geq 1$  folgt  $r^k \leq r^{n-1}$

$$\leq \underbrace{\sum_{k=0}^{n-1} |a_k| r^{n-1}}_{\leq R < r} < r^n = |f(z)|$$

■

1.18 **Definition** Sei  $K$  eine rektifizierbare Jordan-Kurve mit Bogenlängendarstellung  $(g, [0, L(K)])$ ,  $f : D \subseteq \mathbb{R}^n \rightarrow \mathbb{R}$  stetig,  $K \subseteq D$ . Dann heißt

$$\int_K f \, ds := \int_0^{L(K)} f(g(s)) \, ds$$

**Kurvenintegral von  $f$  über  $K$ .**

5.1 ► **Beispiel** Betrachte

►

$$f(z) = \sum_{n=0}^{\infty} (-z^2)^n \quad \text{für } |z| < 1$$

und  $f(z) = \frac{1}{1+z^2}$  (geometrische Reihe). Sei

$$g(z) := \frac{1}{1+z^2} \quad \text{für } z \neq \pm 1$$

**BEWEIS**

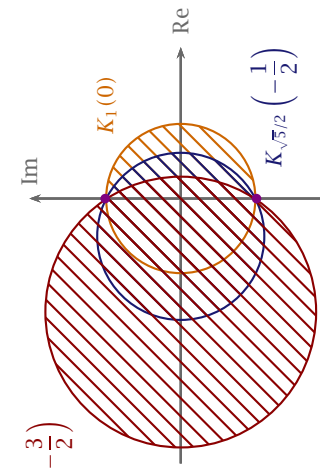
$$\int_K f \, ds = \int_0^{L(K)} f(g(s)) \, ds$$

Nebenrechnung

$$g = \gamma \circ L^{-1}$$

Substitution:  $s = L(t)$

$$\frac{ds}{dt} = L'(t) = \|\gamma'(t)\|$$



Entwickle  $f$  um  $z = -1/2$  in eine Potenzreihe

$$f_1(z) = \sum_{n=0}^{\infty} a_n (z - z_1)^n$$

Wir wissen:  $f = g$  in  $K_1(0)$ , also ist  $f_1$  gleichzeitig Entwicklung von  $g$ .

$\Rightarrow f_1$  hat den Konvergenzradius  $r_1 = \frac{\sqrt{5}}{2}$ .

Entwickle  $f_1$  um  $z_2 = -\frac{3}{2}$ :

$$f_2(z) = \sum_{n=0}^{\infty} b_n (z - z_2)^n \quad \text{in } K_{r_2}(z_2)$$

mit  $r_2 = \frac{\sqrt{13}}{2}$  (da  $f_2$  Entwicklung von  $g$  ist). Wir haben  $f$ , das nur auf  $K_1(0)$  definiert ist holomorph auf  $K_1(0) \cup K_{\sqrt{5}/2}(-1/2) \cup K_{\sqrt{13}/2}(-3/2)$  fortgesetzt. ►

**5.2 Definition** Ein Tupel  $\mathcal{K} = (K_0, \dots, K_n)$  offener Kreisscheiben  $K_j = K_{r_j}(z_j)$  heißt **Kreiskette**, falls

$z_j \in K_{j-1} \vee z_{j-1} \in K_j$ ,  $j = 1, \dots, n$

Sind  $f_j : K_j \rightarrow \mathbb{C}$  holomorph mit

$$f_j|_{K_j \cap K_{j-1}} = f_{j-1}|_{K_j \cap K_{j-1}}, \quad j = 1, \dots, n$$

so heißt  $f_0$  **analytisch fortsetzbar längs  $\mathcal{K}$** ,  $f_n$  heißt **analytische Fortsetzung** von  $f_0$  längs  $\mathcal{K}$ . X

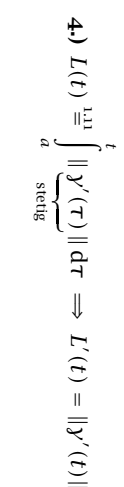
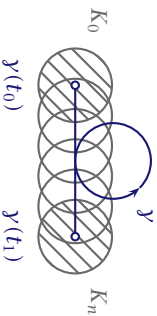
**5.3 Bemerkung:** 1.) Nach dem Identitätsatz ist  $f_1$  und dann auch  $f_2, \dots, f_n$  eindeutig.

2.) Sind  $(K_0, \dots, K_n), (\tilde{K}_0, \dots, \tilde{K}_m)$  Kreisketten mit  $\tilde{K}_0 = K_0$  und  $\tilde{K}_m = K_n$ , gilt dann  $\tilde{f}_m = f_n$ ? (Im Allgemeinen nein) X

**5.4 Definition** Sei  $\gamma \in C([t_0, t_1] \rightarrow \mathbb{C})$ . Eine Kreiskette  $\mathcal{K} = (K_0, \dots, K_n)$  verläuft längs  $\gamma$ , falls es eine Unterteilung  $t_0 = T_0 < T_1 < \dots < T_n < t_1$  gibt, sodass  $\gamma(T_j)$  Mittelpunkt von  $K_j$ ,  $j = 0, \dots, n$  X

$\gamma([T_{j-1}, T_j]) \subseteq K_{j-1} \cap K_j$ ,  $j = 1, \dots, n$  X

Die zweite Bedingung verhindert, dass  $\gamma$  wie im Bild aus der Kreiskette hinausläuft. X



1.16 Folgerung: Falls  $K$  glatt und  $\gamma$  differenzierbar folgt aus 1.15 4.), dass  $L$  differenzierbar ist. Wegen  $(L^{-1})'(s) = \frac{1}{L'(L^{-1}(s))} = \frac{1}{\|\gamma'(L^{-1}(s))\|} \neq 0$ , da  $K$  glatt ist ergibt sich für die Bogenlängendarstellung von  $K$

$$\|\mathcal{G}'(s)\| = \|\gamma'(L^{-1}(s)) L^{-1}'(s)\| = 1$$

1.)  $L$  ist streng monoton wachsend

2.)  $L$  ist stetig

3.) Bild( $L$ ) =  $[0, L(K)]$

4.) Falls  $K$  glatt ist und  $y \in C^1$ , dann ist  $L$  differenzierbar und

$$L'(t) = \|y'(t)\|$$

**BEWEIS** 1.) Sei  $a \leq t < s \leq b$ .

$$L(s) \stackrel{1.12}{=} L(t) + L(K')$$

$$L(K') \geq \|y(s) - y(t)\| > 0$$

da  $K$  Jordan-Kurve und  $s, t$  nicht zugleich Anfangs- und Endpunkt.

2.) 1.) Zeige:  $L$  ist stetig in  $t = b$ . Sei  $\varepsilon > 0$ . Wähle  $a = t_0 < \dots < t_n = b$  mit  $L_{[t_0, \dots, t_n]}(K) > L(K) - \varepsilon$  (\*).  $y$  ist gleichmäßig stetig, wenn gilt

$$\exists \delta > 0 : |s - t| < \delta \Rightarrow |y(s) - y(t)| < \frac{\varepsilon}{2} \quad (**)$$

Setze  $K_j := y([t_j, t_{j+1}])$

$$\stackrel{1.12}{\Rightarrow} \sum_{j=1}^n L(K_j) = L(K)$$

$$\begin{aligned} \Rightarrow 0 &\leq L(K_n) - \|y(t_n) - y(t_{n-1})\| \leq \sum_{j=1}^n \left( \underbrace{L(K_j) - \|y(t_j) - y(t_{j-1})\|}_{\geq 0} \right) \\ &= L(K) - L_{[t_0, \dots, t_n]}(K) < \frac{\varepsilon}{2} \end{aligned}$$

O.B.d.A. kann angenommen werden:

$$|t_j - t_{j+1}| < \delta$$

Andernfalls füge geeignet weitere Unterteilungspunkte hinzu. Da dabei  $L_{[t, \dots]}(K)$  höchstens größer wird bleibt (\*) erhalten.

$$\begin{aligned} \Rightarrow L(K_n) &\leq \frac{\varepsilon}{2} + \|y(t_n) - y(t_{n-1})\| \stackrel{(**)}{<} \varepsilon \\ \Rightarrow 0 &\stackrel{1.}{\leq} L(\ell = t_n) - L(t), \quad \text{für } t_{n-1} \leq t \leq t_n = \ell \\ &\stackrel{1.}{\leq} L(\ell) - L(t_{n-1}) \\ &= L(K_n) \\ &< \varepsilon \end{aligned}$$

$\Rightarrow L$  ist (linksseitig) stetig bei  $t = b$ .

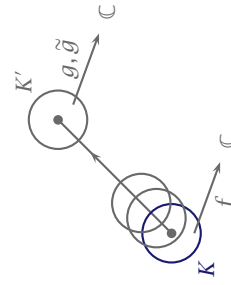
2.) Für  $t \in ]a, b]$  betrachte  $y([a, t])$ . Wende a) an, dann folgt, dass  $L$  linksseitig stetig bei  $t$  ist.

5.5 **Beispiel** Sei  $N \in \mathbb{N}, N \geq 2, y(t) = e^{2\pi it}, 0 \leq t \leq N$ . Sei

$$\tau_j := \frac{j}{8}, \quad j = 0, \dots, 8N$$

$$K_j := K_1(y(\tau_j)), \quad j = 0, \dots, 8N$$

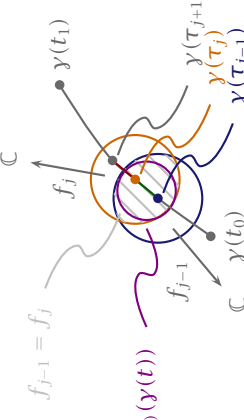
Dann verläuft  $\mathcal{K} = (K_0, \dots, K_{8N})$  längs  $y$ .



5.6 **Satz** Seien  $y \in C([t_0, t_1] \rightarrow \mathbb{C}), K, K'$  offene Kreisscheiben um  $y(t_0)$  bzw.  $y(t_1)$ ,  $f$  holomorph in  $K$  und  $g, \tilde{g}$  holomorph in  $K'$  und  $g, \tilde{g}$  seien aus  $f$  durch analytische Fortsetzung längs Kreisketten entstanden, die längs  $y$  verlaufen. Dann gilt

$$g = \tilde{g}$$

**BEWEIS** 1.) Vorüberlegung



Sei  $t_0 = \tau_0 < \tau_1 < \dots < \tau_n = t_1$  die Unterteilung von  $[t_0, t_1]$  mit Kreiskette  $K = K_0, K_1, \dots, K_n = K'$  und holomorphe Funktionen  $f_j : K_j \rightarrow \mathbb{C}$ , die  $f$  zu  $g$  fortsetzen. Für  $t \in [\tau_{j-1}, \tau_j]$  sei

$$P_t(z) := \sum_{n=0}^{\infty} a_n(t)(z - y(t))^n, \quad z \in K_{r(t)}(y(t))$$

die Potenzreihenentwicklung von  $f_{j-1}$  um  $y(t)$ . Beachte:  $P_t$  ist auch die Potenzreihe von  $f_j$  um  $y(t)$ , da  $f_j = f_{j-1}$  in  $K_j \cap K_{j-1}$ . Also in  $P_t$  Potenzreihenentwicklung von  $f_j$  um  $y(t)$  sogar für  $t \in [\tau_{j-1}, \tau_{j+1}]$ . Da  $y$  stetig: Für festes  $t \in [t_0, t_1]$

$$\exists \delta > 0 : |y(t') - y(t)| < r(t) \text{ für } |t' - t| < \delta, t_0 \leq t' \leq t_1$$

Wähle  $\delta$  so klein, dass  $t, t'$  im selben Intervall  $[\tau_{j-1}, \tau_{j+1}]$  liegen.

$\Rightarrow$  Für  $|t' - t| < \delta$  erhält man  $P_{t'}$  durch Entwicklung von  $P_t$  um  $y(t')$ , da um  $y(t') : P_t = f_j$

Das nennt man die **lokale Verträglichkeit der Familie  $(P_t)_{0 \leq t \leq t_1}$** .

Dasselbe für  $\tilde{g}$ : Unterteilung  $t_0 = \sigma_0 < \sigma_1 < \dots < \sigma_m = t_1$ ,  $\tilde{P}_t$  Entwicklung von  $\tilde{f}_j$  um  $y(t)$ .

## 2.) Eigentlicher Beweis

$$M := \{t \in [t_0, t_1] : P_t = \tilde{P}_t\}$$

Zeige:  $M = [t_0, t_1] \Rightarrow \mathcal{G} = P_{t_1} = \tilde{P}_{t_1} = \tilde{\mathcal{G}}$ .

1.)  $M \neq \emptyset$ : Wegen  $f_0 = f = \tilde{f}_0$  gilt  $[t_0, t_0 + \delta] \subseteq M$ ,  $\delta$  so gewählt, dass  $y(t) \in K = K_0 = \tilde{K}_0$  für  $t_0 \leq t \leq t_0 + \delta$ .

2.)  $M$  ist relativ offen<sup>3</sup>: Sei  $s \in M$ ,  $\delta > 0$  so klein, dass

$$|y(t) - y(s)| < \min\{r(s), \tilde{r}(s)\} \text{ für } s - \delta < t < s + \delta$$

(Stetigkeit von  $y$ ). Aus der lokalen Verträglichkeit folgt:  $P_t$  entsteht aus Entwicklung von  $P_s$  um  $y(t)$  genauso  $\tilde{P}_t$  aus  $\tilde{P}_s$ .

$$P_s \stackrel{s \in M}{=} \tilde{P}_s \Rightarrow P_t = \tilde{P}_t \text{ für } s - \delta < t < s + \delta$$

3.)  $M$  ist abgeschlossen: Sei  $(s_n)$  in  $M$ ,  $s_n \rightarrow s$ ,  $s_n \neq s$ . Dann gilt  $y(s_n) \rightarrow y(s)$  und entweder  $y(s_n) = y(s)$  für ein  $n \Rightarrow s \in M$ , da  $P_s = P_{s_n}$  oder  $y(s_n) \neq y(s)$  für  $n \in \mathbb{N}$ : Für  $n > N_\delta$ :

$$P_s(y(s_n)) = P_{s_n}(y(s_n)) = \tilde{P}_{s_n}(y(s_n)) = \tilde{P}_s(y(s_n)) \xrightarrow{\text{Identitätsatz}} \tilde{P}_s = P_s.$$

$$1., 2. \text{ und } 3. \Rightarrow M = [t_0, t_1]. \quad \blacksquare$$

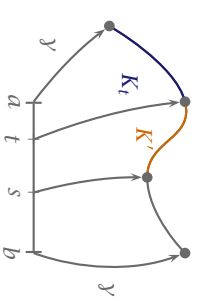
1.13 **Bemerkung:** Ist  $K$  eine rektifizierbare Jordan-Kurve mit äquivalenten Parameterdarstellungen  $f$  und  $\mathcal{G}$ , so gilt

$$\begin{aligned} L^{(f)}(K) &= \sup_{\{\dots\}} \sum_{j=1}^n \|f(t_j) - f(t_{j-1})\| \\ &= \sup_{\{\dots\}} \sum_{j=1}^n \|\mathcal{G}(s_j) - \mathcal{G}(s_{j-1})\| \\ &= L^{(\mathcal{G})}(K) \end{aligned}$$

denn zu  $\{t_0, \dots, t_n\}$  »passt« genau die Unterteilung  $\{\varphi^{-1}(t_0), \dots, \varphi^{-1}(t_n)\}$  und umgekehrt.

- 5.7 **Definition** Sei  $y \in C([t_0, t_1] \rightarrow \mathbb{C})$ ,  $K, K'$  offene Kreisscheiben um  $y(t_0)$  bzw.  $y(t_1)$ ,  $f$  holomorph in  $K$ ,  $\mathcal{G}$  holomorph in  $K'$ . Dann heißt  $\mathcal{G}$  **analytische Fortsetzung** von  $f$  längs  $y$ , falls es eine längs  $y$  verlaufende Kreiskette  $\mathcal{K}$  gibt, sodass  $\mathcal{G}$  **analytische Fortsetzung** von  $f$  längs  $\mathcal{K}$  ist.

$\times$



wegen

$$\|y(t'_{k+1}) - y(t'_{k-1})\| = \|y(t'_{k+1}) - y(t'_k)\| + \|y(t'_k) - y(t'_{k-1})\|.$$

Außerdem

$$L_{\{t'_0, \dots, t'_m\}}(K) = L_{\{t'_0, \dots, t'_k\}}(K') + L_{\{t'_k, \dots, t'_m\}}(K'')$$

damit folgt

$$L(K') + L(K'') \geq L(K) - \varepsilon$$

da  $\varepsilon > 0$  beliebig  $L(K') + L(K'') \geq L(K)$ .  $\blacksquare$

<sup>3</sup>relativ offen: Ich kann  $M$  bekommen durch den Schnitt einer offenen Menge mit  $[t_0, t_1]$

Dann gelten:

2.) Sei  $\varepsilon > 0$  fest,  $f'$  gleichmäßig stetig

$$\Rightarrow \exists \delta > 0 \forall |s - t| < \delta : \|f'(s) - f'(t)\| < \varepsilon$$

Sei  $a = t_0 < t_1 < \dots < t_n = b$  mit  $\max |t_j - t_{j-1}| < \delta$

$$\begin{aligned} \Rightarrow \|f'(t)\| &= \|f'(t) - f'(t_j) + f'(t_j)\| \\ &\leq \varepsilon + \|f'(t_j)\| \quad \text{für } t_{j-1} \leq t \leq t_j \end{aligned}$$

$$\Rightarrow \int_{t_{j-1}}^{t_j} \|f'(t)\| dt \leq \varepsilon(t_j - t_{j-1}) + \|f'(t_j)\|(t_j - t_{j-1})$$

$$\begin{aligned} &= \varepsilon(t_j - t_{j-1}) + \left\| \int_{t_{j-1}}^{t_j} (f'(t_j) - f'(t) + f'(t)) dt \right\| \\ &\leq 2\varepsilon(t_j - t_{j-1}) + \|f'(t_j) - f'(t_{j-1})\| \\ \Rightarrow \sum_i^b \int_a^b \|f'(t)\| dt &\leq 2\varepsilon(b-a) + L_{\{t_0, \dots, t_n\}}(K) \\ &\leq 2\varepsilon(b-a) + L(K) \end{aligned}$$

$$\stackrel{\varepsilon \downarrow 0}{\Rightarrow} \int_a^b \|f'(t)\| dt \leq L(K)$$

Setze  $f$  längs  $K_0, K_1, \dots, K_{8N}$  fort

$$f_0 = f \Big|_{K_0} \quad \text{für } j = 1, 2$$

Wie sieht  $f_3$  aus?

1.12 **Hilfsatz** Sei  $K$  eine rektifizierbare Jordan-Kurve mit Parameterdarstellung  $(Y, [a, b])$ .

Ist  $a < c < b$ ,  $K' = Y([a, c])$ ,  $K'' = Y([c, b])$ , dann sind  $K', K''$  rektifizierbare Jordan-Kurven und es gilt  $L(K) = L(K') + L(K'')$ .

**BEWEIS** 1.) Seien  $a = t_0 < t_1 < \dots < t_n = c$  und  $c = s_0 < s_1 < \dots < s_n = b$ .

$$\Rightarrow \underbrace{L_{\{t_0, \dots, t_n\}}(K')}_{\geq 0} + \underbrace{L_{\{s_0, \dots, s_n\}}(K'')}_{\geq 0} = L_{\{t_0, \dots, t_n = s_0, \dots, s_n\}}(K)$$

$$\geq L(K)$$

$\Rightarrow K', K''$  sind rektifizierbar,  $L(K') + L(K'') \leq L(K)$ .

2.) Sei  $\varepsilon > 0$  gegeben,  $\{t_0, \dots, t_n\}$  mit

$$L_{\{t_0, \dots, t_n\}}(K) \geq L(K) - \varepsilon$$

Füge eventuell  $c$  als Unterteilungspunkt dazu.

$$\{t'_0 = a < t'_1 < \dots < t'_k = c < t'_{k+1} < \dots < t'_m = b\}$$

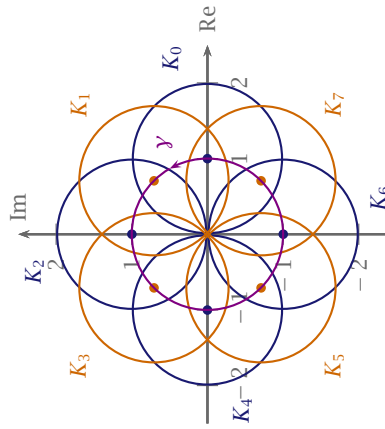
Wegen der Dreiecksungleichung

$$L_{\{t_0, \dots, t_n\}}(K) \geq L_{\{t_0, \dots, t_n\}}(K) \geq L(K) - \varepsilon$$

5.8 **Beispiel** Seien  $N \in \mathbb{N}, N \geq 2, f(z) = |z|^{1/N} e^{\frac{i}{N} \arg z}$

$$y(t) = e^{2\pi i t}, \quad 0 \leq t \leq N$$

$$\tau_j = \frac{j}{8N}, K_j = K_1(y(\tau_j)), j = 0, \dots, 8N.$$



$$\begin{aligned} \text{Im } z &> 0 & \text{Im } z &> 0 \\ \arg_\pi(z) &:= \begin{cases} \arg(z) & \text{Im } z > 0 \\ \pi & z \in ]-\infty, 0[ \\ \arg(z + 2\pi) & \text{Im } z < 0 \end{cases} \\ \text{Setze } g_1(z) &:= |z|^{1/N} e^{\frac{i}{N} \arg_\pi(z+2\pi)} \\ \Rightarrow \begin{cases} g_1 \text{ holomorph in } \mathbb{C} \setminus [0, \infty[ \\ g_1 \Big|_{\{z : \text{Im } z > 0\}} = f \Big|_{\{z : \text{Im } z > 0\}} \end{cases} \\ \Rightarrow f_j = g_1 \Big|_{K_j}, \quad j = 3, 4, 5, 6 \\ \text{Setze } g_2(z) &:= |z|^{1/N} e^{\frac{i}{N} \arg_\pi(z+2\pi)} \\ \Rightarrow \begin{cases} g_2 \text{ holomorph in } \mathbb{C} \setminus ]-\infty, 0] \\ g_2 \Big|_{\{z : \text{Im } z < 0\}} = g_1 \Big|_{\{z : \text{Im } z < 0\}} \end{cases} \\ \Rightarrow f_j = g_2 \Big|_{K_j}, \quad j = 7, 8, 9, 10 \end{aligned}$$

Beachte:  $K_8 = K_0$ , aber  $f_8 = e^{i\frac{2\pi}{N}} f_0 \neq f_0$ .

$$f_{16} = e^{i2\frac{2\pi}{N}} f_0 \neq f_0$$

⋮

$$f_{8N} = e^{iN\frac{2\pi}{N}} f_0 = f_0$$

Nach der  $N$ -ten Umkreisung der 0 landen wir wieder bei der ursprünglichen Funktion. ▀

**5.9 Unparametrisierung** Seien  $\gamma, \tilde{\gamma} \in C([t_0, t_1] \rightarrow \mathbb{C})$ ,  $f_1$  analytische Fortsetzung von  $f$  längs  $\gamma, \varphi : [s_0, s_1] \rightarrow [t_0, t_1]$  stetig, streng monoton wachsend,  $\varphi(s_0) = t_0, \varphi(s_1) = t_1$ . Damit ist  $f_1$  auch analytische Fortsetzung von  $f$  längs  $\gamma \circ \varphi$ . Insbesondere kann immer  $s_0 = 0, s_1 = 1$  gewählt werden.

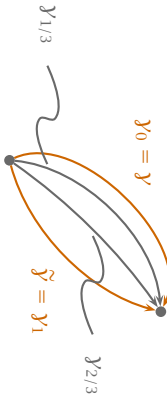
**BEWEIS** Verwende dieselbe Kreiskette, als Unterteilung von  $[s_0, s_1] : s_j = \varphi^{-1}(\tau_j)$ . ■

**5.10 Monodromiesatz** Seien  $\gamma, \tilde{\gamma} \in C([0, 1] \rightarrow \mathbb{C})$  mit  $\gamma(0) = \tilde{\gamma}(0), \gamma(1) = \tilde{\gamma}(1)$ . Weiter sei  $\Phi \in C([0, 1] \times [0, 1] \rightarrow \mathbb{C})$  eine Homotopie zwischen  $\gamma, \tilde{\gamma}$ , das heißt

$$\Phi(\cdot, 0) = \gamma \quad \Phi(\cdot, 1) = \tilde{\gamma}$$

$$\Phi(0, s) = \gamma(0) \quad \Phi(1, s) = \gamma(1), \quad 0 \leq s \leq 1$$

Ist  $f_0$  holomorph in einer Kreisscheibe  $K_r(\gamma(0))$  und lässt sich  $f_0$  längs jedes Weges  $\gamma_s := \Phi(\cdot, s)$  analytisch fortsetzen, dann stimmen die analytischen Fortsetzungen von  $f_0$  längs  $\gamma$  und  $\tilde{\gamma}$  überein.



Der Beweis verläuft ähnlich wie in 5.6.

**5.11 Definition** Ein Gebiet  $G \subseteq \mathbb{C}$  heißt **einfach zusammenhängend**, wenn jede geschlossene stetige Kurve  $\gamma$  in  $G$  nullhomotop ist, das heißt es existiert eine Homotopie  $\Phi \in C([0, 1] \times [0, 1] \rightarrow [0, 1] \rightarrow G)$  zwischen  $\gamma$  und einer konstanten Kurve.

**oder äquivalent:** Zu je zwei Kurven  $\gamma_1, \gamma_2 \in C([0, 1] \rightarrow G)$  mit  $\gamma_1(0) = \gamma_2(0)$  und  $\gamma_1(1) = \gamma_2(1)$  existiert eine Homotopie  $\Phi \in C([0, 1] \times [0, 1] \rightarrow G)$ .

#### ▼ Beispiel

- $\mathbb{C} \setminus [0, \infty[$  Gebiet, einfach zusammenhängend
- $\mathbb{C} \setminus \{0\}$  Gebiet, nicht einfach zusammenhängend
  - (Der Kreis um die 0 ist nicht nullhomotop)

- 1.) Existiert eine Parameterdarstellung  $(f, [a, b])$  mit  $f \in C^1([a, b] \rightarrow \mathbb{R}^n)$  und  $f'(t) \neq 0$  auf  $[a, b]$ , so heißt  $K$  **glatt**. Insbesondere ist dann  $T_f$  stetig.
- 2.)  $K$  heißt **stückweise glatt**, falls es eine Parameterdarstellung  $(f, [a, b])$  gibt und eine Unterteilung  $a = t_0 < t_1 < \dots < t_n = b$ , sodass die Teilkurven von  $K$  glatt sind:

$$f \Big|_{[t_{j-1}, t_j]} \in C^1([t_{j-1}, t_j] \rightarrow \mathbb{R}^n)$$

und  $f'(t) \neq 0$  für  $t_{j-1} \leq t \leq t_j$ .

1.9 **Bemerkung:** Glatte Kurven haben keine Ecken, stückweise glatte Kurven können Ecken besitzen.

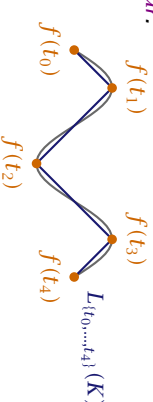
**1.10 Definition** Sei  $K$  eine Jordan-Kurve mit der Parameterdarstellung  $(f, [a, b])$ .

- 1.) Falls

$$\exists M > 0 \forall n \in \mathbb{N} \forall a = t_0 < t_1 < \dots < t_n = b :$$

$$L_{\{t_0, \dots, t_n\}}(K) := \sum_{j=1}^n \|f(t_j) - f(t_{j-1})\| \leq M$$

so heißt  $K$  **rektilizierbar**.



- 2.) Ist  $K$  rektilizierbar, so heißt

$$L(K) := \sup_{n \in \mathbb{N}} L_{\{t_0, \dots, t_n\}}(K)$$

die **Bogenlänge** von  $K$ .

**1.11 Satz** Sei  $K$  glatte Jordan-Kurve mit Parameterdarstellung  $(f, [a, b]), f \in C^1([a, b] \rightarrow \mathbb{R}^n)$ . Dann ist  $K$  rektilizierbar und es gilt

$$L(K) = \int_a^b \|f'(t)\| dt$$

**BEWEIS** 1.) Für  $a = t_0 < t_1 < \dots < t_n = b$  gilt

$$\|f(t_j) - f(t_{j-1})\| = \left\| \int_{t_{j-1}}^{t_j} f'(t) dt \right\| \leq \int_{t_{j-1}}^{t_j} \|f'(t)\| dt$$

$$\Rightarrow L_{\{t_0, \dots, t_n\}}(K) \leq \int_a^b \|f'(t)\| dt =: M$$

$$L(K) \leq M$$

⇒  $K$  ist rektilizierbar.

- $\varphi'(t) > 0$  in  $[a, b]$
- $\varphi(a) = c, \varphi(b) = d$
- $f(t) = (\varphi \circ \varphi)(t), t \in [a, b]$

so heißen die Parameterdarstellungen äquivalent.

### 1.5 ► Beispiel 1.) Die Parameterdarstellung

$$\varphi(t) = \begin{pmatrix} r \cos\left(8\pi \frac{t}{1+t}\right) \\ r \sin\left(8\pi \frac{t}{1+t}\right) \\ c \left(8\pi \frac{t}{1+t}\right) \end{pmatrix}, \quad 0 \leq t \leq 1$$

ist äquivalent zu  $f$  aus 1.3 (mit  $\varphi(t) = 8\pi \frac{t}{1+t}$ ).

### 2.) Die Parameterdarstellung

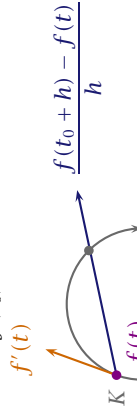
$$f(t) = \begin{pmatrix} r \cos t^2 \\ r \sin t^2 \\ ct^2 \end{pmatrix}, \quad 0 \leq t \leq \sqrt{4\pi}$$

ist nicht äquivalent zu  $f$  aus 1.3 ( $\varphi(t) = t^2$ ), weil  $\varphi'(0) = 0$ .

**1.6 Definition** Sei  $(f, [a, b])$  Parameterdarstellung von  $K$ . Existiert  $f'(t_0)$  und ist  $f'(t_0) \neq 0$ , so heißt

$$T_f(t_0) := \frac{1}{\|f'(t_0)\|} f'(t_0)$$

Tangenteneinheitsvektor an  $K$  im Punkt  $f(t_0)$ .



**1.7 Satz** Sind  $(f, [a, b])$  und  $(g, [c, d])$  äquivalente Parameterdarstellungen von  $K$ , so gilt

$$\begin{aligned} T_f(t) &= \frac{f'(t)}{\|f'(t)\|} = \frac{(g \circ \varphi)'(t)}{\|(g \circ \varphi)'(t)\|} \\ &= \frac{g'(\varphi(t))\varphi'(t)}{\|g'(\varphi(t))\varphi'(t)\|} \stackrel{\varphi'(t) > 0}{=} \frac{g'(\varphi(t))}{\|g'(\varphi(t))\|} \\ &= T_g(\varphi(t)) \end{aligned}$$

**1.8 Definition** Sei  $K$  eine Kurve im  $\mathbb{R}^n$ .

**5.12 Folgerung**  $G \subseteq \mathbb{C}$  einfach zusammenhängendes Gebiet,  $f_0$  holomorph in  $K_r(z_0) \subseteq G$ . Lässt sich  $f_0$  längs jeder stetigen Kurve  $\gamma$  mit Anfangspunkt  $z_0$  analytisch fortsetzen, dann gibt es genau eine holomorphe Funktion

$$f : G \rightarrow \mathbb{C} \quad \text{mit} \quad f|_{K_r(z_0)} = f_0$$

☒

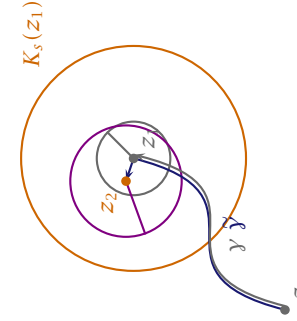
**BEWEIS** 1.) Definiere  $f : G \rightarrow \mathbb{C}$ . Sei  $z_1 \in G$ . Da  $G$  ein Gebiet ist folgt: Es existiert eine stetige Kurve  $\gamma$  von  $z_0$  nach  $z_1$ . Setze  $f_0$  längs  $\gamma$  fort zu  $f_1 : K_s(z_1) \rightarrow \mathbb{C}$  ( $f_1$  ist holomorph). Setze  $f(z_1) := f_1(z_1)$ .  $f$  ist sinnvoll definiert: Ist  $\tilde{\gamma}$  eine andere stetige Kurve von  $z_0$  nach  $z_1$ . Da  $G$  einfach zusammenhängend ist folgt  $\gamma \sim \tilde{\gamma}$ .

Monodromiesatz 5.10: Fortsetzung längs  $\tilde{\gamma}$  liefert dieselbe Funktion  $f_1$ .

2.) Zeige:  $f$  ist holomorph. Sei  $z_1 \in G$  fest,  $f_1$  wie oben. Zeige

$$f|_{K_{s/3}}(z_1).$$

Dann ist  $f$  holomorph in  $K_{s/3}(z_1)$ . Da  $z_1 \in G$  holomorph ist, ist  $f$  holomorph in  $G$ .



Sei  $z_2 \in K_{s/3}(z_1)$ . Bilde  $\tilde{\gamma}$  aus  $\gamma$  durch Anhängen der Strecke  $z_1 z_2$ . Ergänze die Kreiskette  $\mathcal{K}$  längs  $\tilde{\gamma}$ , die zur Fortsetzung längs  $\gamma$  verwendet wurde, durch  $K_{s/2}(z_2)$  zur Kreiskette  $\widetilde{\mathcal{K}}$  längs  $\tilde{\gamma}$ ,  $f(z_2)$  wird definiert durch analytische Fortsetzung von  $f_0$  längs  $\tilde{\gamma}$ . Dies liefert  $f_2 : K_{s/2}(z_2) \rightarrow \mathbb{C}$ . Wegen

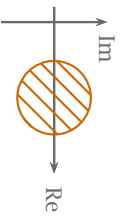
$$f_2 = f_1 \text{ in } K_{s/2}(z_2) \cap K_s(z_1)$$

folgt  $f(z_2) = f_2(z_2) = f_1(z_2)$ .

3.) Zeige:  $f$  ist eindeutig. Ist  $\mathcal{K} = (K_1, \dots, K_n)$  Kreiskette längs  $\gamma$ , so ist  $f|_{K_j}$  eine analytische Fortsetzung längs  $\gamma$ . Aus Satz 5.6 folgt: Jede andere Fortsetzung längs  $\gamma$  liefert dieselbe analytische Fortsetzung. ■

## 5.1.3 ▶ Beispiel

$$f_0(z) = |z|^{1/N} e^{i \frac{1}{N} \arg z} \quad \text{in } K_1(2)$$



Falls  $G = \mathbb{C} \setminus ]-\infty, 0]$

$$f(z) = |z|^{1/N} e^{i \frac{1}{N} \arg z}$$

falls  $G = \mathbb{C} \setminus ]-\infty, i0]$

$$f(z) = |z|^{1/N} e^{i \frac{1}{N} \arg_{\pi/2} z}$$



5.1.4 Ausblick Erweiterung des Wegintegrals auf stetige Kurven. Ist  $f$  analytische fortsetzbar längs  $\gamma$  mit Unterteilung

$$t_0 = \tau_0 < \tau_1 < \dots < \tau_n = t_1,$$

Diese Kurve ist geschlossen und nicht Jordan.

✖

so definiere

$$\int_Y f(z) dz := \sum_{j=1}^{\infty} \int_{Y|[\tau_{j-1}, \tau_j]} f(z) dz$$

$$\int_{Y|[\tau_{j-1}, \tau_j]} f(z) dz := F_j(Y(\tau_j)) - F_j(Y(\tau_{j-1})).$$



$F$  ist die lokale Stammfunktion der Fortsetzung von  $f$  in  $K_j$ .

# 2

## VEKTORANALYSIS

### 2.1 Kurvenintegrale

1.1 Definition Sei  $f \in C([a, b] \rightarrow \mathbb{R}^n)$ .

1.)  $K := \text{Bild}(f)$  heißt **Kurve** im  $\mathbb{R}^n$ ,  $(f, [a, b])$  heißt **Parameterdarstellung** von  $K$ . Ist  $f(a) = f(b)$ , so heißt  $K$  **geschlossen**.

2.) Ist  $f|_{[a, b]}$  injektiv, so heißt  $K$  **Jordan-Kurve**.

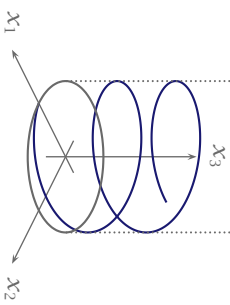


1.2 Bemerkung: Die Parameterdarstellung induziert den Durchlaufsinn.

✖

1.3 ▶ Beispiel Für  $r > 0, c > 0$  beschreibt

$$f(t) = \begin{pmatrix} r \cos t \\ r \sin t \\ ct \end{pmatrix}, \quad 0 \leq t \leq 4\pi$$



eine Schraubenlinie mit Radius  $r$  und Ganghöhe  $\frac{c}{2\pi}$ .



1.4 Definition Seien  $(f, [a, b])$  und  $(g, [c, d])$  zwei Parameterdarstellungen von  $K$ . Existiert  $\varphi \in C^1([a, b] \rightarrow \mathbb{R})$  mit